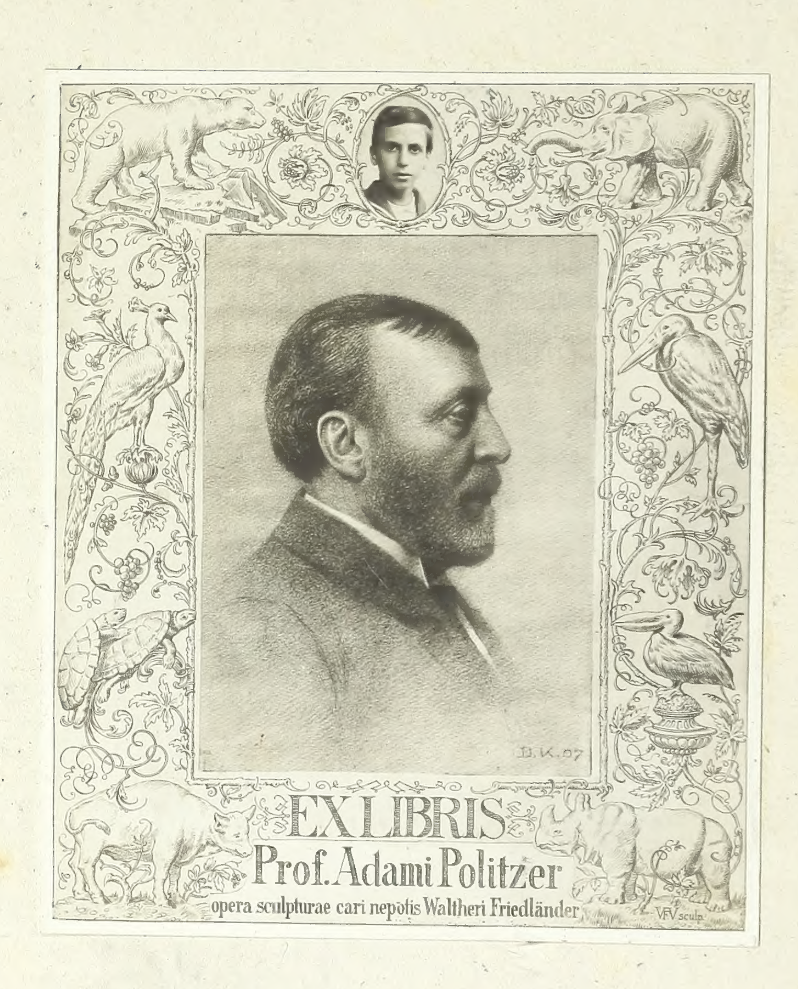
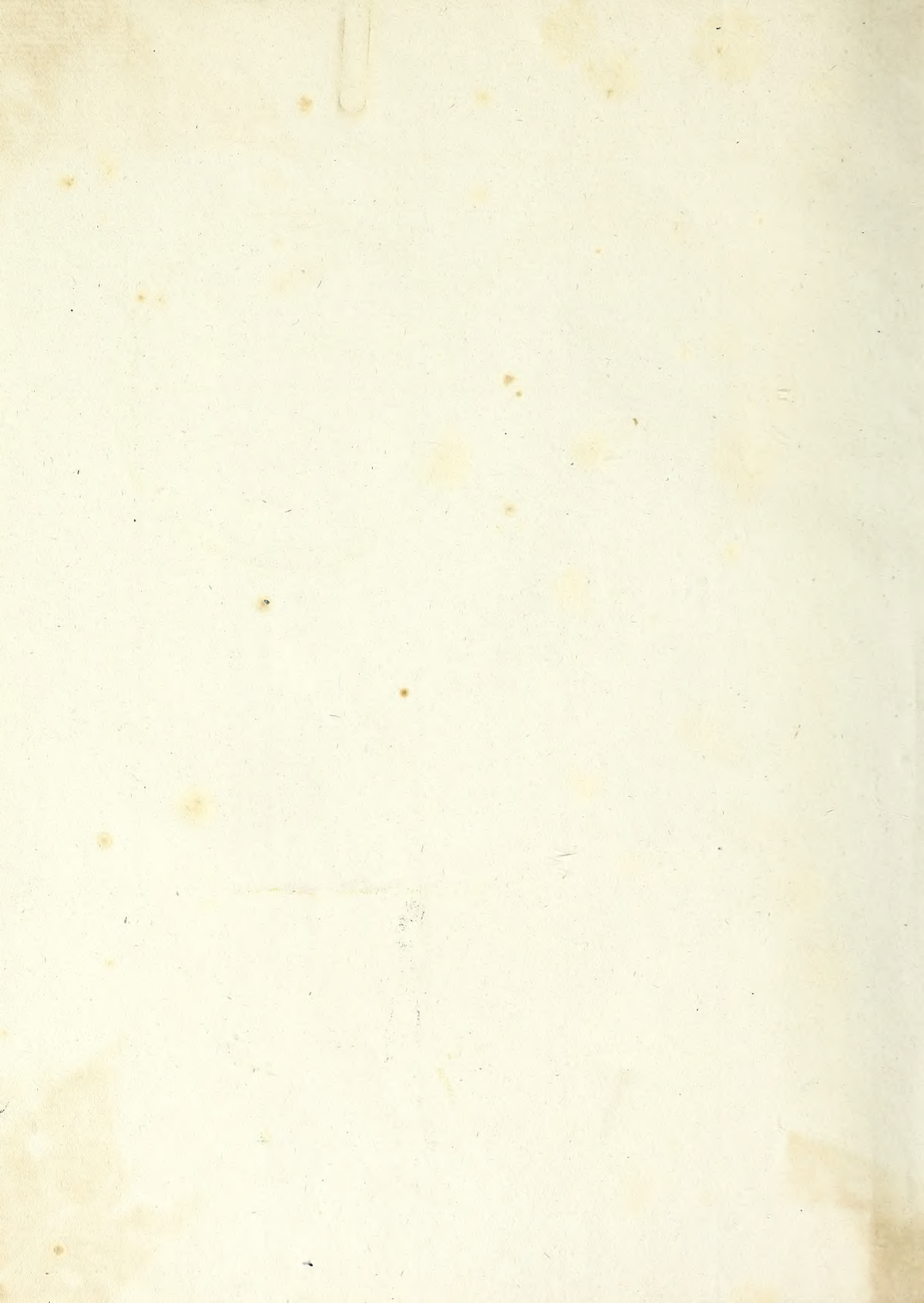
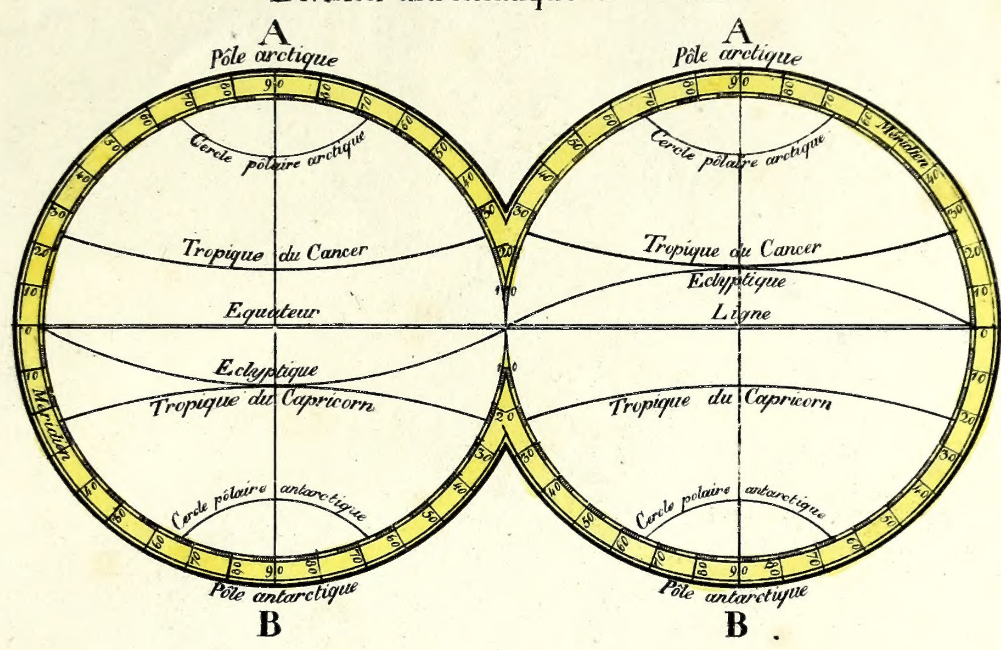


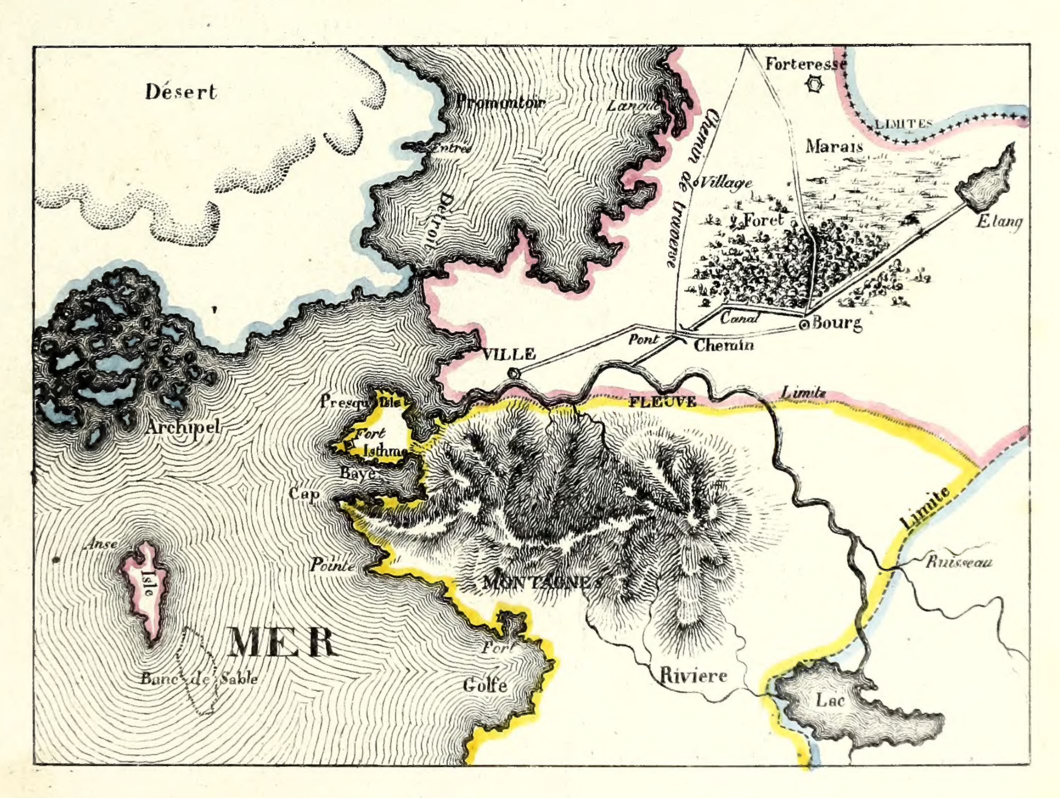

B.K. 07
EX LIBRIS
Prof. Adami Politzer
opera sculpturae cari nepotis Waltheri Friedländer
VFV sculp.

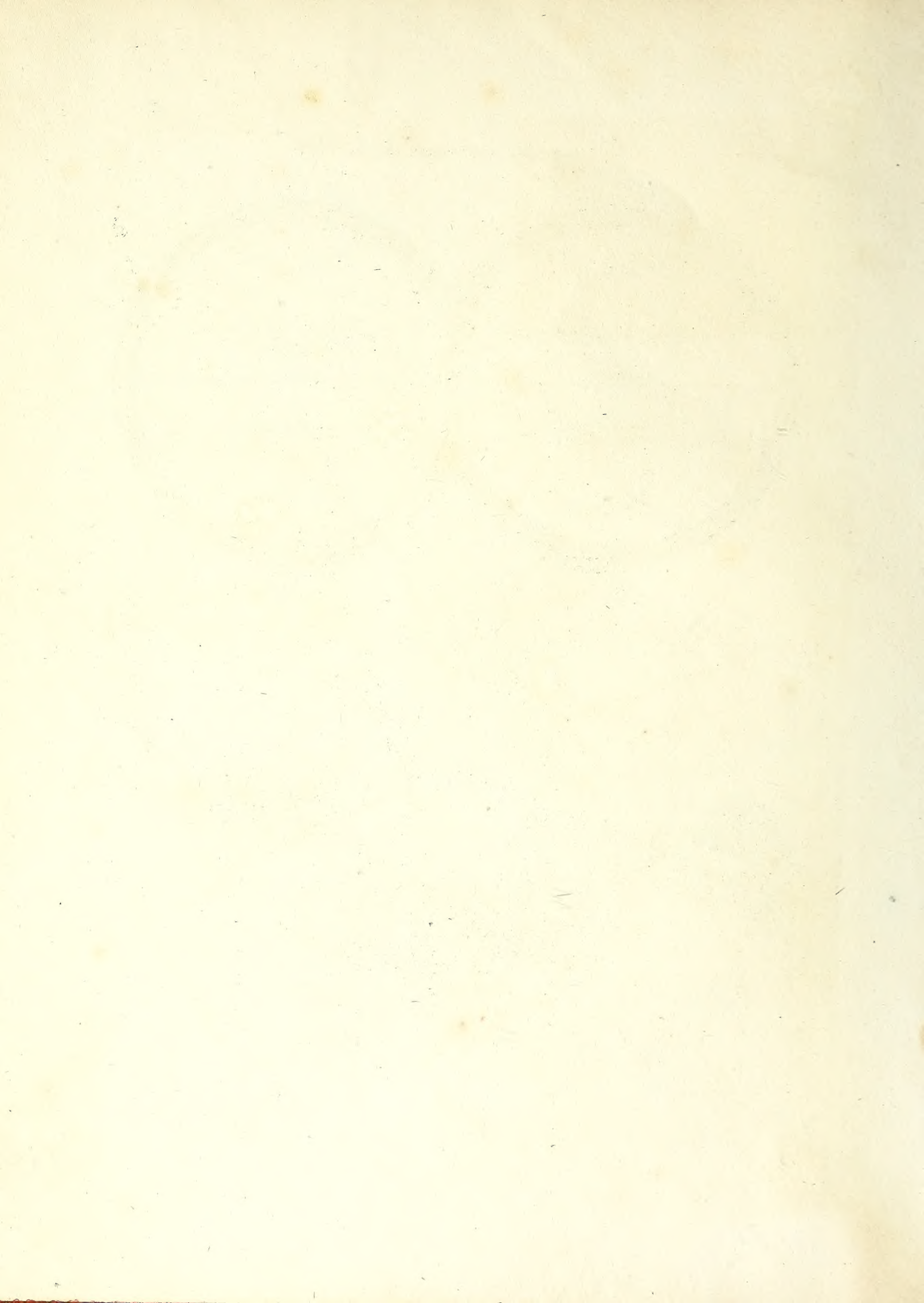


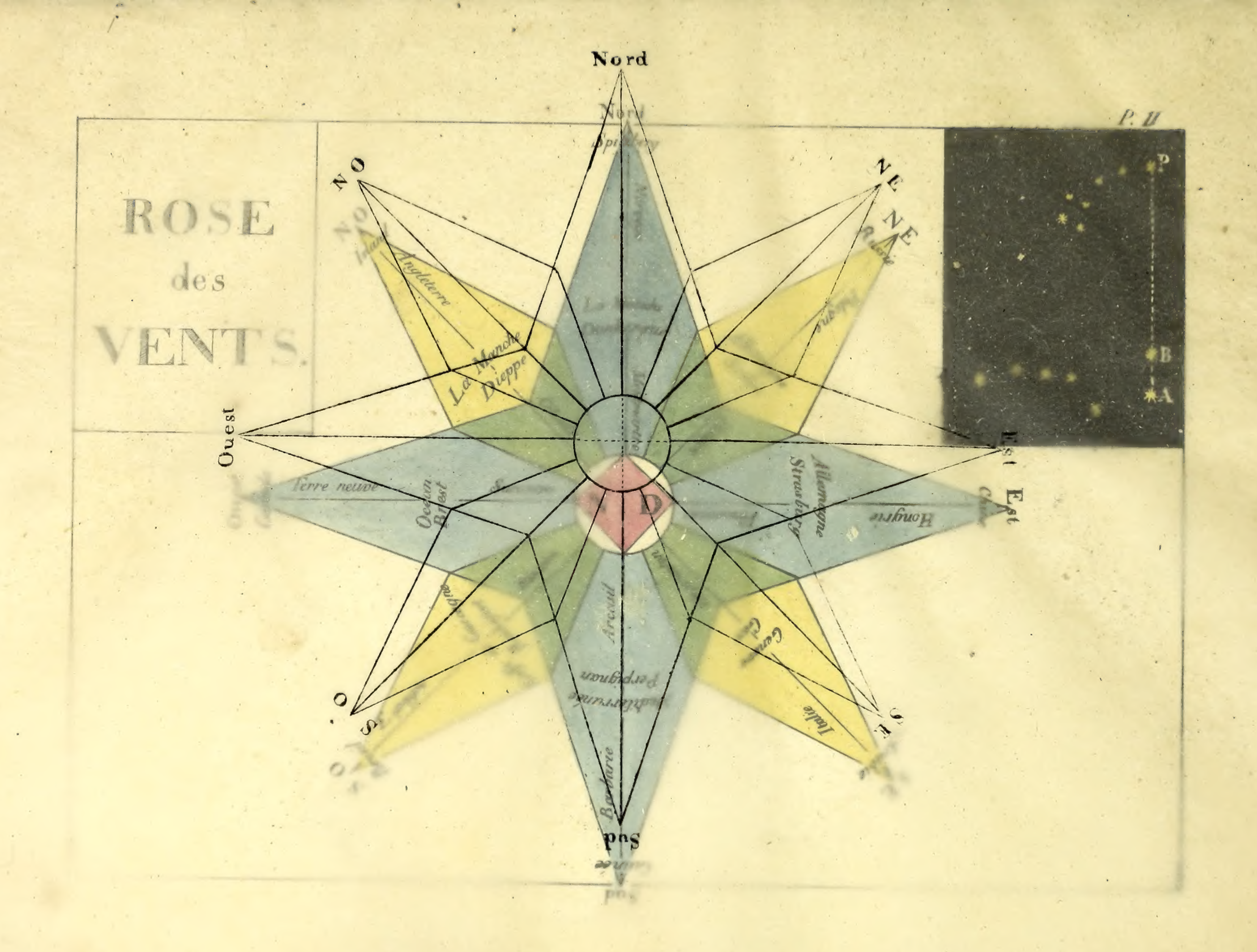


Division astronomique de la Terre

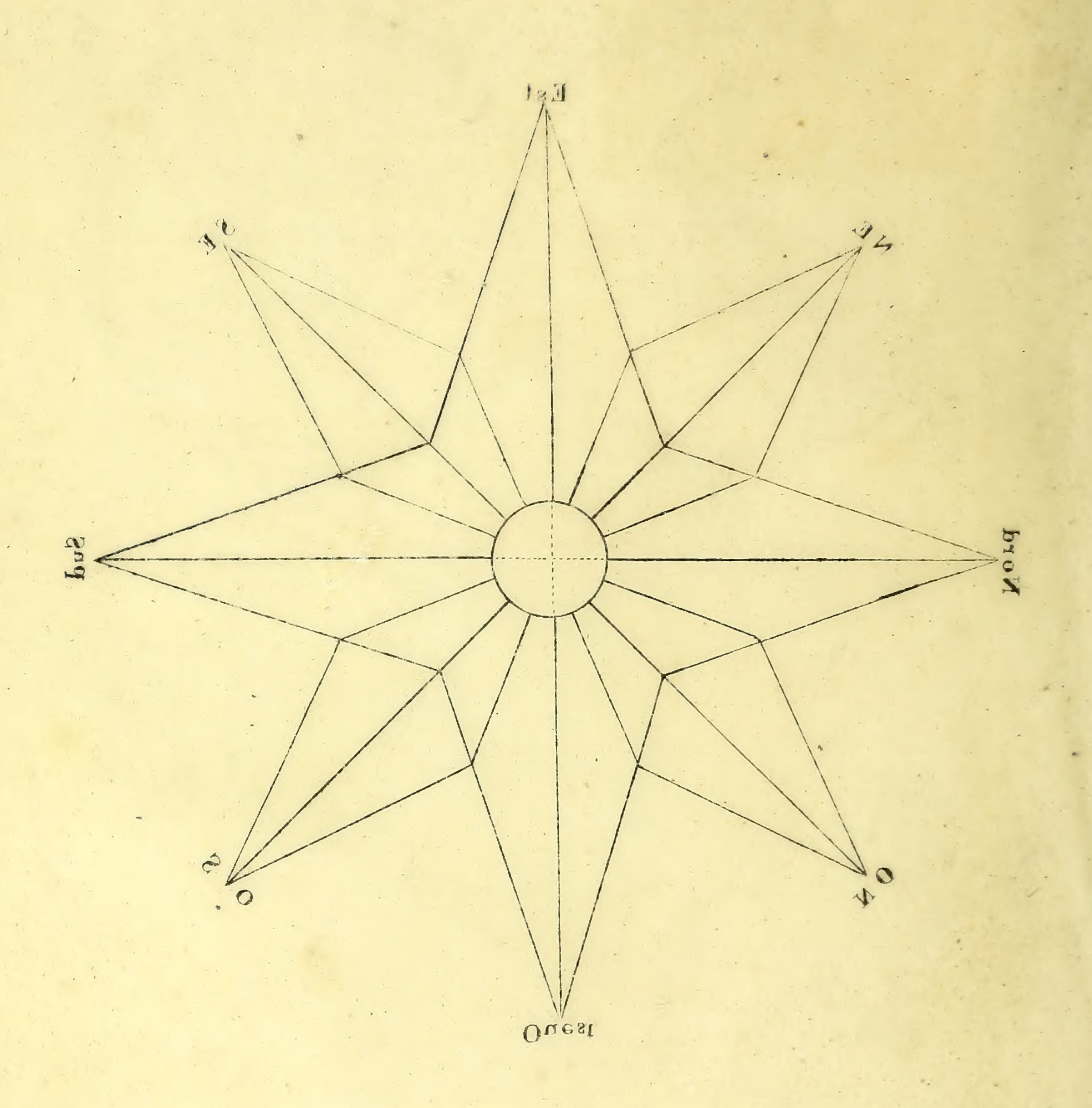


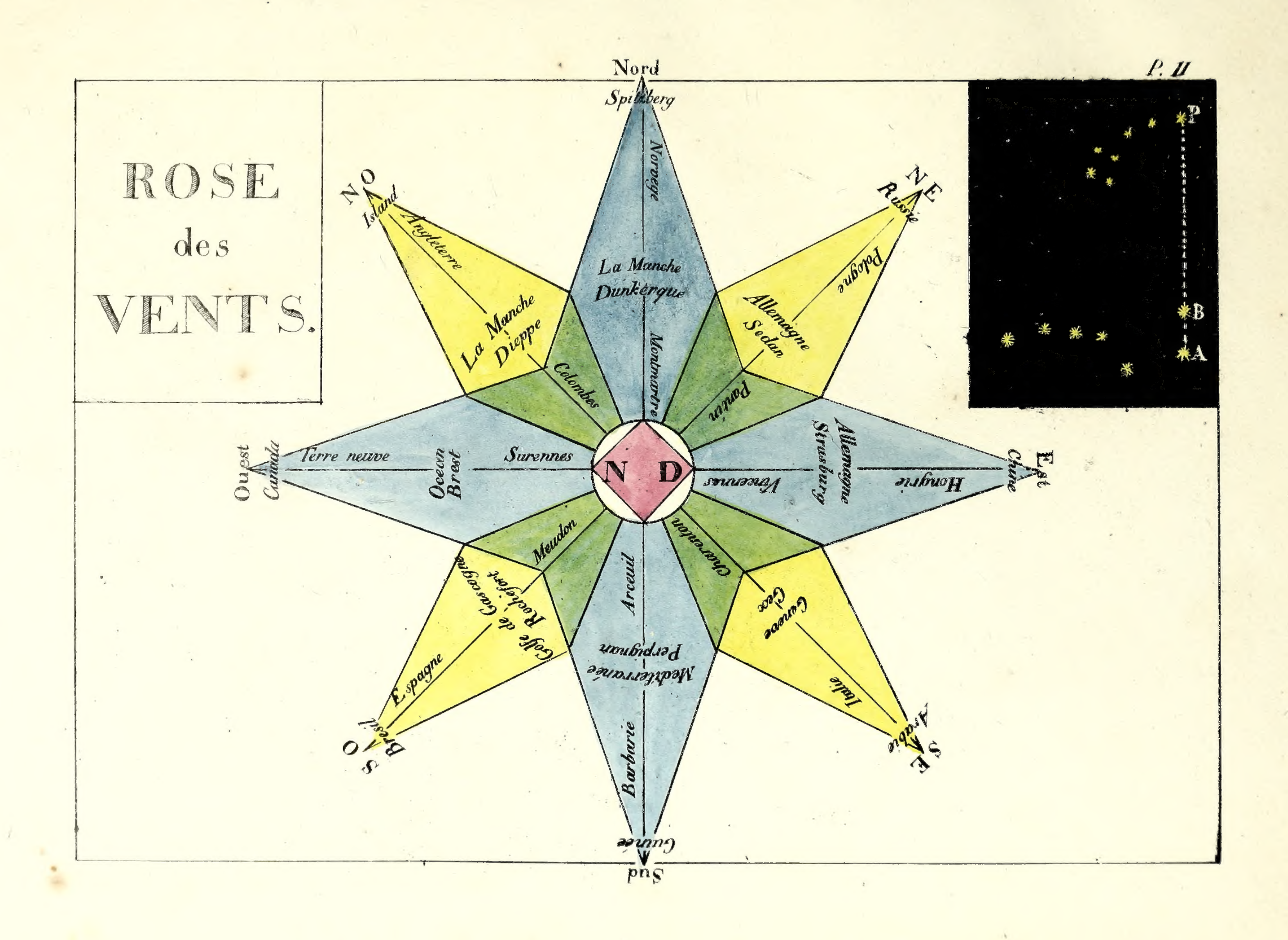






P. II
ROSE
des
VENTS.
Nord
NO
NE
Est
Ouest
Sud
O.
Irlande
Angleterre
La Manche
Dieppe
Russie
Pologne
Allemagne
Strasburg
Hongrie
Italie
Terre neuve
Ocean
Brest
Arcueil
Perpignan
Barbarie
D
P
B
A


Est
N E
Nord
N O
Ouest
O S
Sud
S E


ROSE
des
VENTS.
Nord
Spitzberg
Norvege
La Manche
Dunkerque
Montmartre
NE
Russie
Pologne
Allemagne
Sedan
Pantin
Est
Chine
Hongrie
Allemagne
Strasburg
Vincennes
SE
Arabie
Italie
Geneve
Gex
Charenton
Sud
Guinée
Barbarie
Mediterranée
Perpignan
Arceuil
SO
Bresil
Espagne
Golfe de Gascogne
Rochefort
Meudon
Ouest
Canada
Terre neuve
Ocean
Brest
Surennes
NO
Island
Angleterre
La Manche
Dieppe
Colombes
N
D
P
B
A

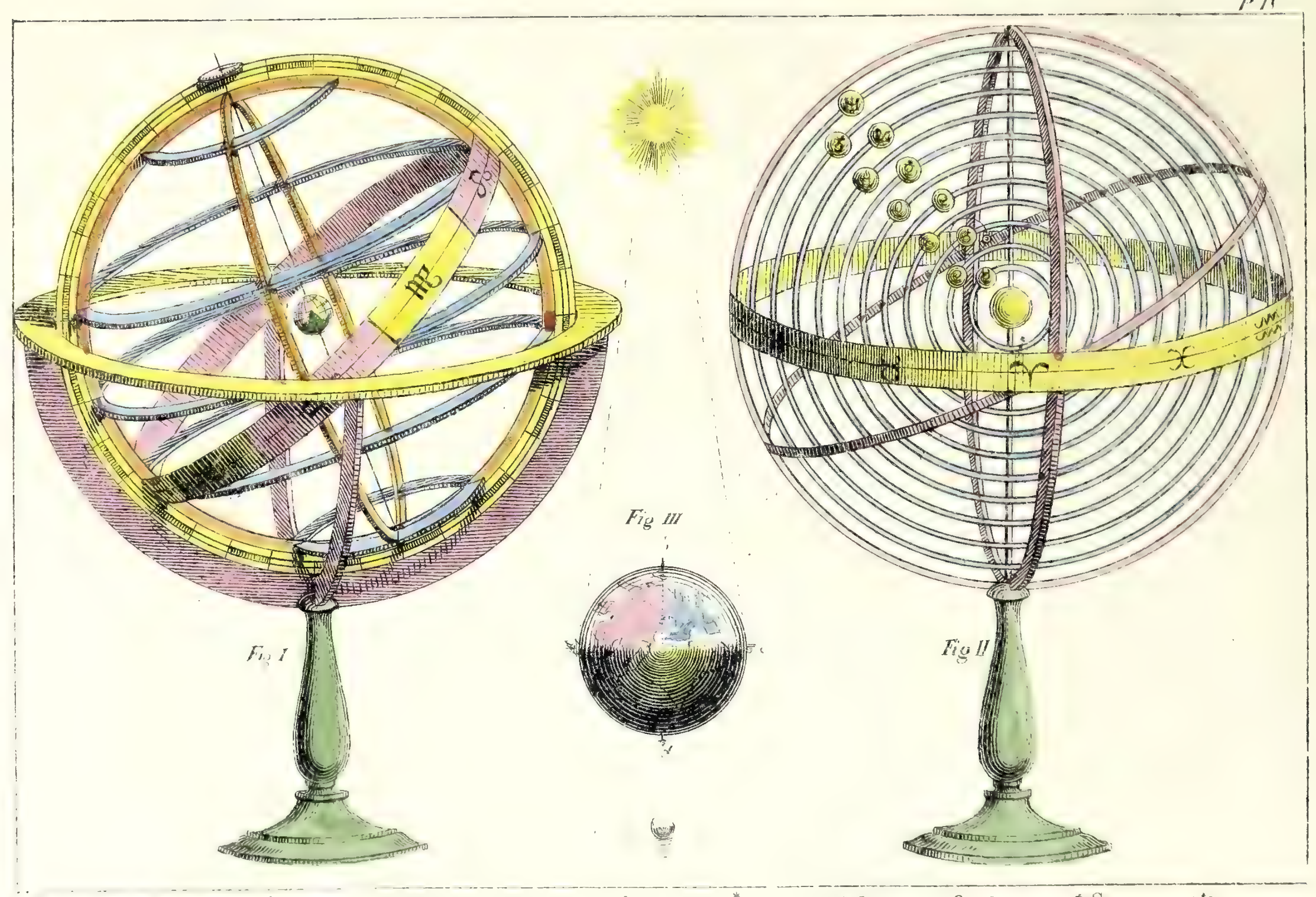
Horizon Sensible

Horizon Rationnel

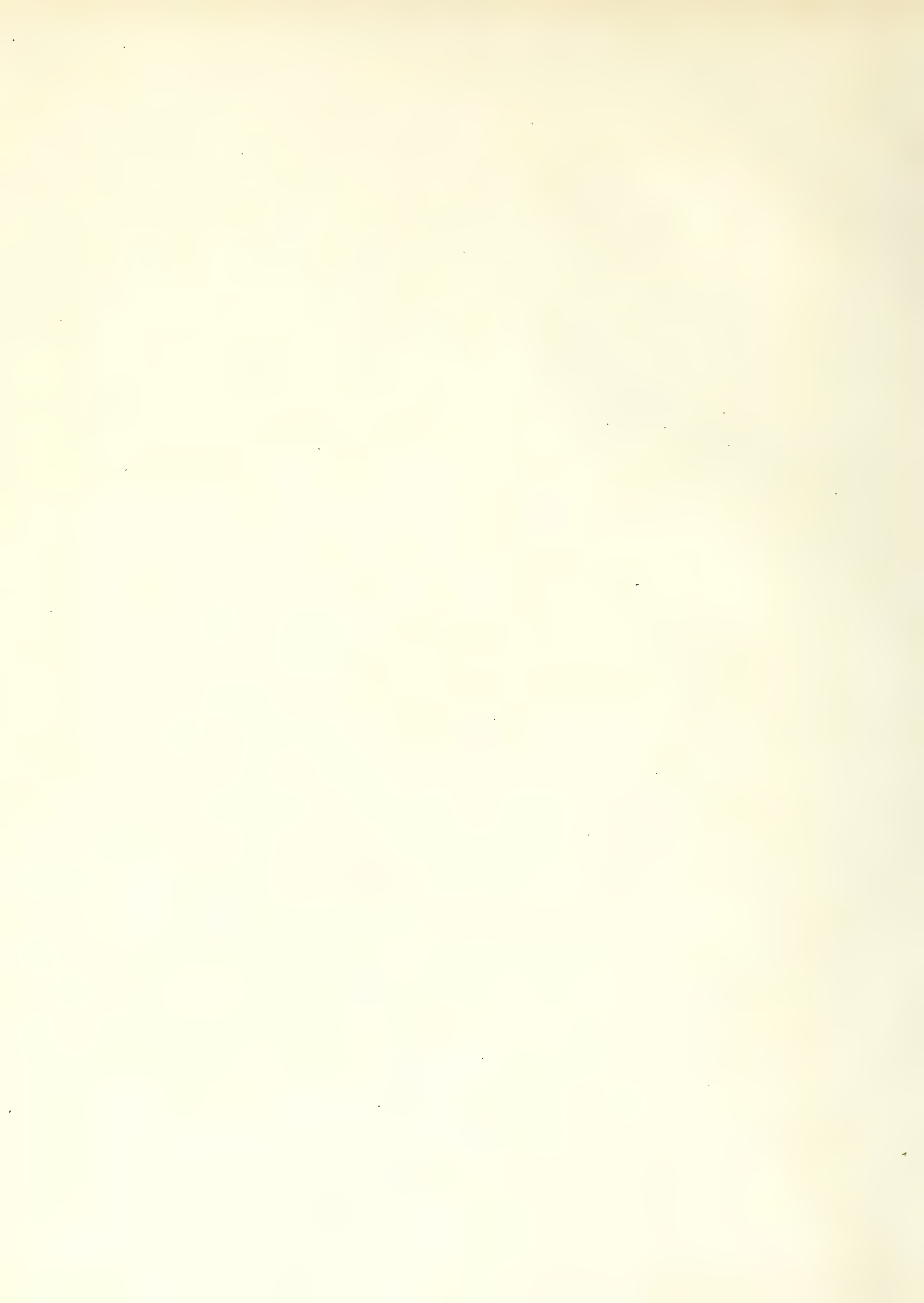
TERRE

B F A C E G H I K L M N P

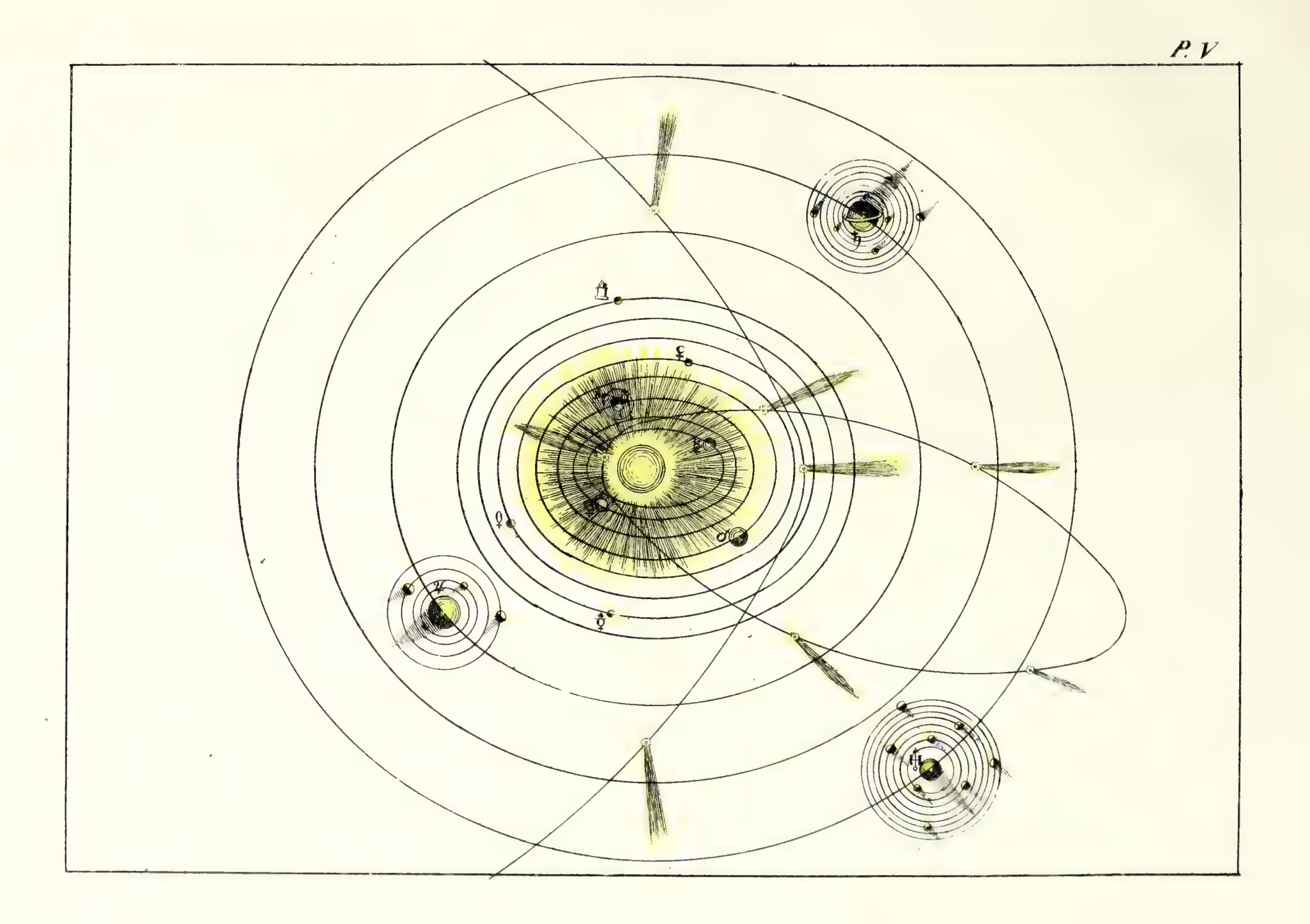




☿ Mercure, ♀ Vénus, ♁ La Terre, ♂ Mars, ⚳ Cérès, ⚴ Pallas, ⚵ Junon, ⚶ Vesta, ♃ Jupiter, ♄ Saturne, ♅ Uranus.



P. V





Pl. VI

4e Position

1re Position

2e Position

3e Position

20 Juin

20 Mai

19 Avril

20 Mars

17 Février

19 Janvier

20 Décembre

21 Novembre

22 Octobre

22 Septembre

22 Aoust

22 Juillet



P. VII

Fig. I.

Fig. II

Sphère droite

Zénith

Fig. III

Horizon confondu avec l'Axe de la Terre

Sphère oblique

Zénith

Fig. IV

Axe de la Terre

Horizon

Crépuscule

Sphère parallèle

Zénith

Fig. V

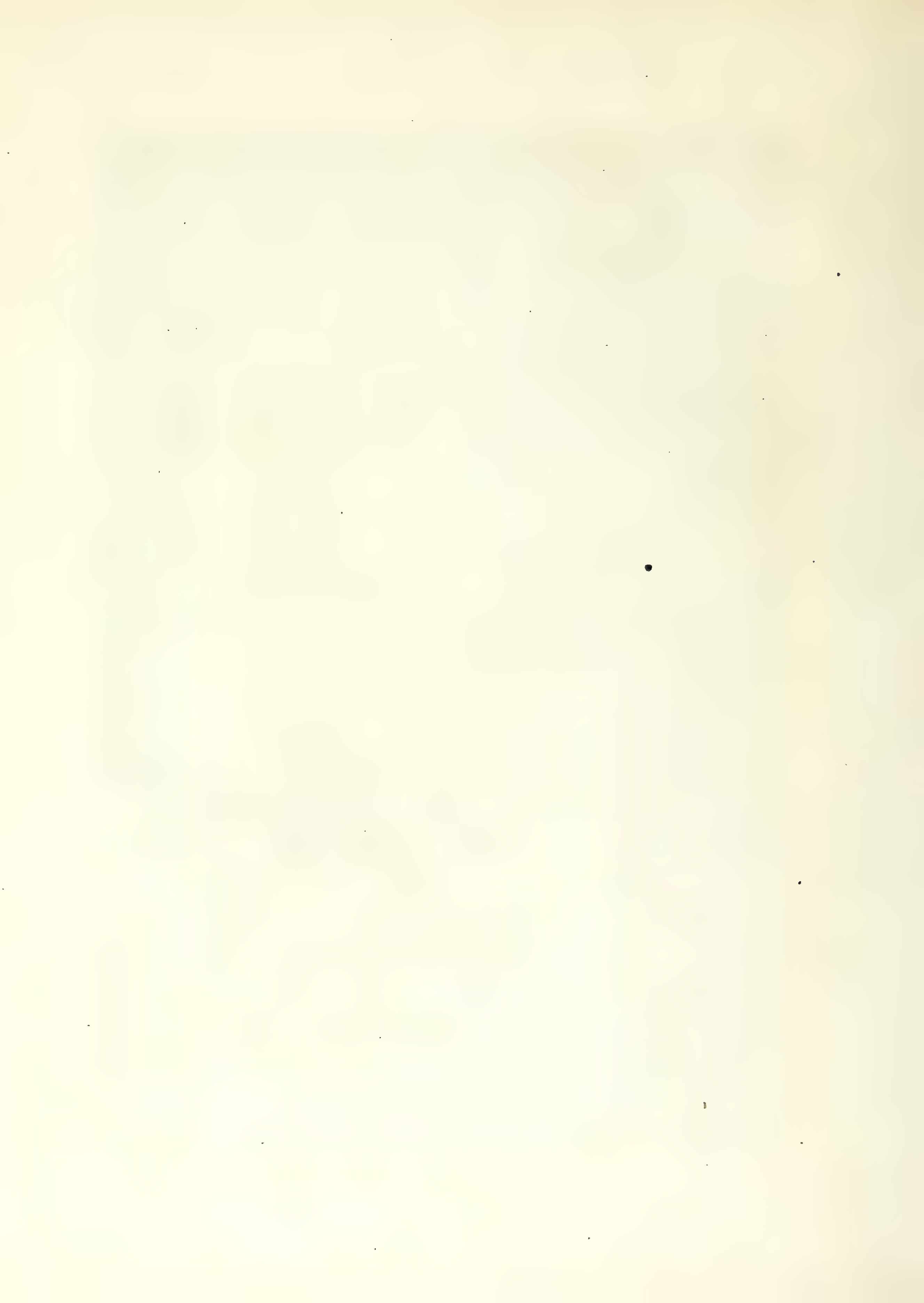
Horizon confondu avec l'Équateur

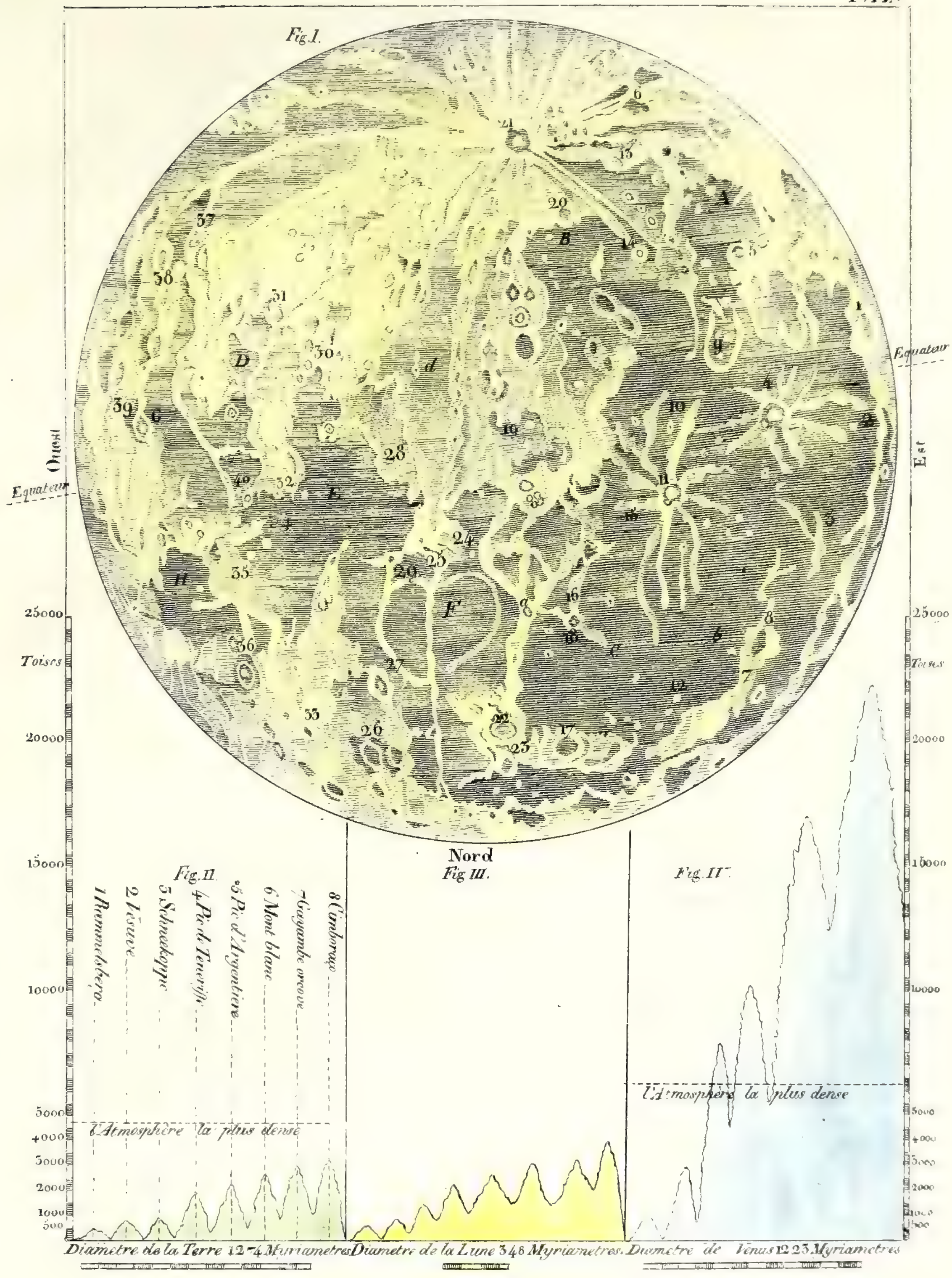
Crépuscule



P. VIII

Aurore Boréale



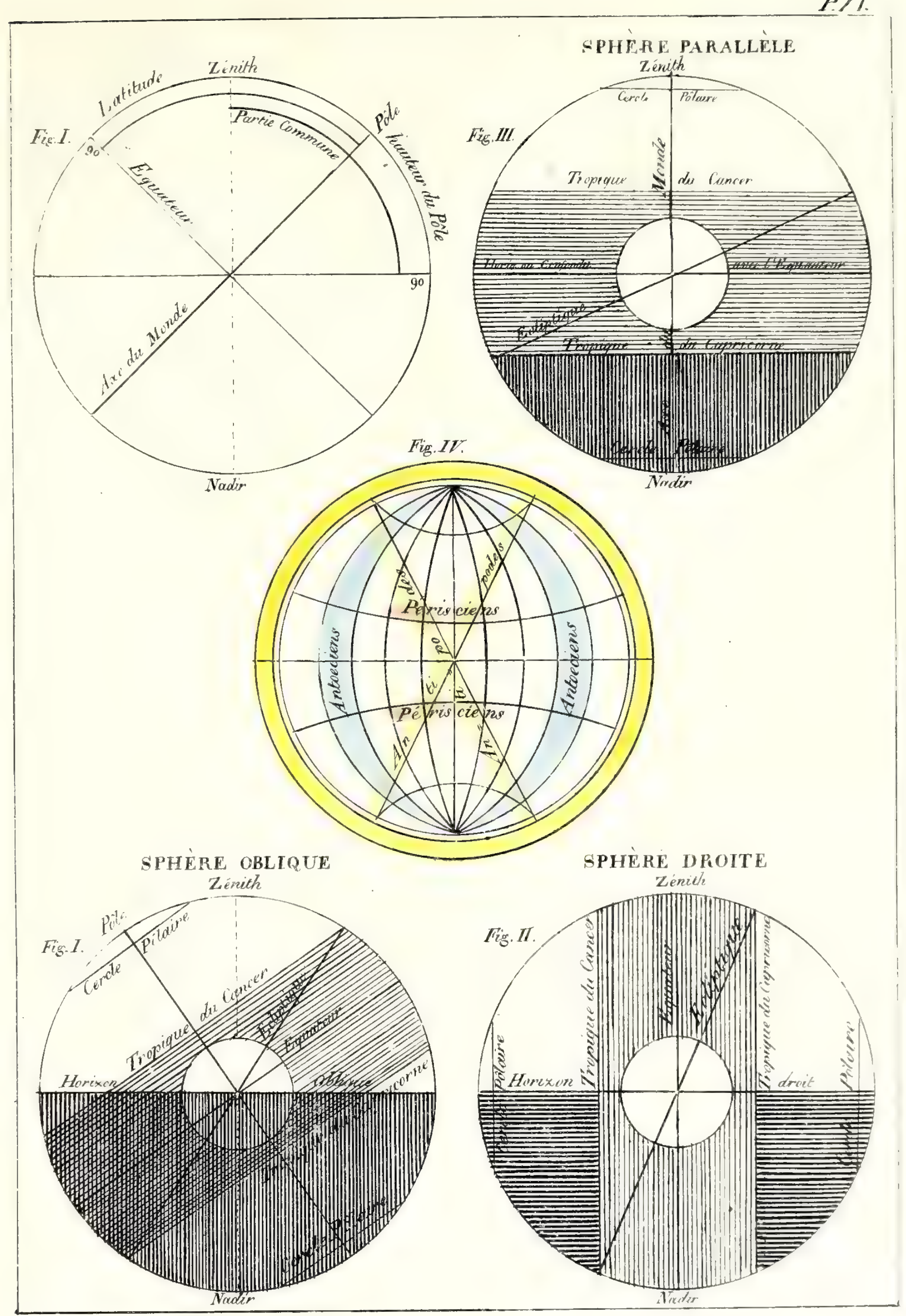

Sud
P. IX.
Fig. I.
Ouest
Est
Equateur
Equateur
Nord
Toises
Toises
25000
20000
15000
10000
5000
4000
3000
2000
1000
500
Fig. II.
1 Rummelsberg
2 Vésuve
3 Schneekoppe
4 Pic de Teneriffe
5 Pic d'Argentière
6 Mont blanc
7 Gayambe orcou
8 Cimboraço
Fig. III.
Fig. IV.
L'Atmosphère la plus dense
L'Atmosphère la plus dense
Diametre de la Terre 1274 Myriametres
Diametre de la Lune 348 Myriametres.
Diametre de Vénus 1223 Myriametres





Proportion des Planetes et du Soleil.

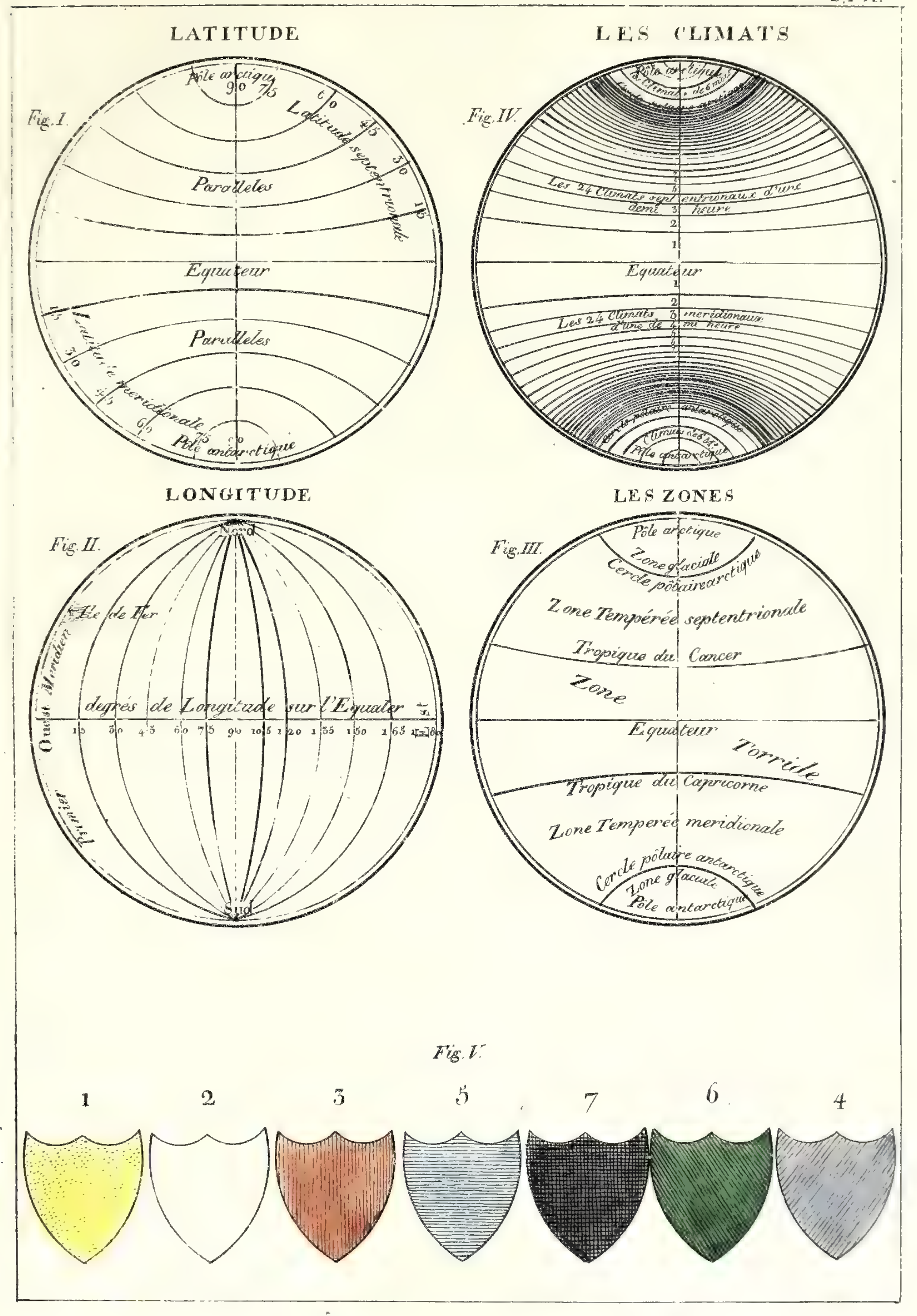




Pl. I.
Zénith
Latitude
Fig. I.
90
Partie Commune
Pôle
hauteur du Pôle
Equateur
90
Axe du Monde
Nadir
SPHÈRE PARALLÈLE
Zénith
Cercle
Polaire
Fig. III.
Tropique
Monde
du Cancer
Ecliptique
Tropique
du Capricorne
Cercle
Polaire
Nadir
Fig. IV.
Périsciens
Antoeciens
Antoeciens
Périsciens
SPHÈRE OBLIQUE
Zénith
Pôle
Fig. I.
Cercle
Polaire
Tropique du Cancer
Ecliptique
Equateur
Horizon
Nadir
SPHÈRE DROITE
Zénith
Fig. II.
Tropique du Cancer
Equateur
Ecliptique
Tropique du Capricorne
Polaire
Horizon
droit
Polaire
Nadir



Pl. VII.


LATITUDE
Fig. I.
Pôle arctique
Latitude septentrionale
Paralleles
Equateur
Paralleles
Latitude meridionale
Pôle antarctique
LES CLIMATS
Fig. IV.
Les 24 Climats septentrionaux d'une demi heure
Equateur
Les 24 Climats meridionaux d'une demi heure
LONGITUDE
Fig. II.
Nord
Ile de Fer
Premier Meridien
Ouest
degrés de Longitude sur l'Equateur
Sud
LES ZONES
Fig. III.
Pôle arctique
Zone glaciale
Cercle pôlaire arctique
Zone Tempérée septentrionale
Tropique du Cancer
Zone
Equateur
Torride
Tropique du Capricorne
Zone Temperée meridionale
Cercle pôlaire antarctique
Zone glaciale
Pôle antarctique
Fig. V.
1
2
3
5
7
6
4



P. VIII



Eruption du Vesuve en 1810.



Hauteur de 3600 Toises à la quelle M.r Gay Lussac s'est élevé en ballon à Paris le 16 7bre 1804 —

Hauteur de 3032 T.s à la quelle M.r Humboldt Bonpland et Montufar sont parvenus au Chimborazo le 23 Juin 1802.

Limite inférieure des Neiges perpétuelles sous l'Equateur

Neige perpétuelle en Europe sous le 16.me Degré de latitude

Mont Liban 1291. Petit Altaï en Siberie 1093. Elbrus Cime du Caucase

Pic de Teneriffe 1901. Pic des îles Açores 1098. Ambotismene à Madagascar. le Tafelberg au C. de b. Espér. 611. Les trois Salazes 1600.

Chimborazo. 3357. Le Cayambe Urcu 3030. L'Antisana. 2993. Le Cotopaxi. 2952. Metairie d'Antisana. 2101. Volcan de la Soufriere de la Guadeloupe 799. la Ville de Quito. 1506. la Ville de Mexico. 1177. Montagnes bleues de la Jamaïque 1138.

Mowna Roa aux Iles Sandwich 2558. Mont Egmont 2395. Montagne d'Otahiti. 1708.

Madrid 312. Sierra Nevada. 1134

Port de Pinède. 1291. Passage du Tourmalet. 1126

Mont Perdu. 1763. Mont S.t Barthelemy. 1136. M.t Vignemale. 1722. le Mont d'Or. 968. M.t Maladetta. 1670. le Mont Cantal. 953. M.t Marboré. 1636. le Puy Mary. 851. Pic du Midy de Pau 1467. le Puy de Dôme 758. M.t Canigou. 1441. le Ballon en Alsace 706.

Mont Etna en Sicile. 1713. Vésuve. 584. M.t Rotondo en Corse 1361. M.t Cavo près de Rome 480.

Cime de Col de Lanière. 2108. Mont Blanc. 2440. Monte Viso près de Turin. 1573. Aiguille d'Argentière 2094. Cime du Mont Cenis. 1445. Mont Cervin. 2309. la Tournette sur Annecy. 1178. Mont Rose. 2430. le M.t Vergy sur Sallenche. 1175. Breithorn. 2002. Cime du pain de Sucre du G.d S.t Bernard. 1460. Jungfrauhorn. 2148. le Priel en Autriche. 1094. Finsteraarhorn. 2206. l'Oetsch en Styrie. 998. Vogelsberg dans les Grisons 1795. Marjol sur le Bernardino 1563. Hasenmatt. 746. Piz Pisoc dans les Grisons 2100. Chasseral. 828. l'Orteler en Tyrol. 2356. Mont tendre. 867. Gross Glockner en Salzbourg 1998. Dole. 863.

Villes et Lacs entre les Alpes et le Jura: Thun 298. Neufchâtel 225. Genève 182. Gurten Plüe 397.

Jura

le Grand S.t Bernard. 1246. Col du M.t Cervin 1750. le Mont Cenis. 1060. Simplon. 1029. S.t Gotthardt. 1065.

Brocken au Harz. 546. Schneekoppe au Riesengebürg. 825. Feldberg Cime du Schwarzwald 768.

Wharnside Yorkshire 833. Crossfield. 550.

Ben Nevis Invernesshire 680

Snoefiels Joeckul 800

Parnasse. 619. Grande Pyramide en Egypte. Tour de Strasbourg

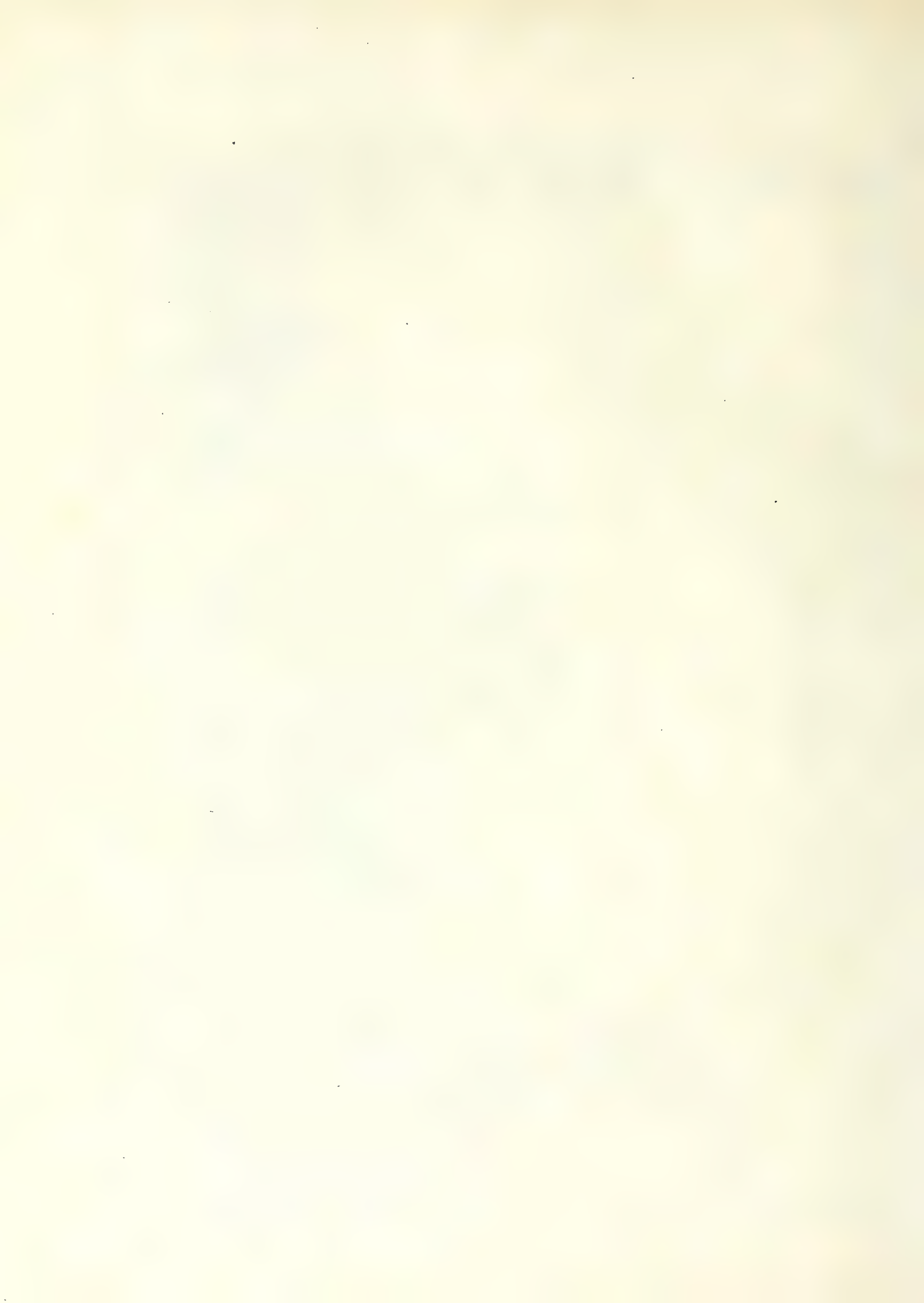
en Asie	en Afrique	en Amérique	Mer du Sud	Espagne	Passages des Pyrenées	en France hormis les Alpes	en Itali	Les Alpes formant la chaine centrale de l'Europe	Passages des Alpes	Allemagne hormis les Alpes	Angleterre	Ecosse	Islande	Ile de S.t Charles près Spitzberg

Toises: 4000, 3500, 3000, 2500, 2000, 1500, 1000, 500, 400, 300, 200, 100

Pieds de France: 24000, 21000, 18000, 15000, 12000, 9000, 6000, 3000, 2500, 2000, 1500, 1000, 500

Hauteur moyenne du mercure dans le Baromètre: 12, 13, 14, 15, 16, 17, 18, 19, 20, 21, 22, 23, 24, 25, 26, 27, 28

Tableau des principales Hauteurs du Globe.



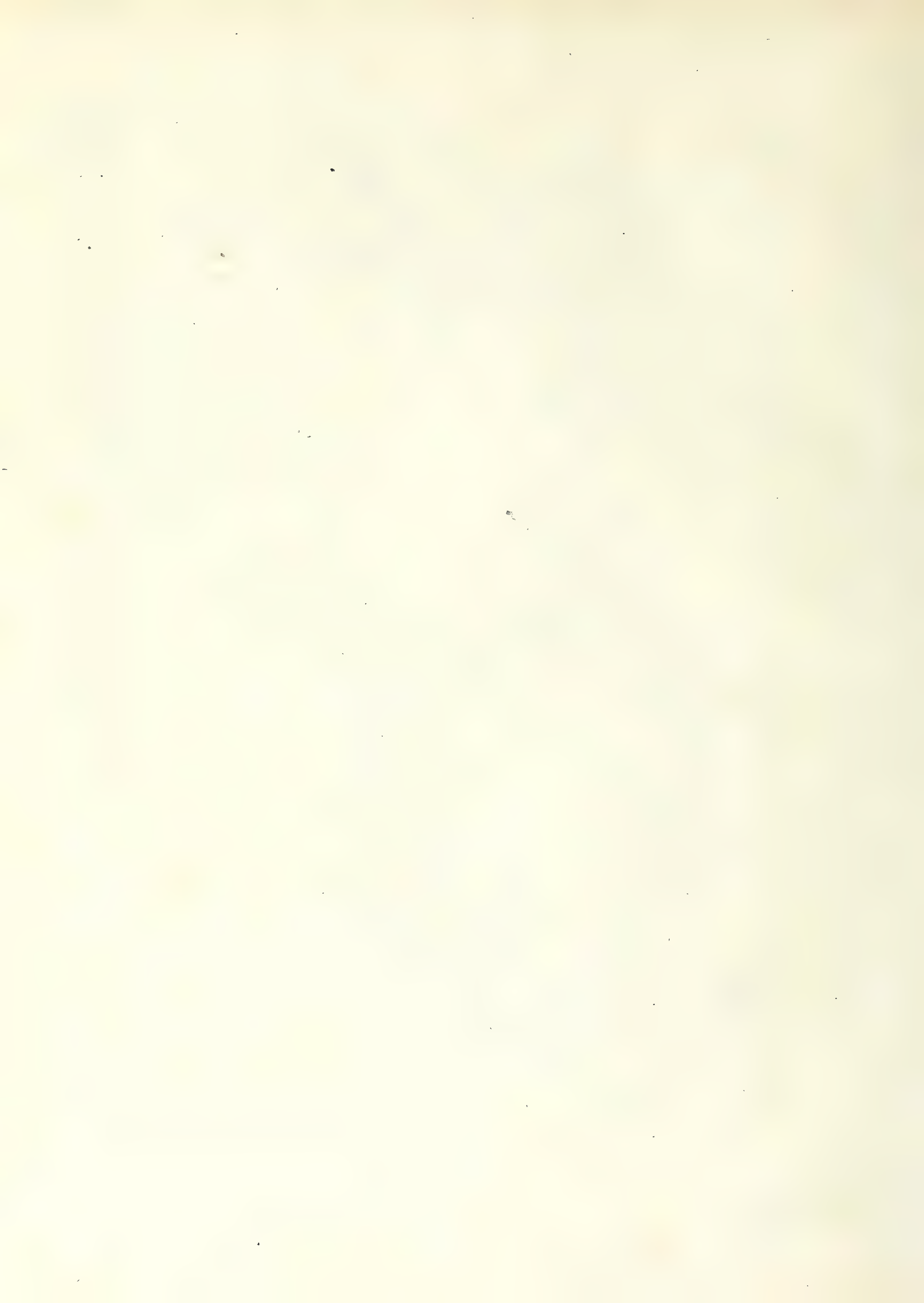
MAPPE-MONDE



Explication des Couleurs

- I Variété Caucasienne – *Var: centrale de l'ancien Continent, selon M. Malte-Brun – Var: blanche ou Scythique selon Mr. Walkenaer.*
- II Variété Mongole – *Var: orientale de l'ancien Contin: selon M. M.-B. – Var. jaune ou Mongole selon M. W.*
- III Variété Éthiopienne – *Var: Nègre, selon Mr. M.-B: – Var: noire, ou éthiopienne, selon M. W.*
- IV Variété Américaine *la même selon Mr. M.-B: – pure fiction, selon M. W.*
- V Variété Malaye – *Var: des terres océaniques, selon M. M.-B: – Mélange de la race éthiopienne avec la scythique, selon Mr. W. –*

Carte des principales Variétés de l'espèce humaine selon le système de Blumenbach

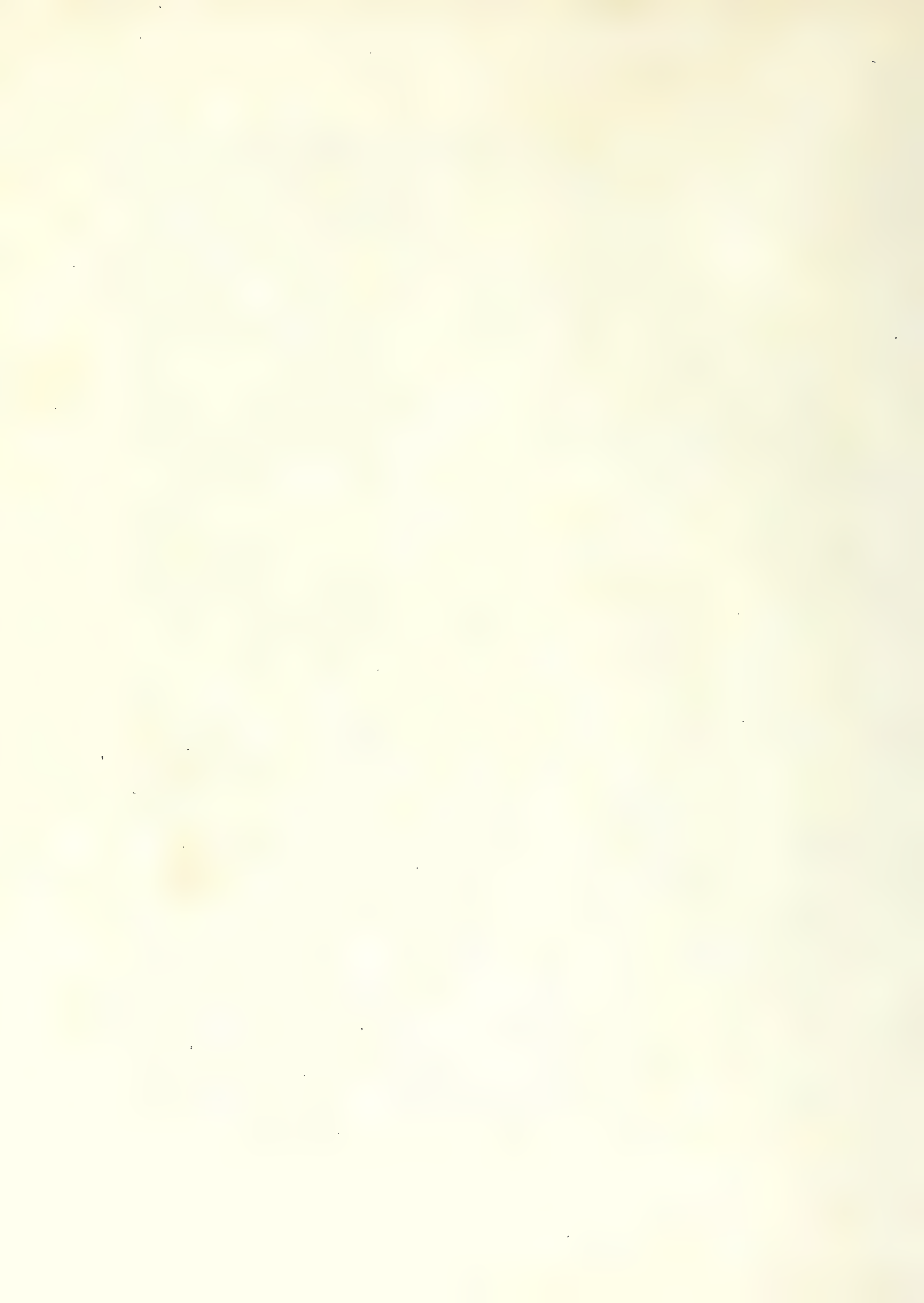


Avalanche

P. XVII



Voye. page 40

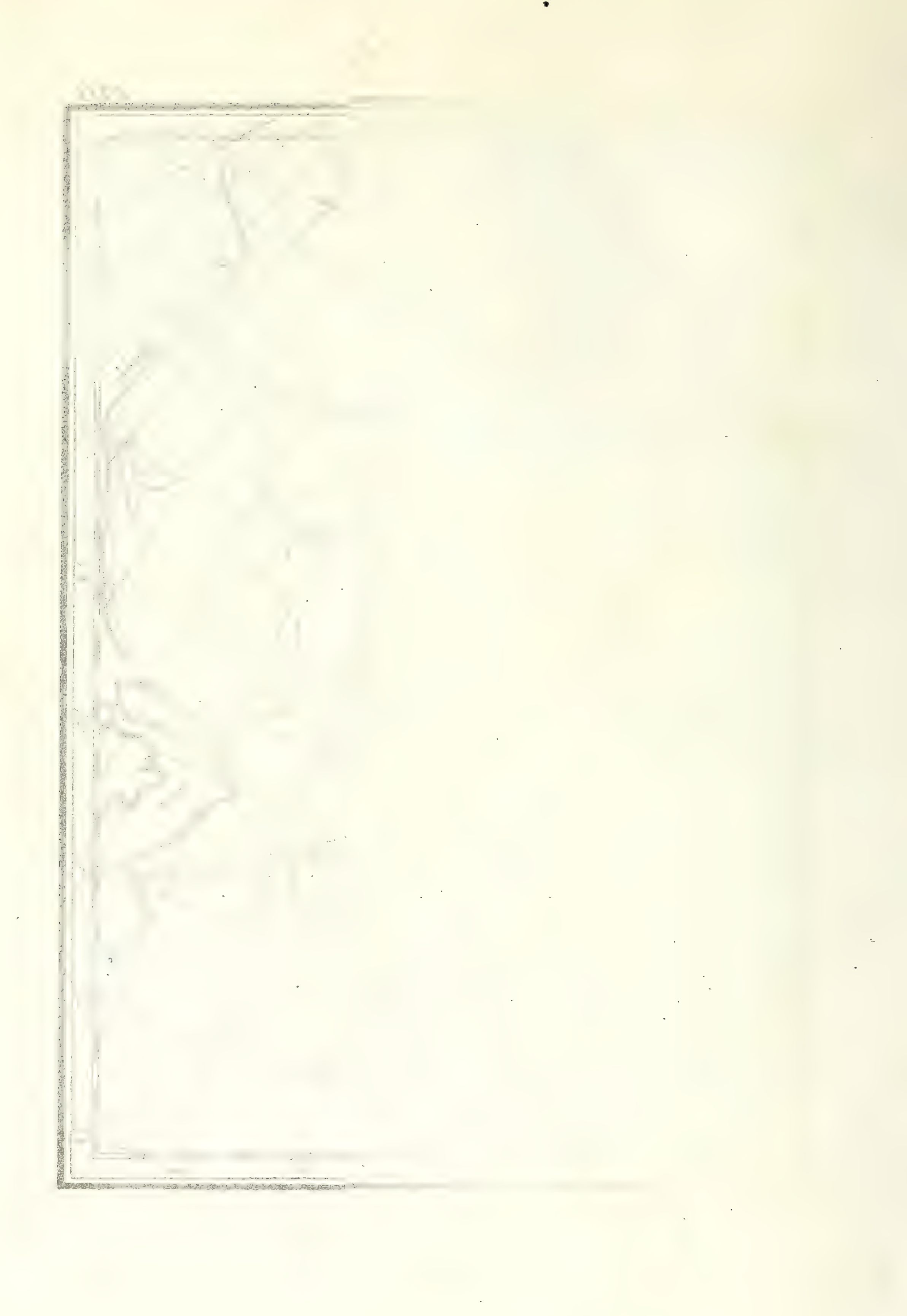


Grotte de l'Arveron.

P. XVIII



Voyez page 46



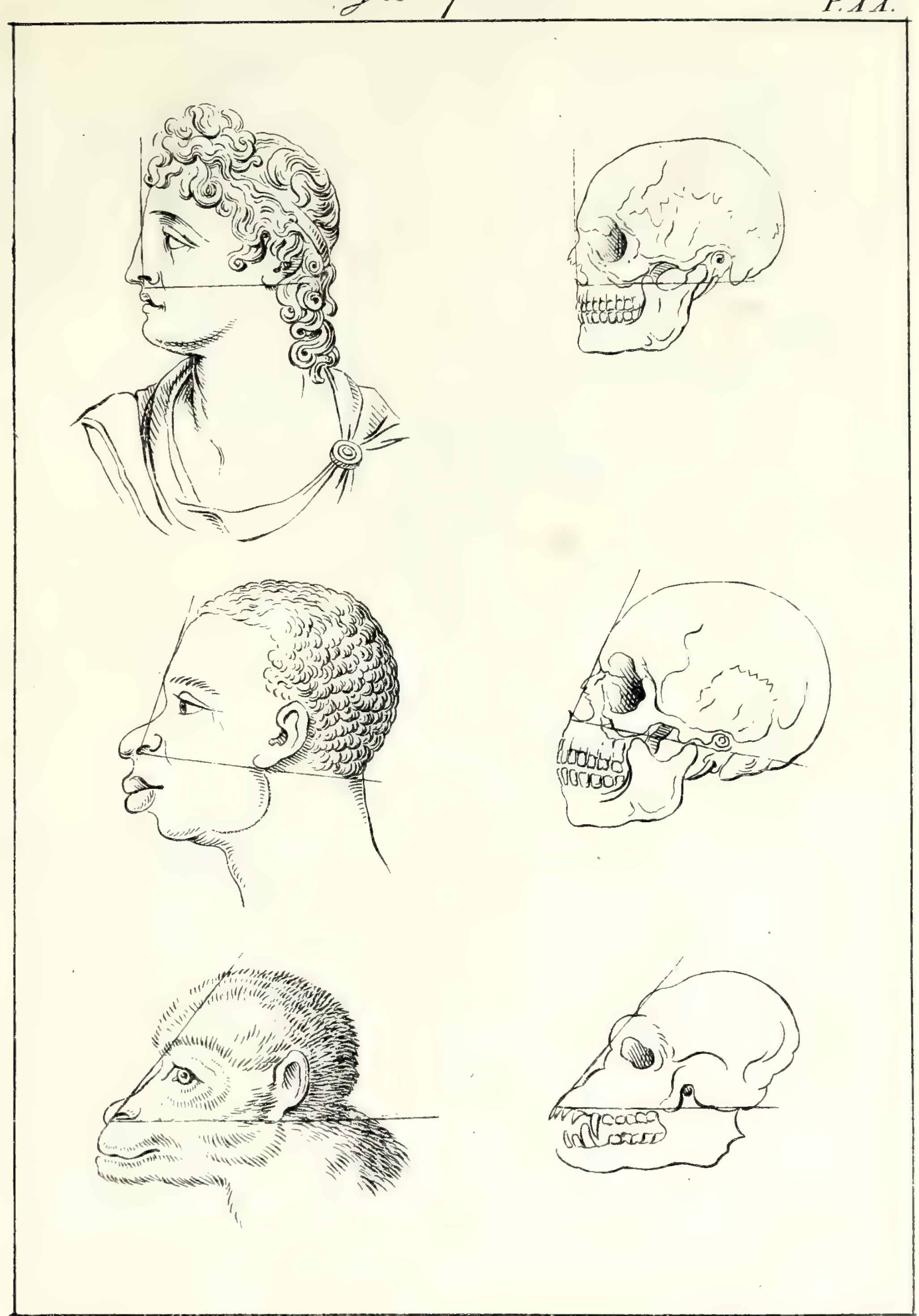
Carte physique de l'Europe

PXIX

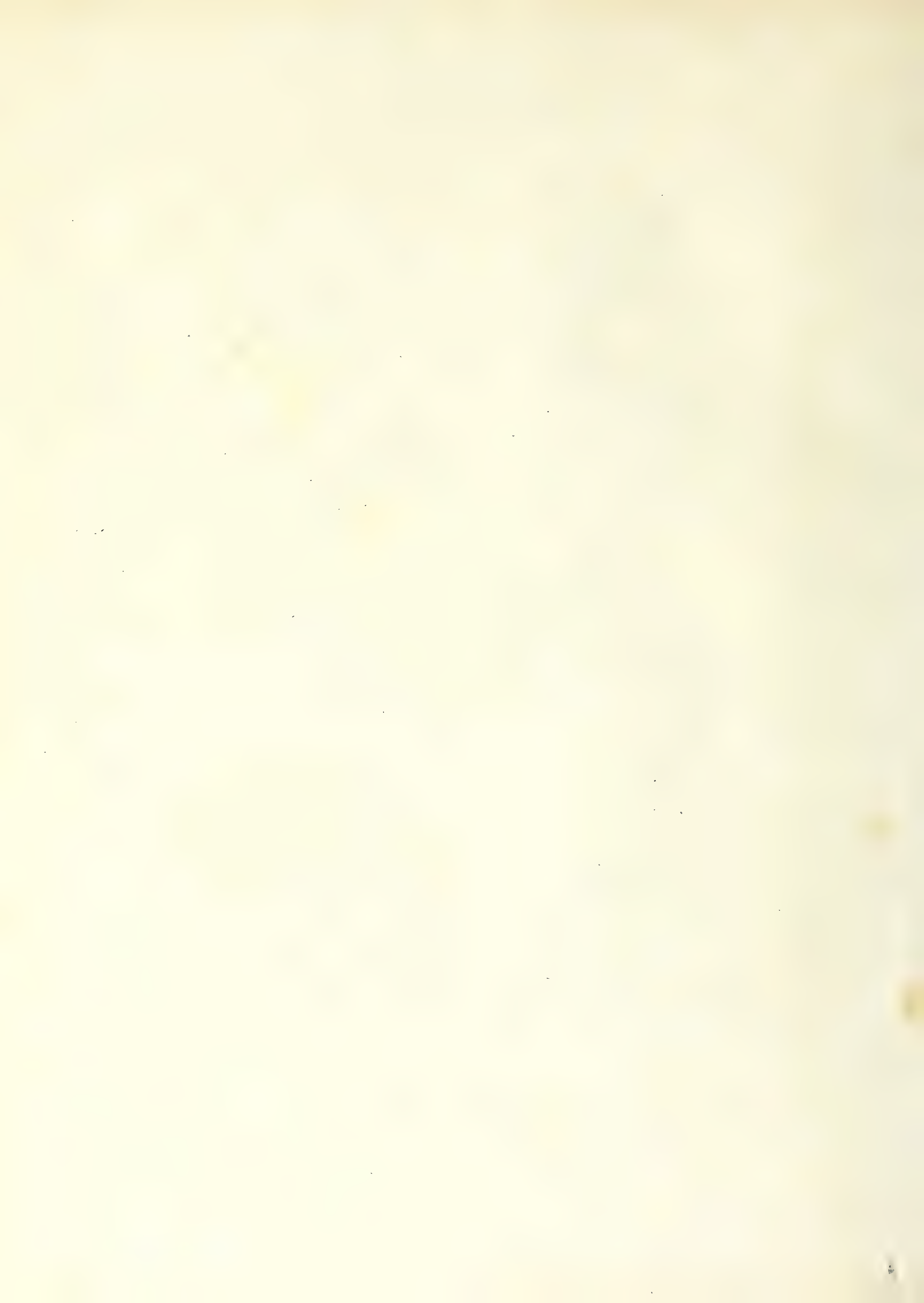




Angle facial.



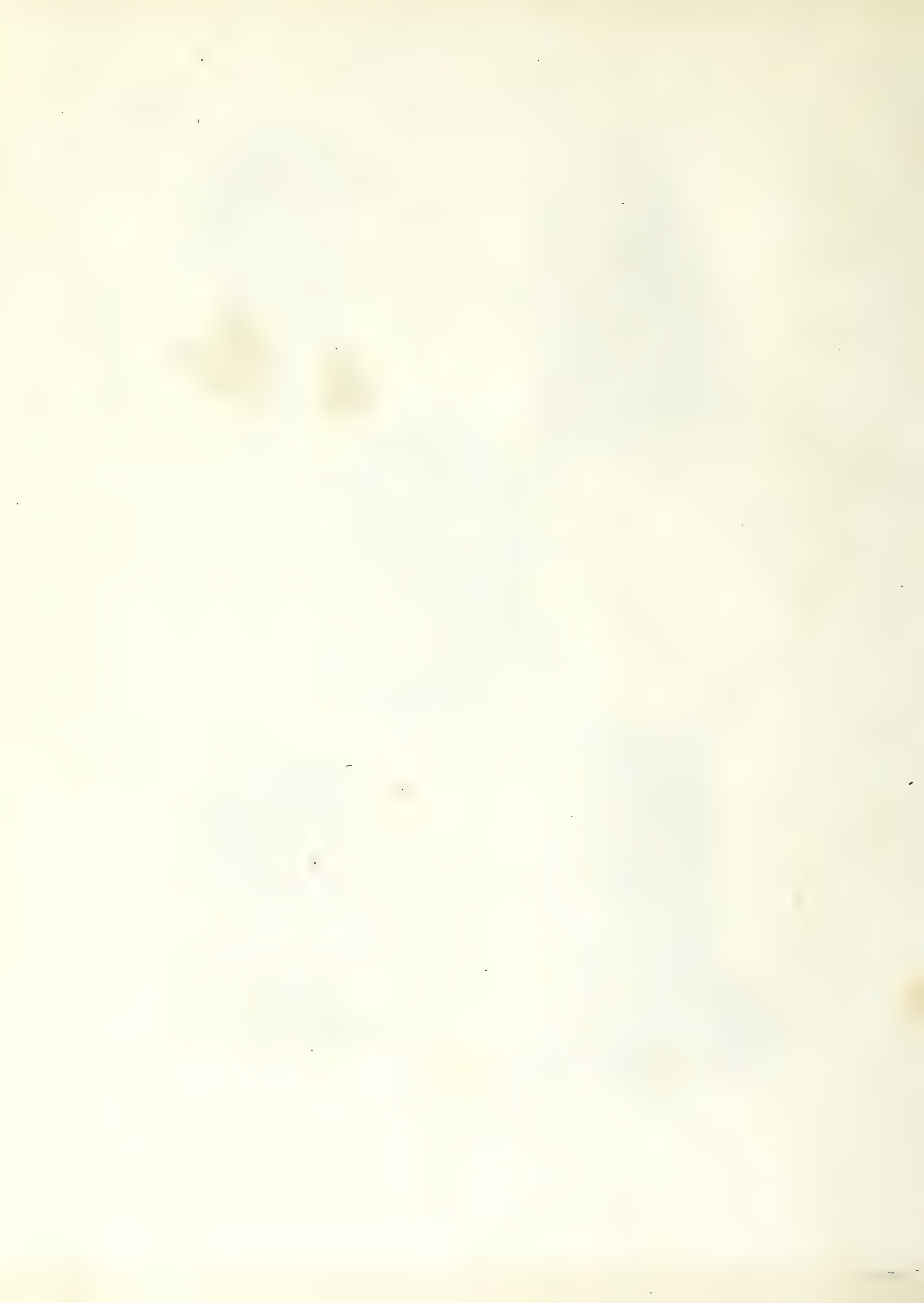
*** Voyez page 62.



Pl. XXI.

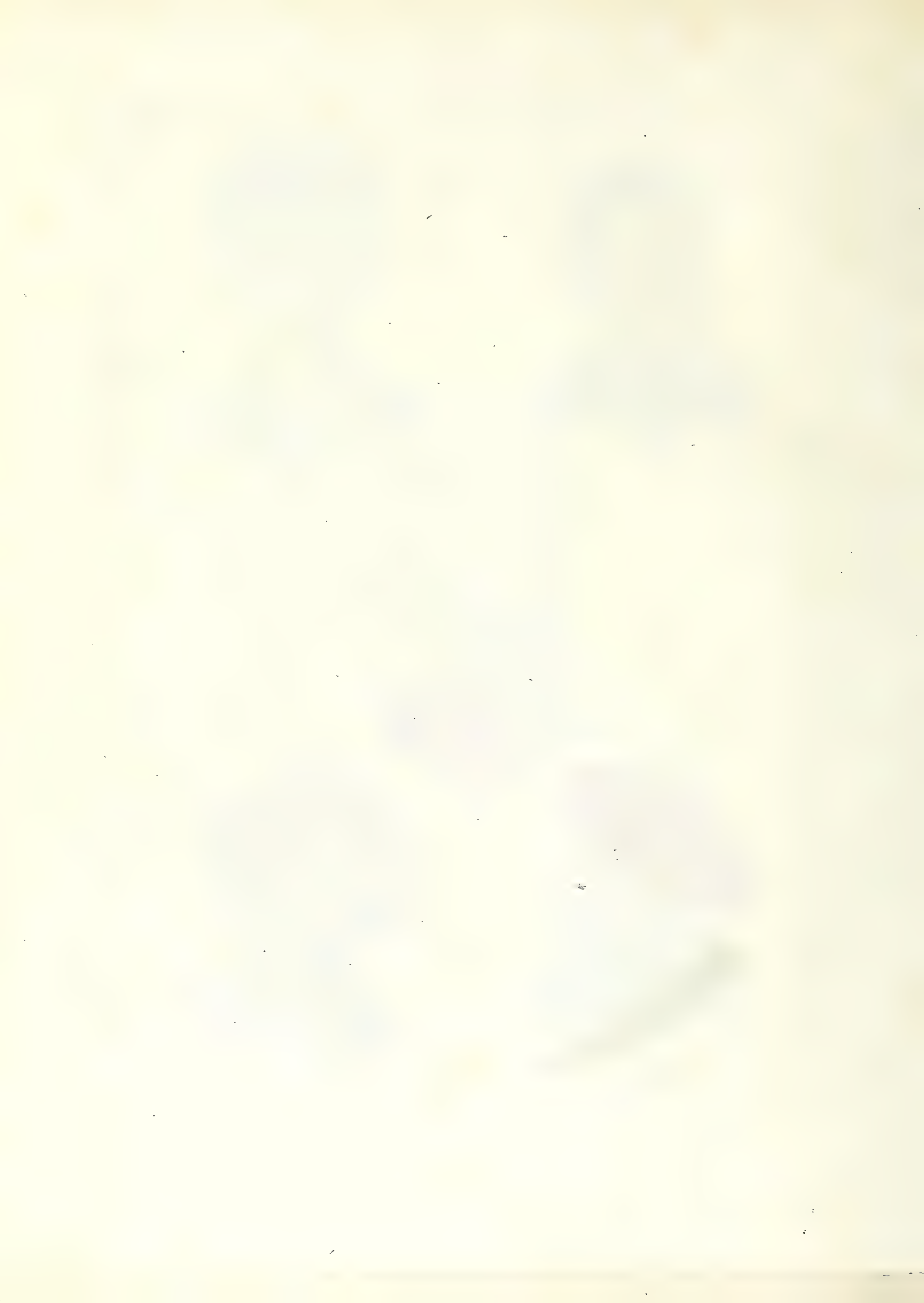


Fig. I. Fig. II. Fig. III. Fig. IV. Fig. V.



Pl. XXVII





Pl. XXVIII

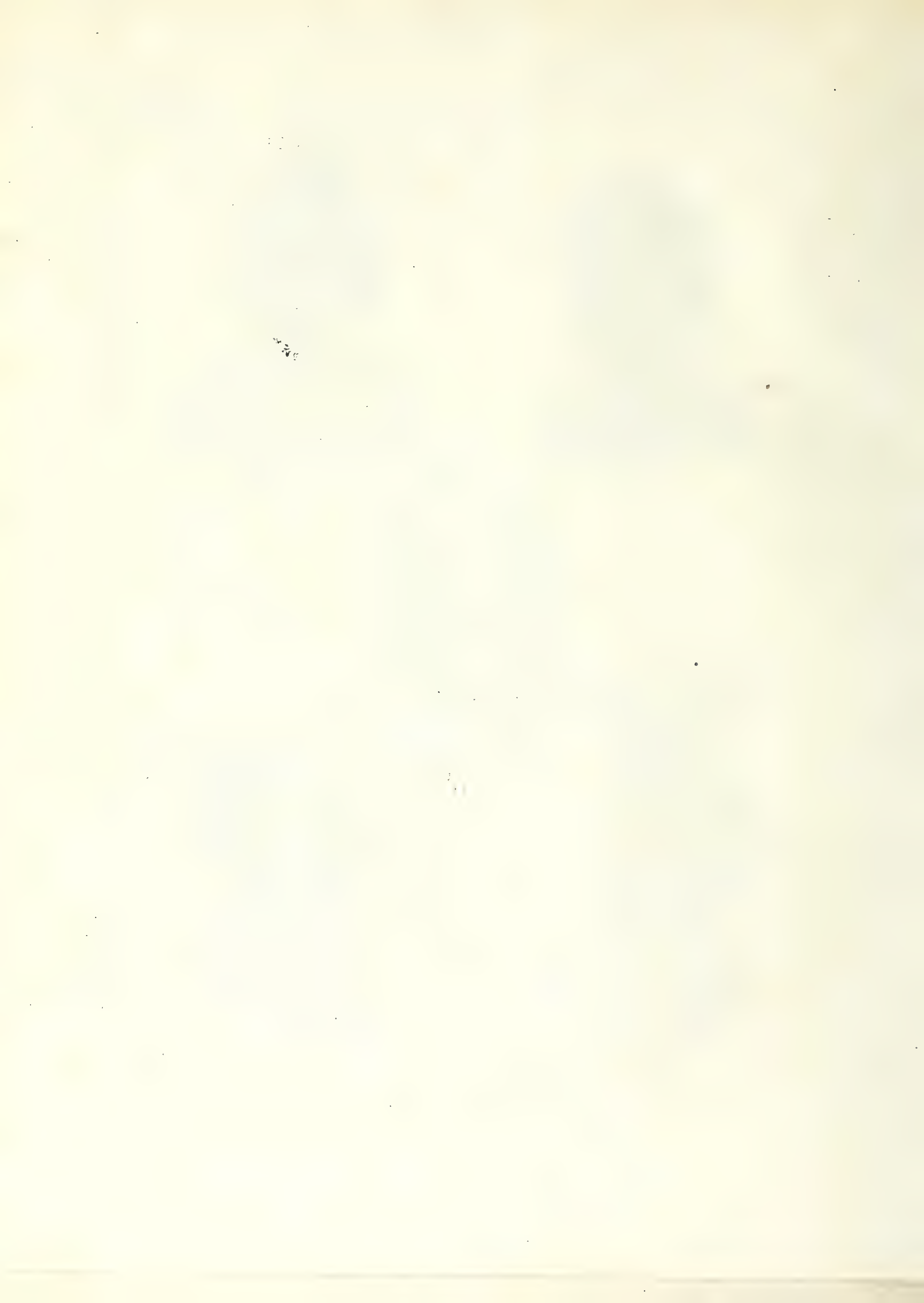




Pl. XXIV.



Fig. I. Fig. II. Fig. III. Fig. IV. Fig. V.



Pl. XXV



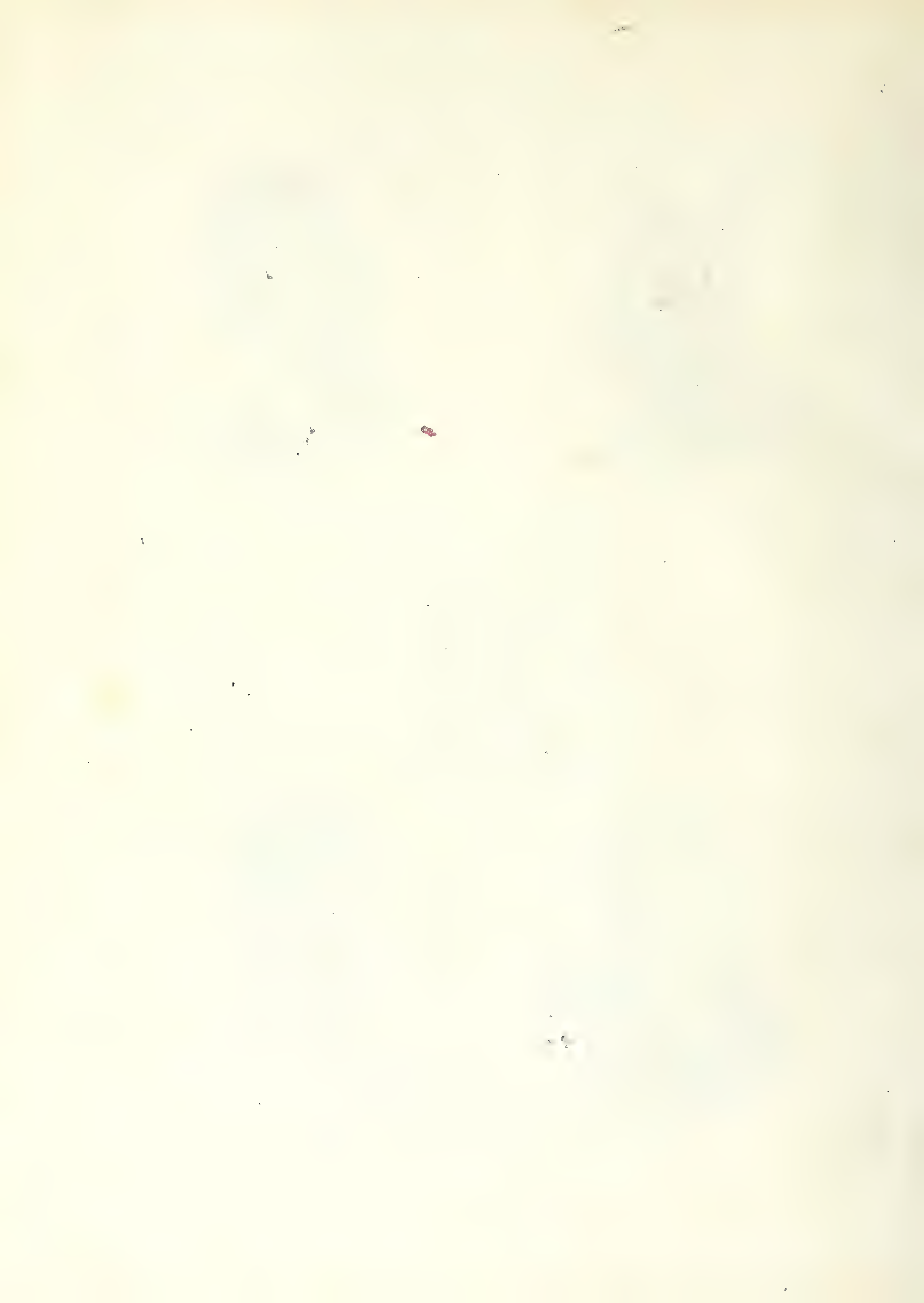
Fig III.

Fig II

Fig I.

Fig IV

Fig V.

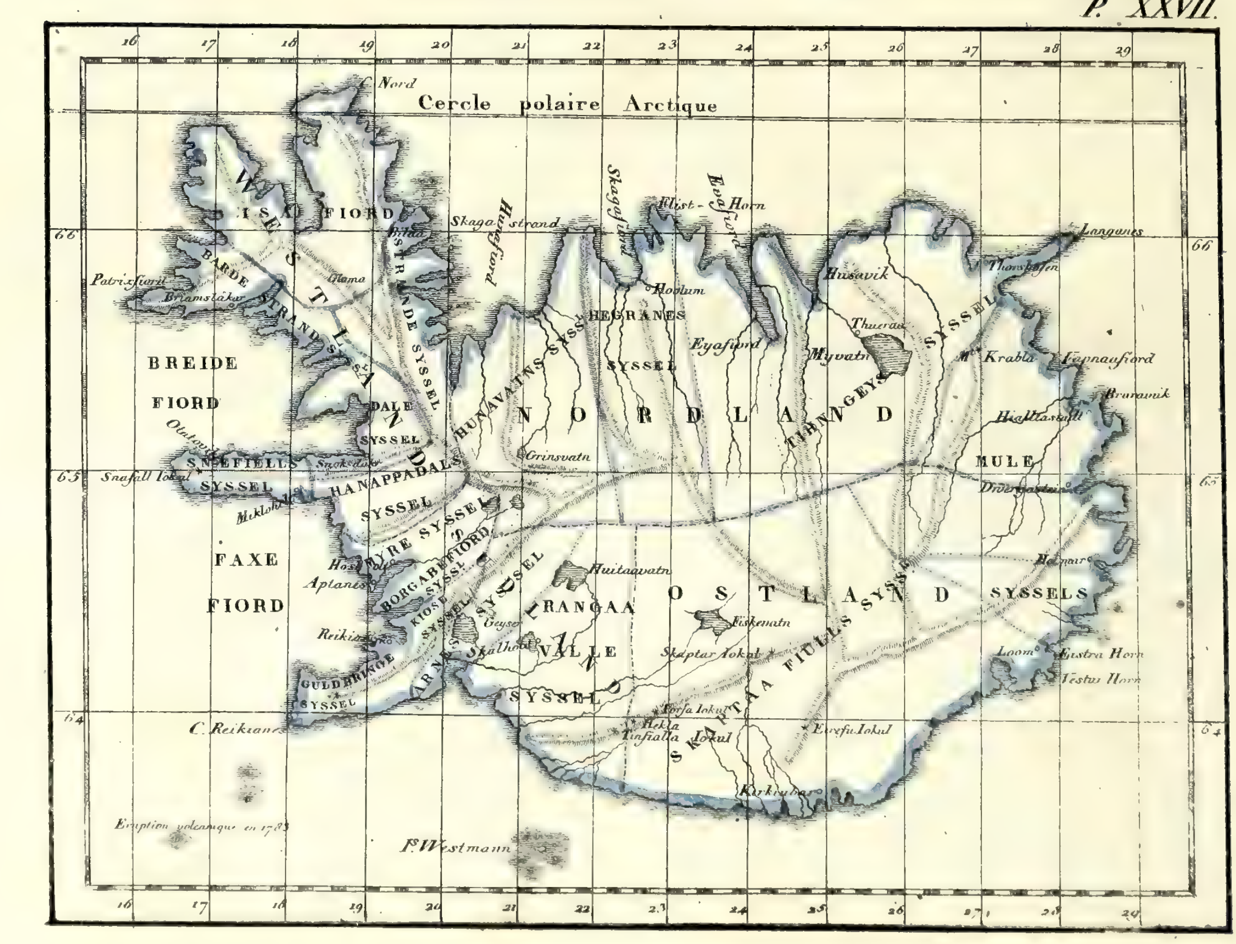



EUROPE
en 1817.
MER GLACIALE
Cercle Polaire Arctique
ISLANDE
Iles Feröe
Iles Schetland
Iles Orcades
Iles Hébrides
ÎLES BRITANNIQUES
ÉCOSSE
Edimbourg
IRLANDE
Dublin
ANGLETERRE
Londres
MER DU NORD
LAPONIE
SUÈDE
NORWÈGE
Golfe de Bothnie
Golfe de Finlande
Petersbourg
Stockholm
MER BALTIQUE
RUSSIE D'EUROPE
Moscou
Volga R.
Monts Ourals
ASIE
PRUSSE
Konigsberg
Berlin
Roy. de Pologne
Varsovie
Cracovie
BOHÊME
Monts Krapaks
EMP. D'AUTRICHE
HONGRIE
Vienne
Presbourg
Bavière
Munich
FRANCE
Paris
Seine R.
Loire R.
Lyon
Bordeaux
G. de Gascogne
Les Pyrénées
ESPAGNE
Madrid
PORTUGAL
Lisbonne
Gibraltar
OCÉAN ATLANTIQUE
C. Ortegal
C. Finistère
C. S. Vincent
I. Majorque
Ivice
ILE DE SARDAIGNE
I. de Corse
Rome
Naples
Palerme
SICILE
I. de Malte
MER ADRIATIQUE
TURQUIE D'EUROPE
Constantinople
MER NOIRE
Crimée
MER CASPIENNE
TURQUIE D'ASIE
ARCHIPEL
I. de Candie
I. de Rhodes
I. de Chypre
MER MÉDITERRANÉE
AFRIQUE
Nouvelle Zemble
Dnieper R.
le Don R.
Danube R.



Carte d'Islande

P. XXVII.





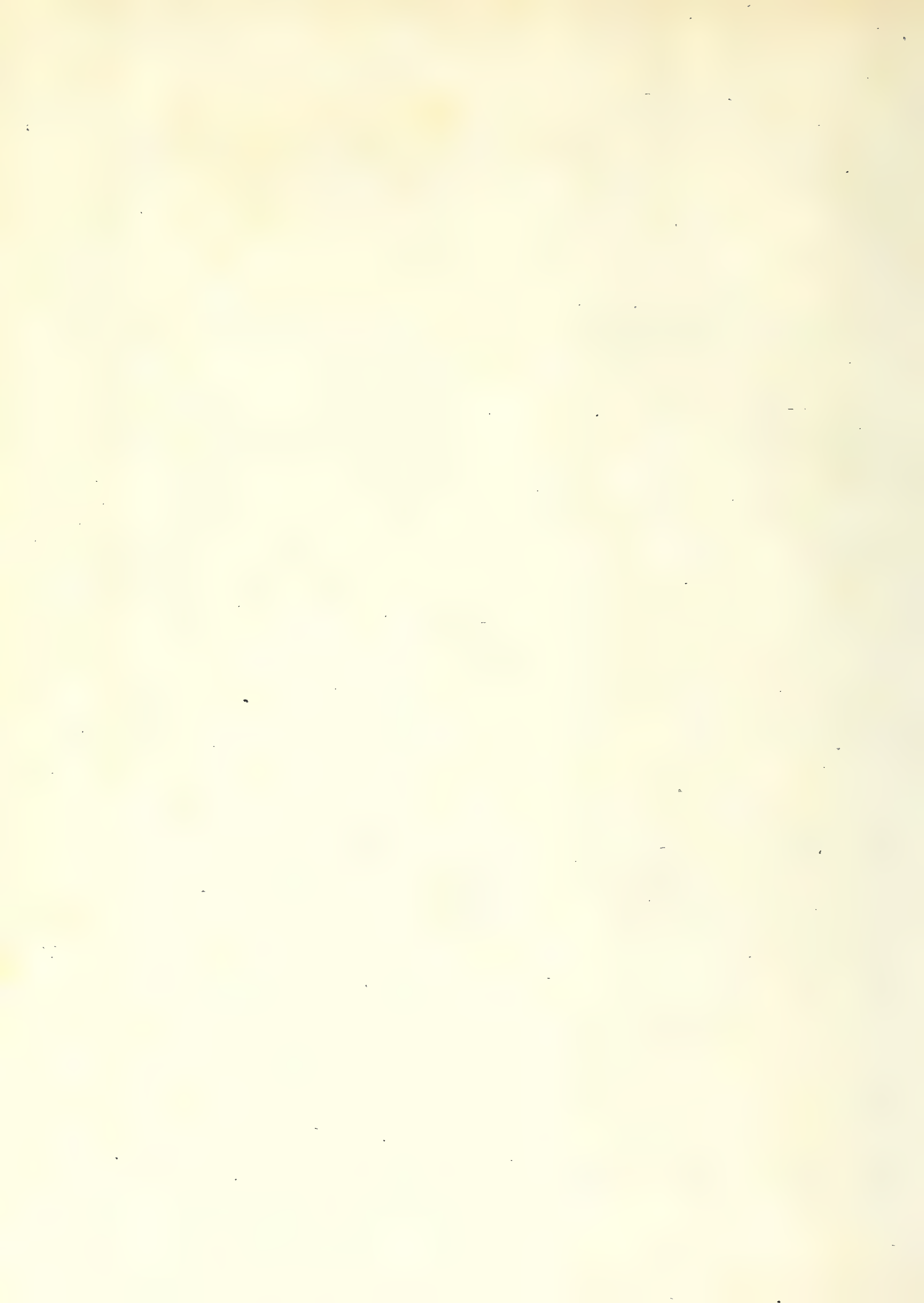


Islandais

G. Engelmann



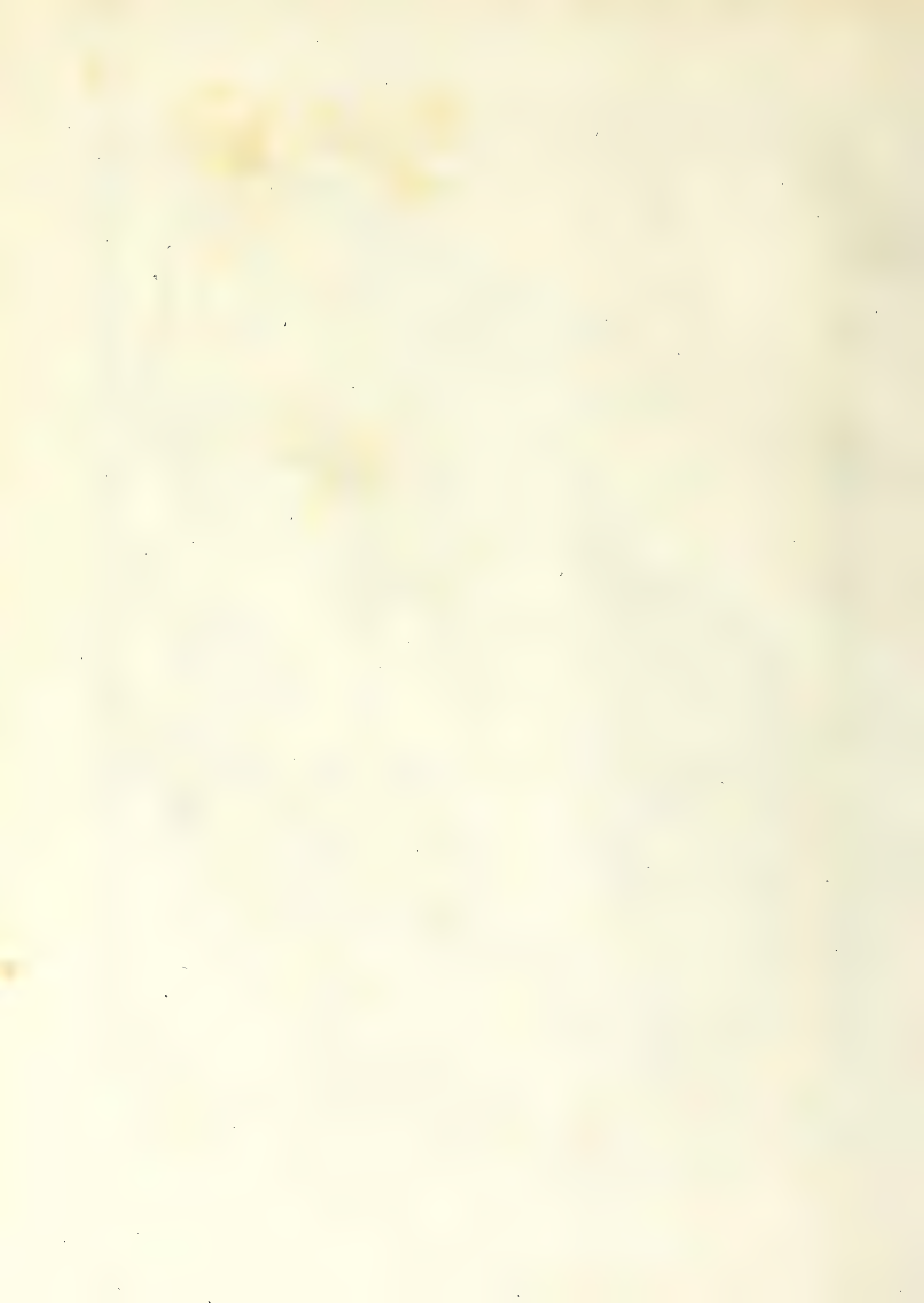
Carte du Dannemarck



Carte de la Suède et de la Norwège.

III.





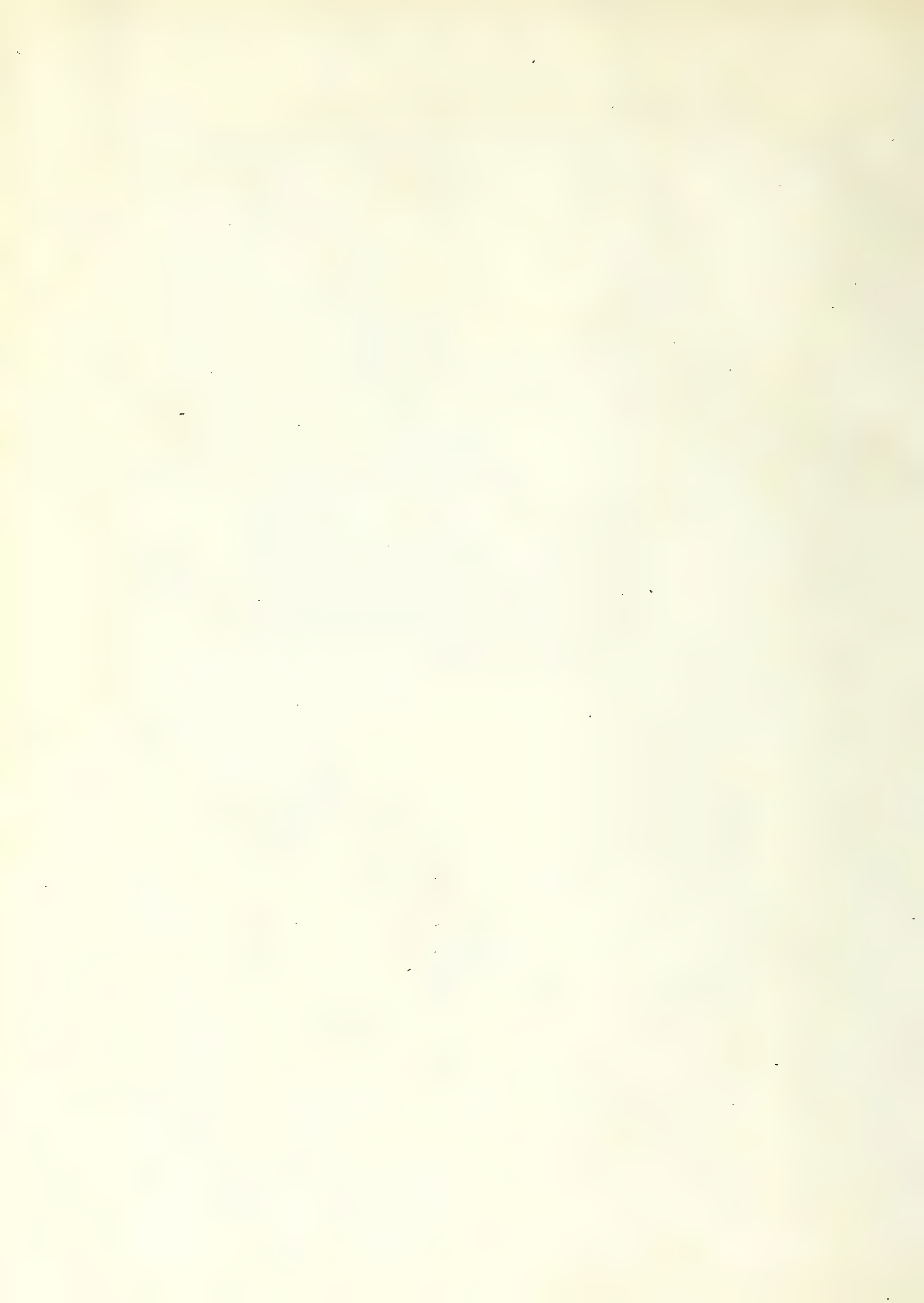


Lappons.



Carte des Isles Britanniques.

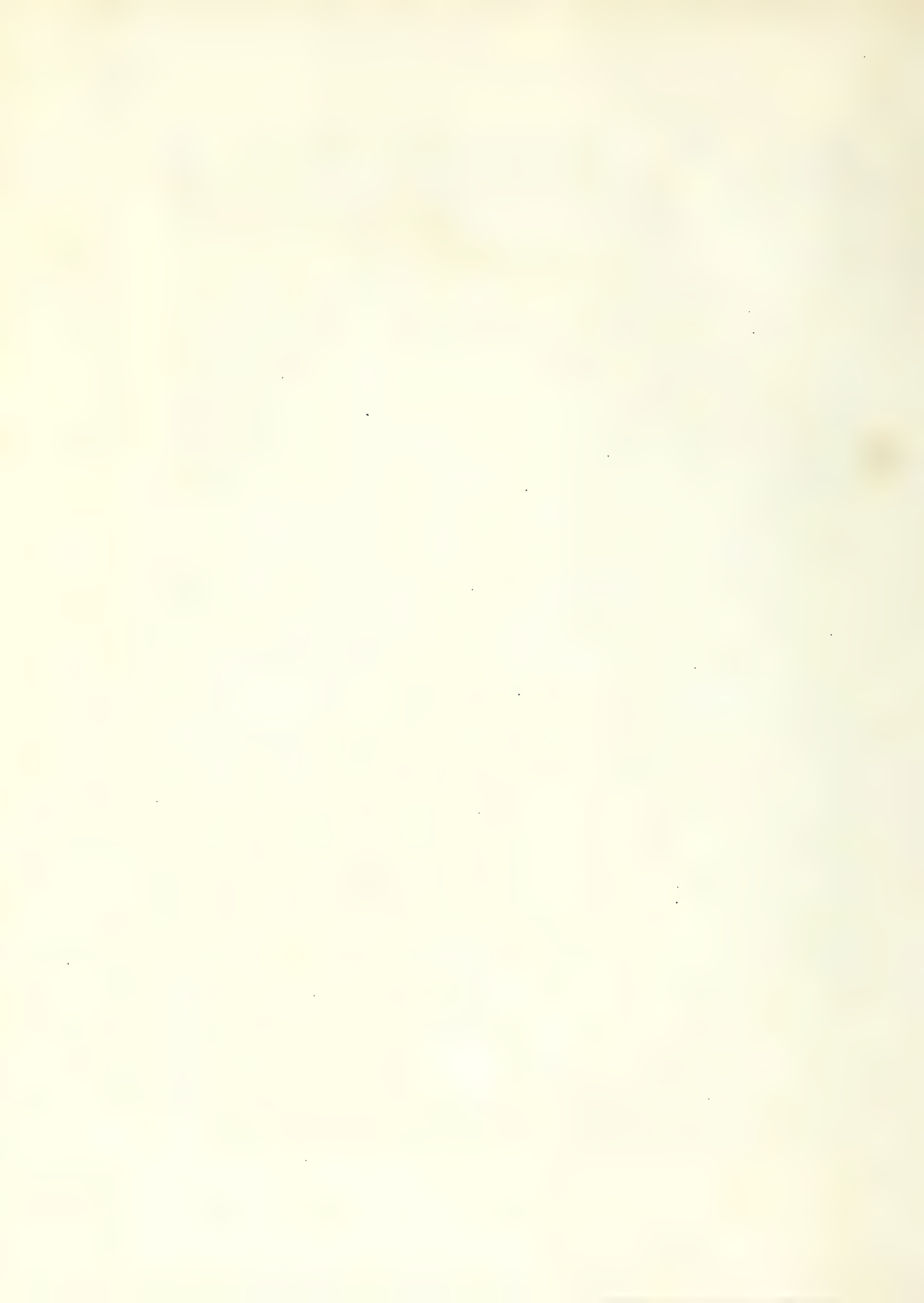
XXXII

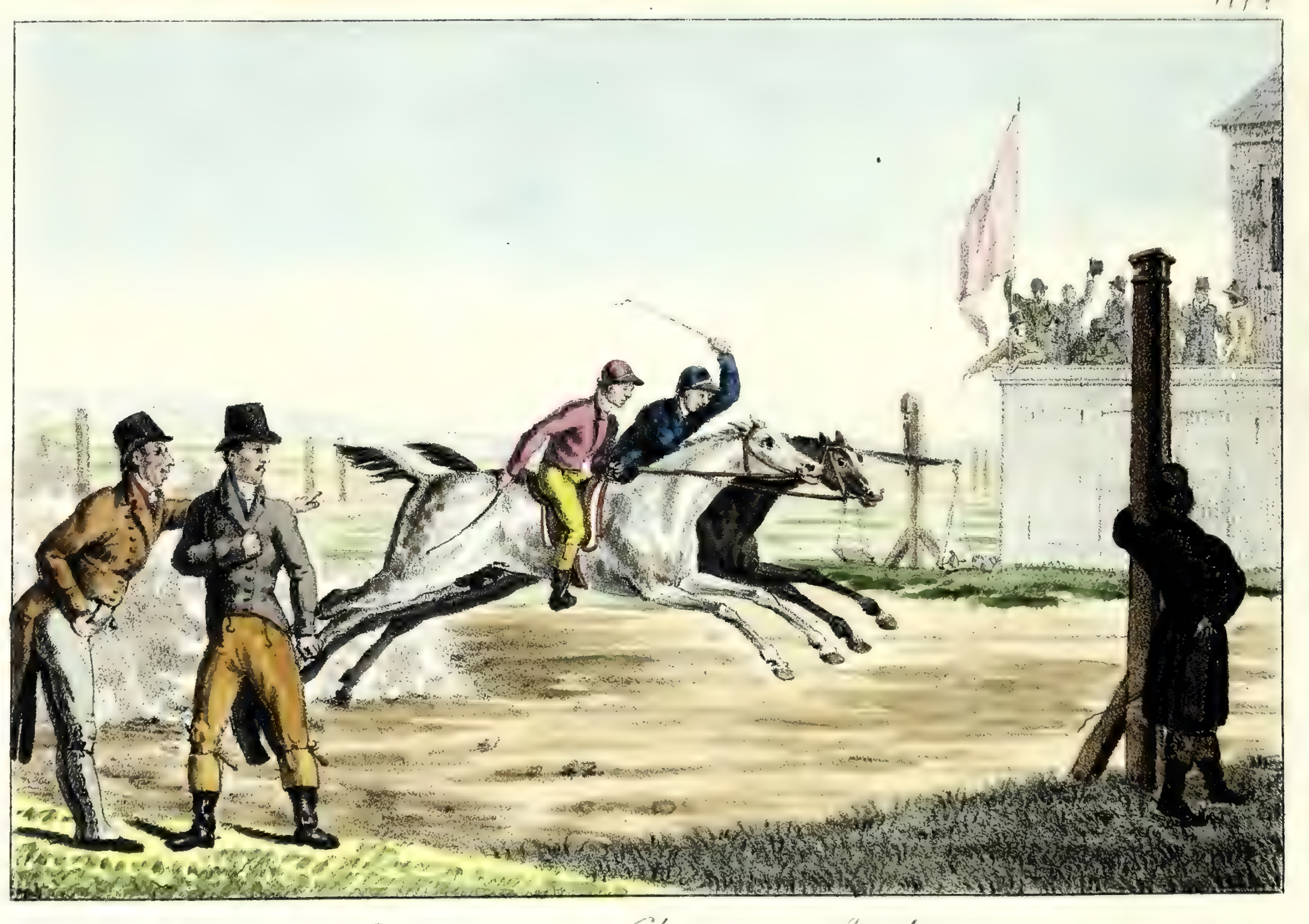


P. XLVIII



Grotte de Fingal.

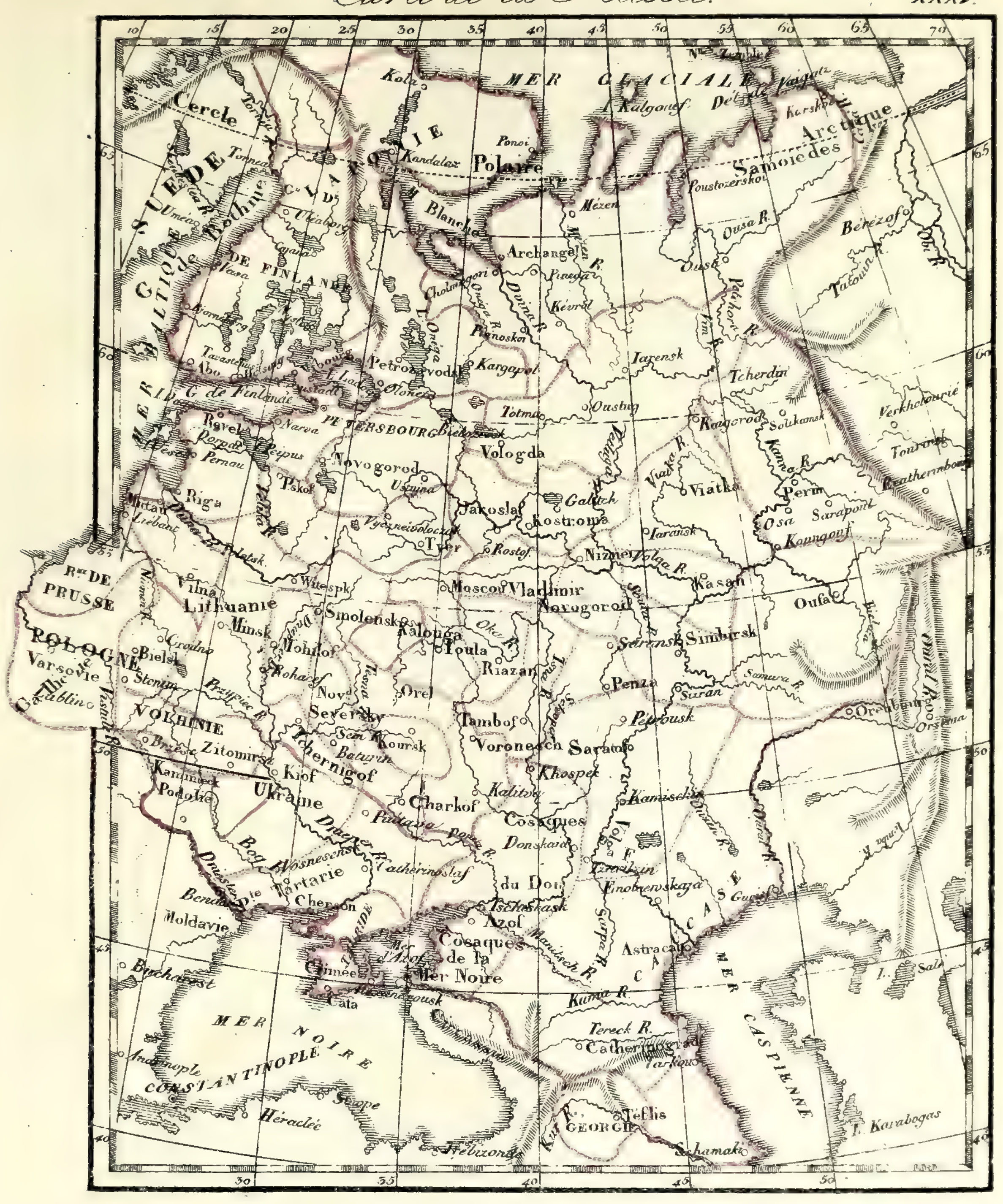


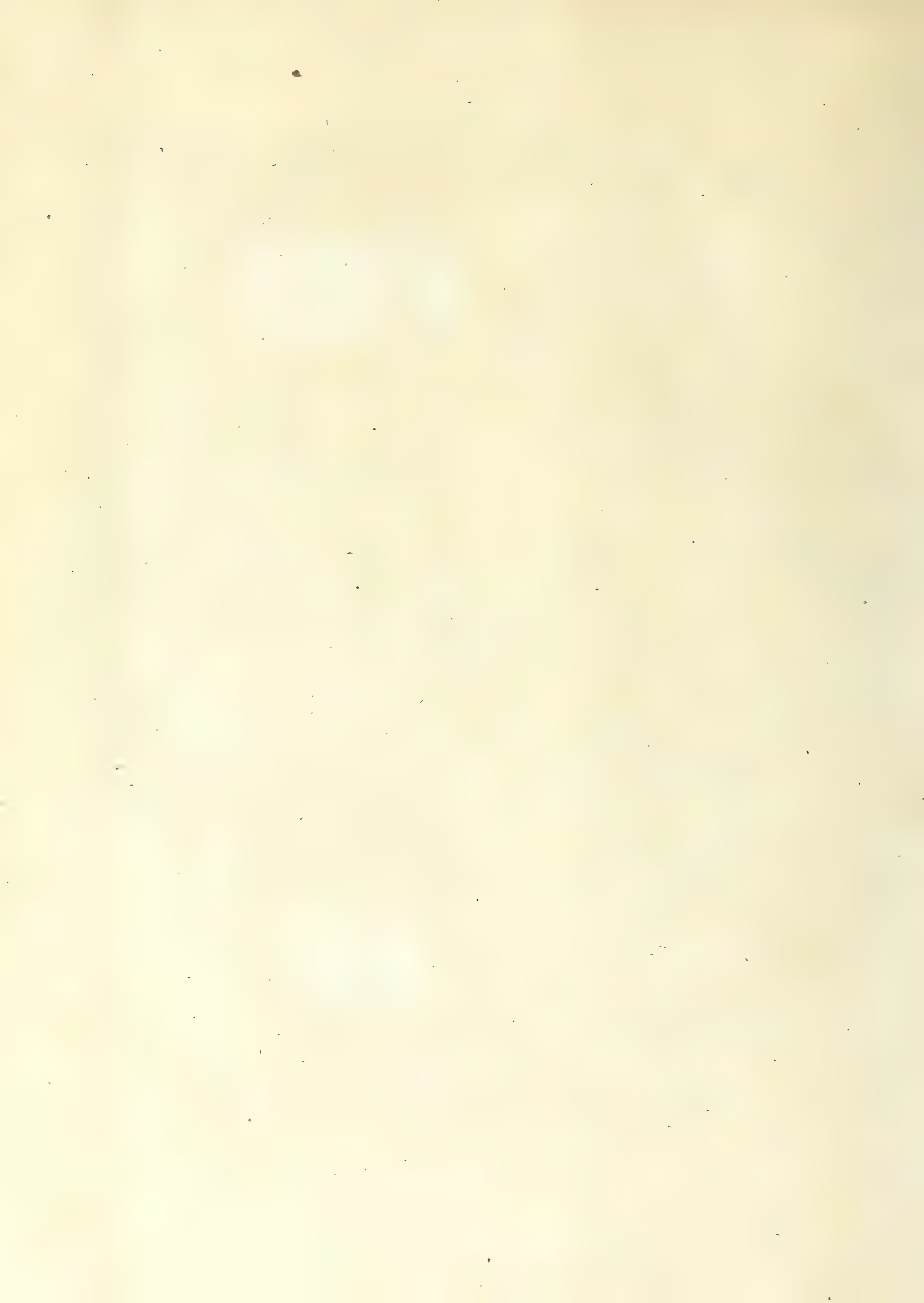


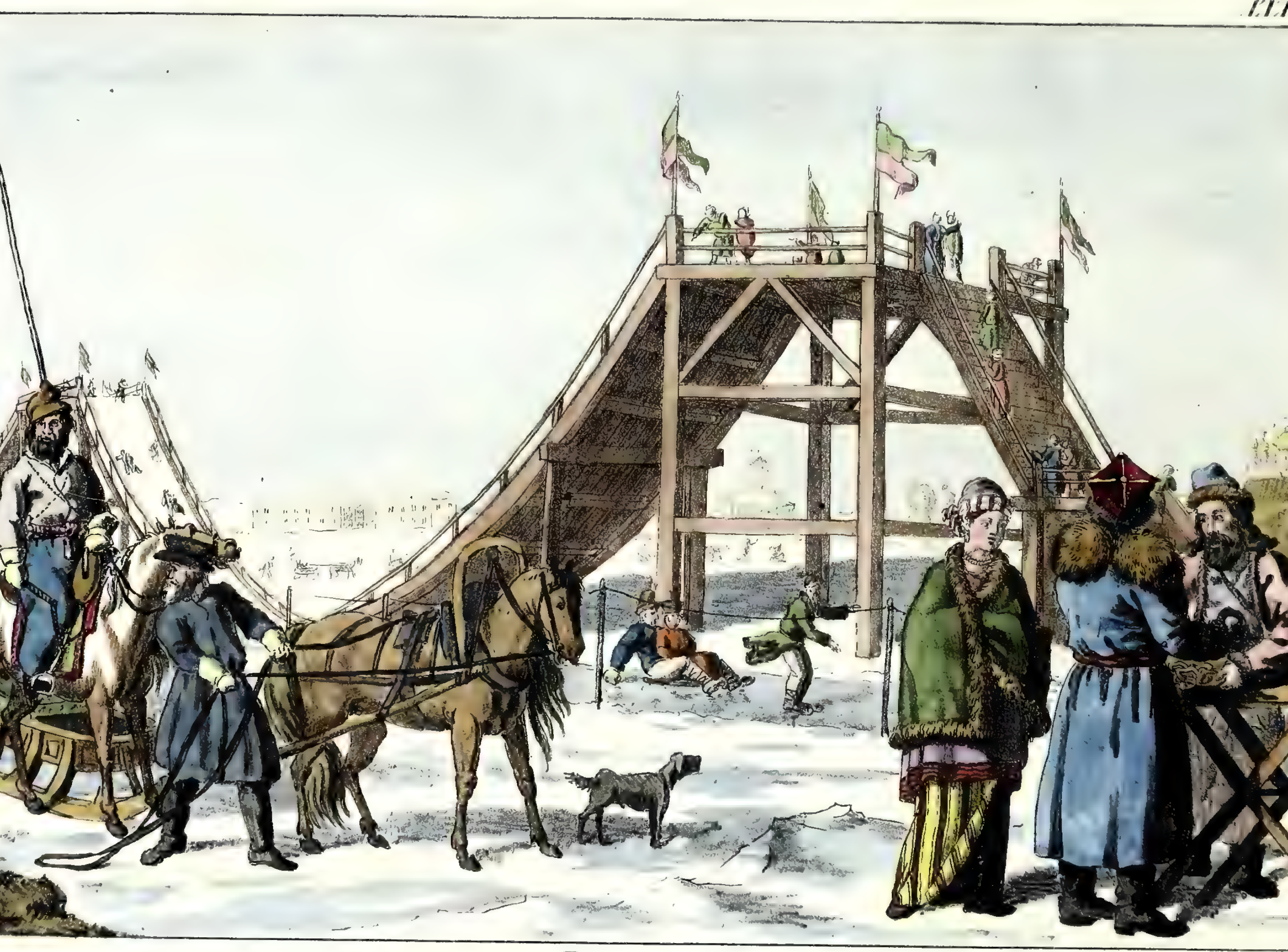
Course de Chevaux Anglaise



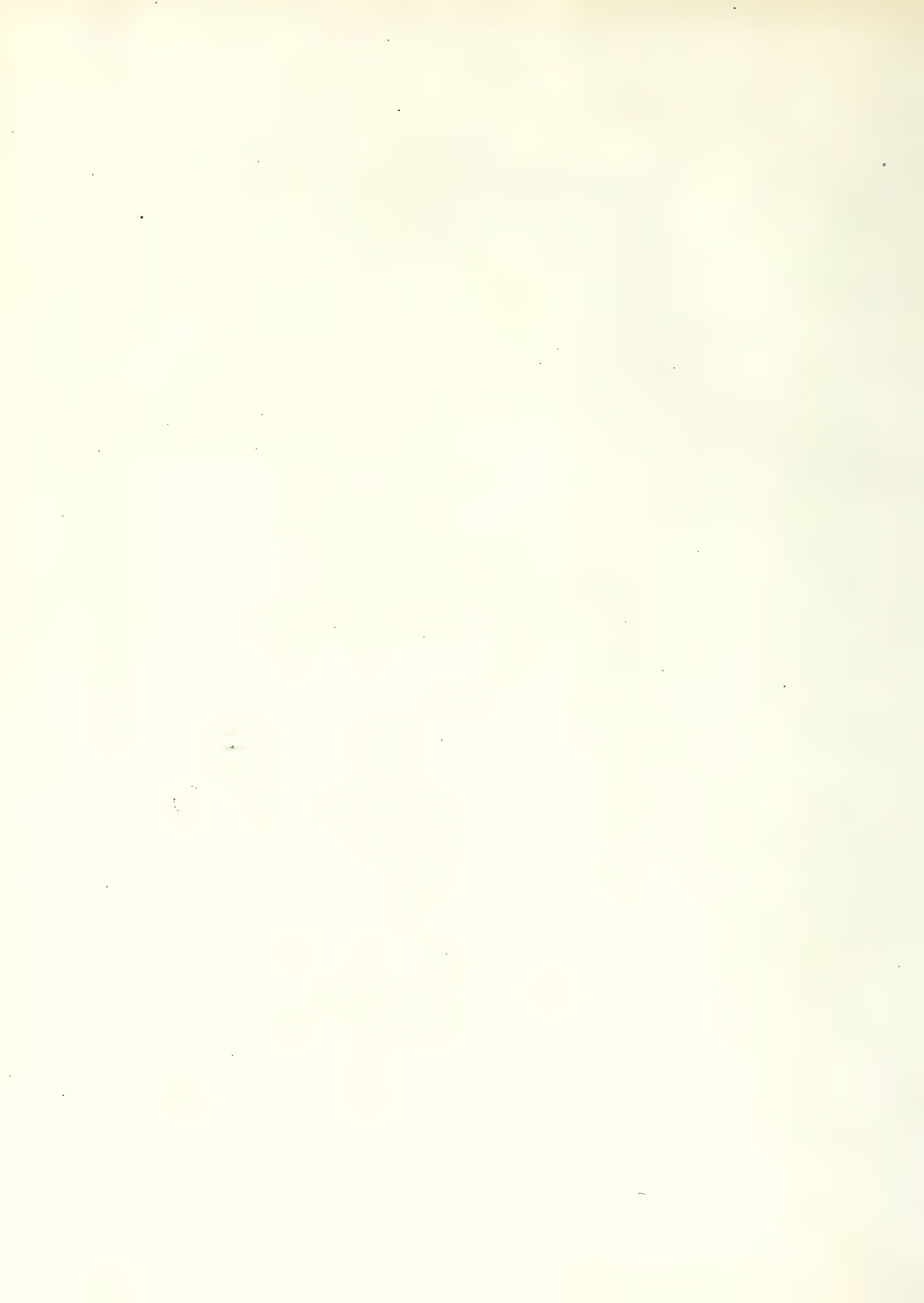
Carte de la Russie.







Russes





Peuples du Caucase





Polonais



Royaume des Pays-Bas.

XXXIV





Carte Phisique et Agricole de la France

Pics et autres Montagnes

1 *Montagne Couronnée*
2 *le Pic d'Annion*
3 *le Pic du Midi*
4 *M.t du Gar*
5 *le Canigou*
6 *M.t l'Esperoux*
7 *le Vergunoux*
8 *M.t Cantal*
9 *M.t d'Or*
10 *Puy de Dôme*
11 *le Tanargue*
12 *Gerbier le Joux*
13 *M.t Mezin*
14 *M.t Pila*
15 *Plateau de Langres*
16 *le grand Ventron*
17 *l'Echetalon*
18 *Ballon S.t Antoine*
19 *M.t Fausille*
20 *Grand Credo*
21 *le Schreckhorn*
22 *S.t Gothard*
23 *M.t Furca*
24 *G.d S.t Bernard*
25 *M.t Blanc*
26 *P.t S.t Bernard*
27 *M.t Cenis*
28 *M.t Genevre*
29 *M.t Viso*
30 *M.t Ventous*
31 *M.t S.t Victoire*

Caps

a *d'Antibes*
b *Taillat*
c *Sicies*
d *Crouselle*
e *de Cette*
f *Creuse*
g *Machica*
h *Breton*
i *Bec du Ras*
k *P.te S.t Mathieu*
l *Frehel*
m *de la Hogue*
n *de Barfleur*
o *de la Hève*
p *d'Antifer*
q *Grines*
r *Blanet*
s *Beachi*

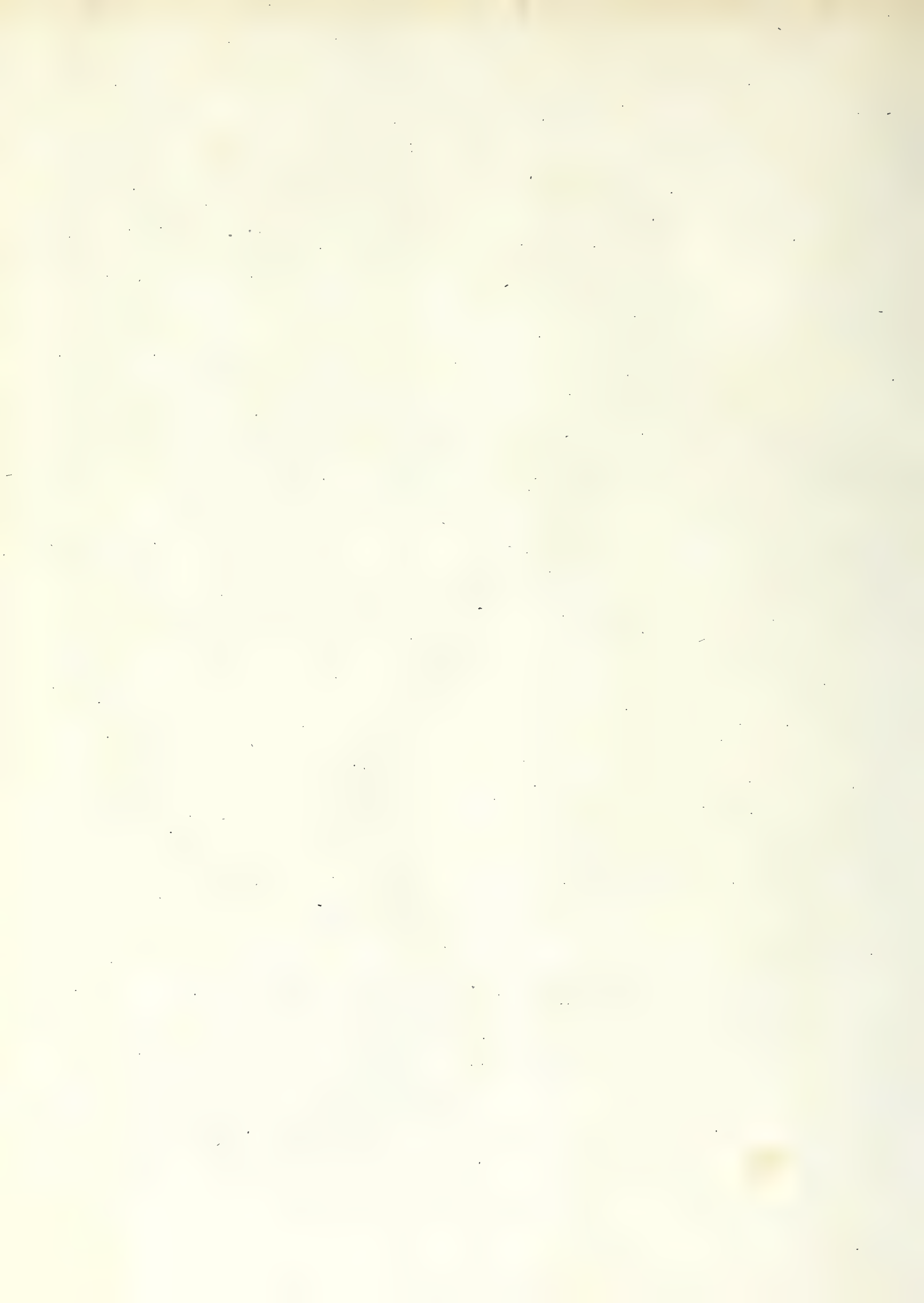
LA MANCHE

OCÉAN

MER MEDITERRANÉE

Regions

des Orangers, des Oliviers, du Maïs, de la Vigne, des Pommes à cidre, des Montagnes, des Plaines du Nord.

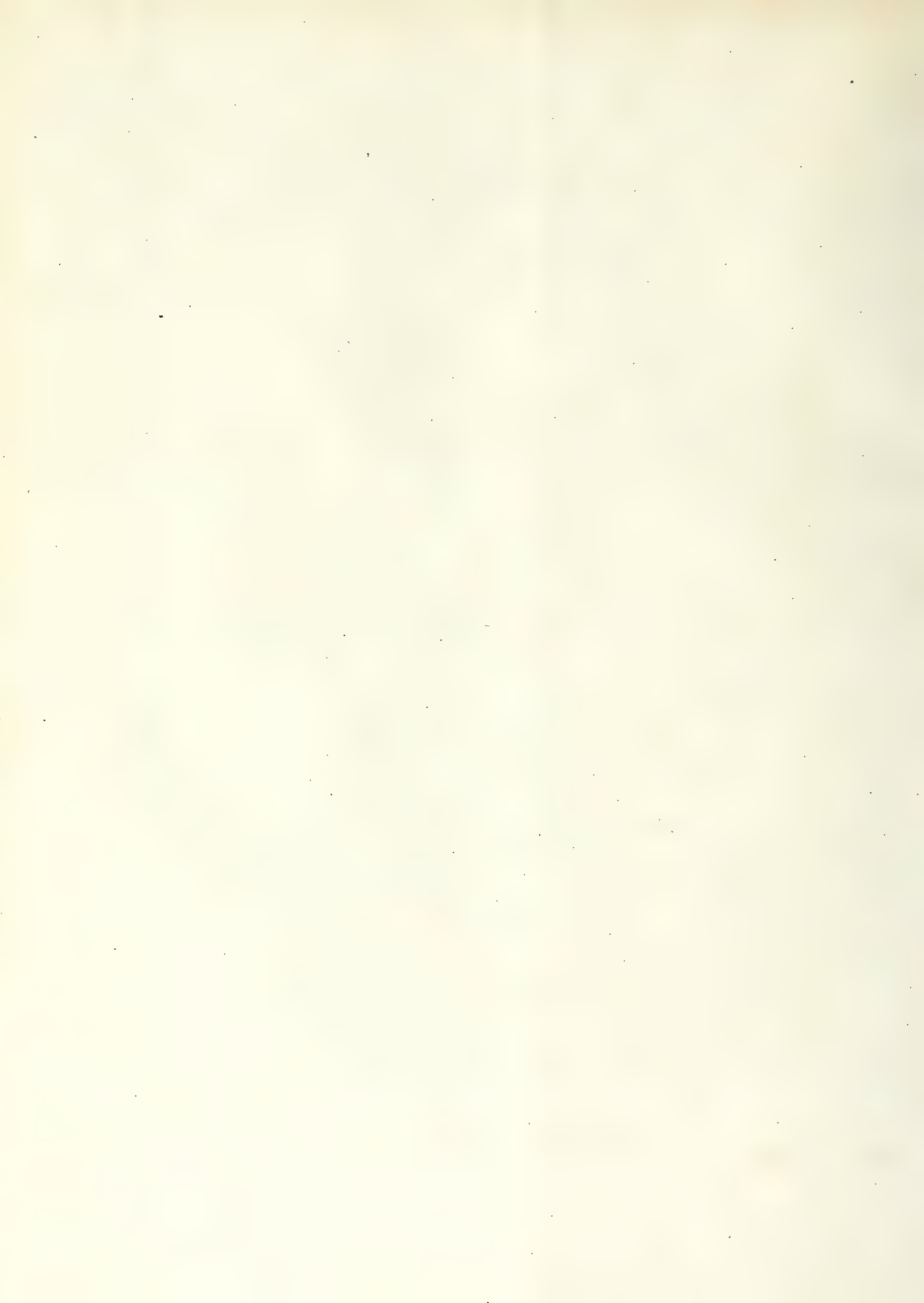


Carte Phisique et Agricole de la France



Regions

. . . . des Orangers, + . + . + . des Oliviers, ... du Maïs, ⌄ - - - - de la Vigne, + + + + + des Pommes à cidre, ▴ ▴ ▴ des Montagnes, ... - . des Plaines du Nord.



Carte Politique de la France



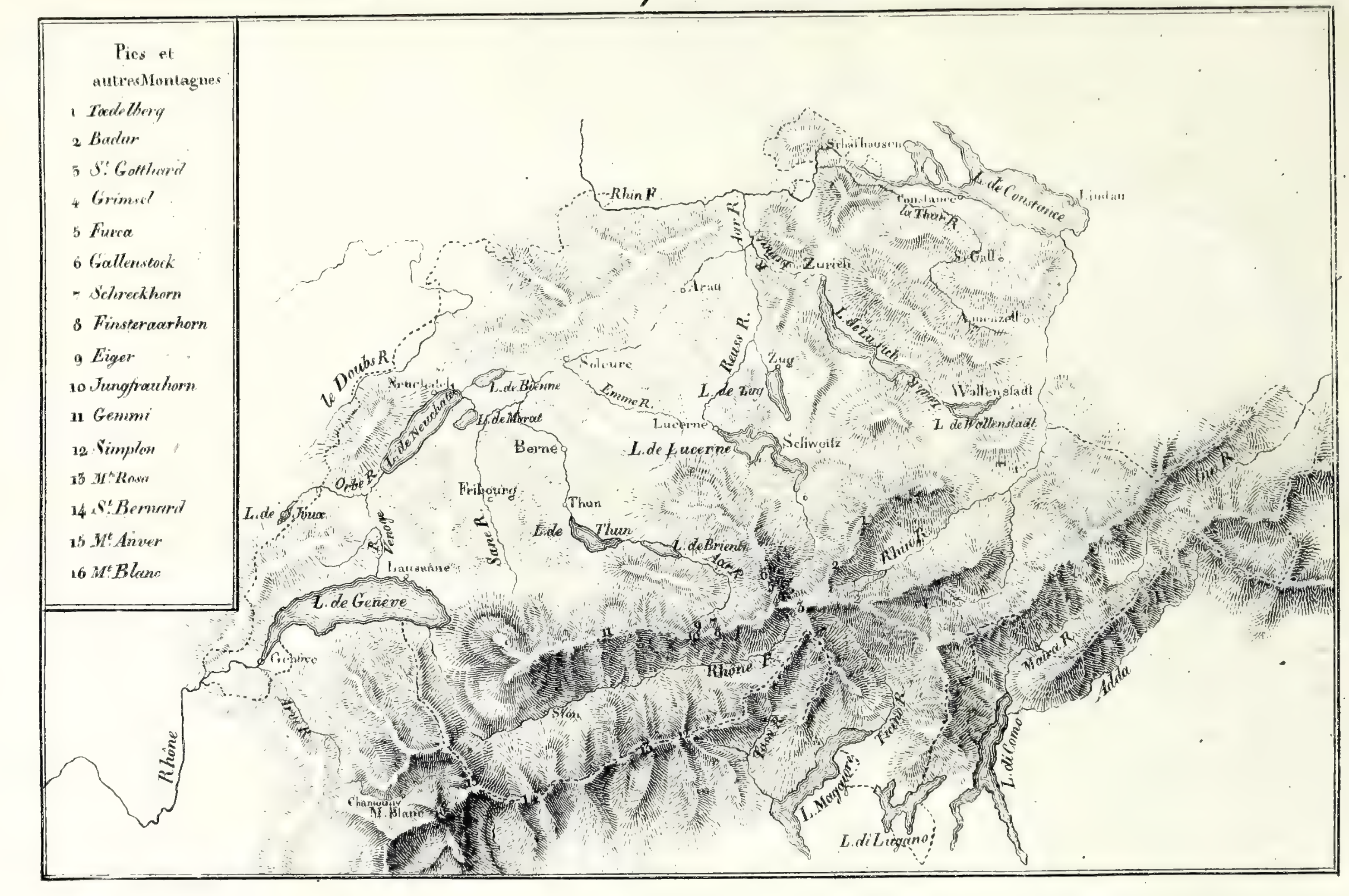


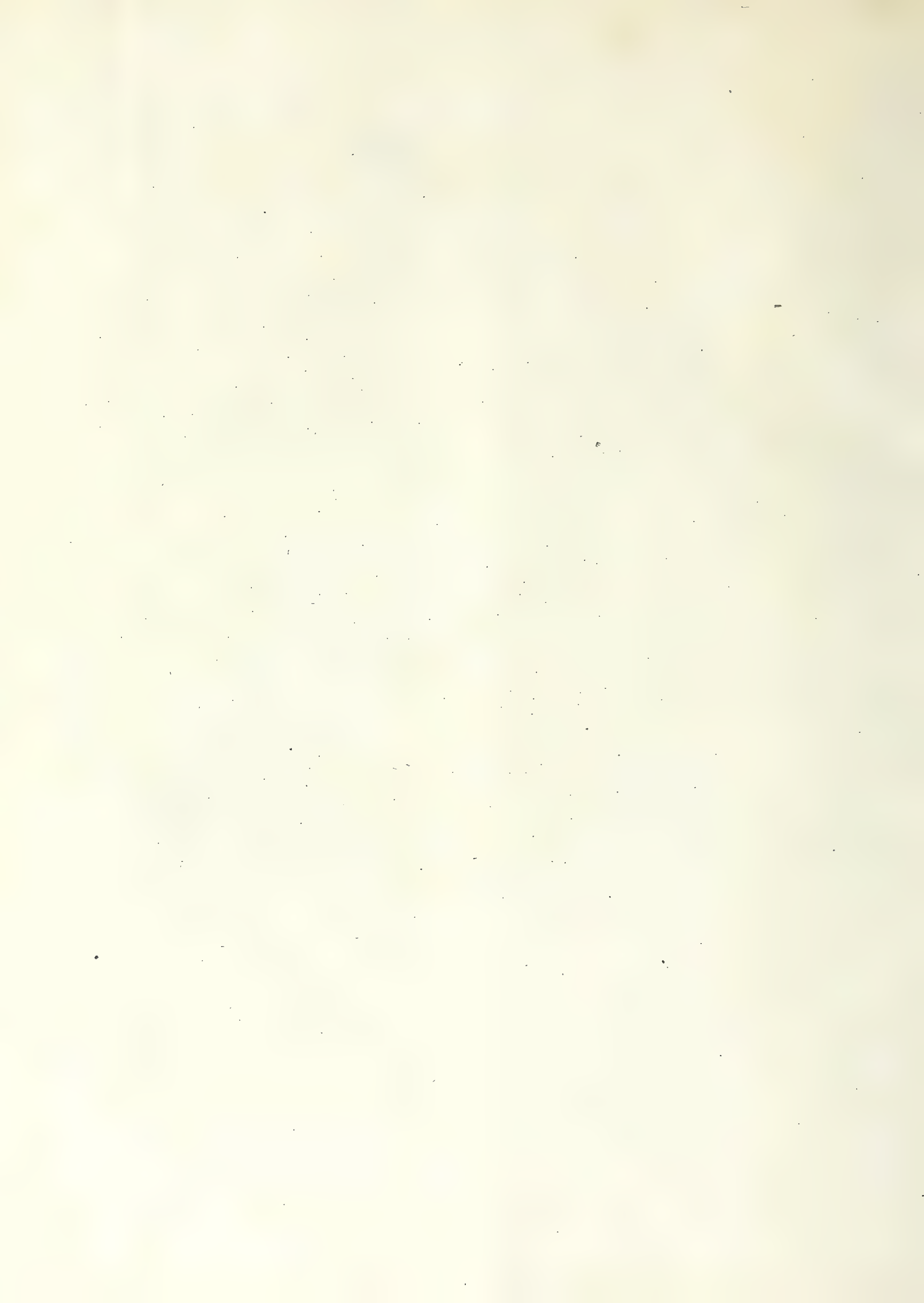


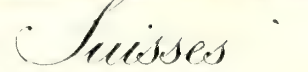
Pont du Gard



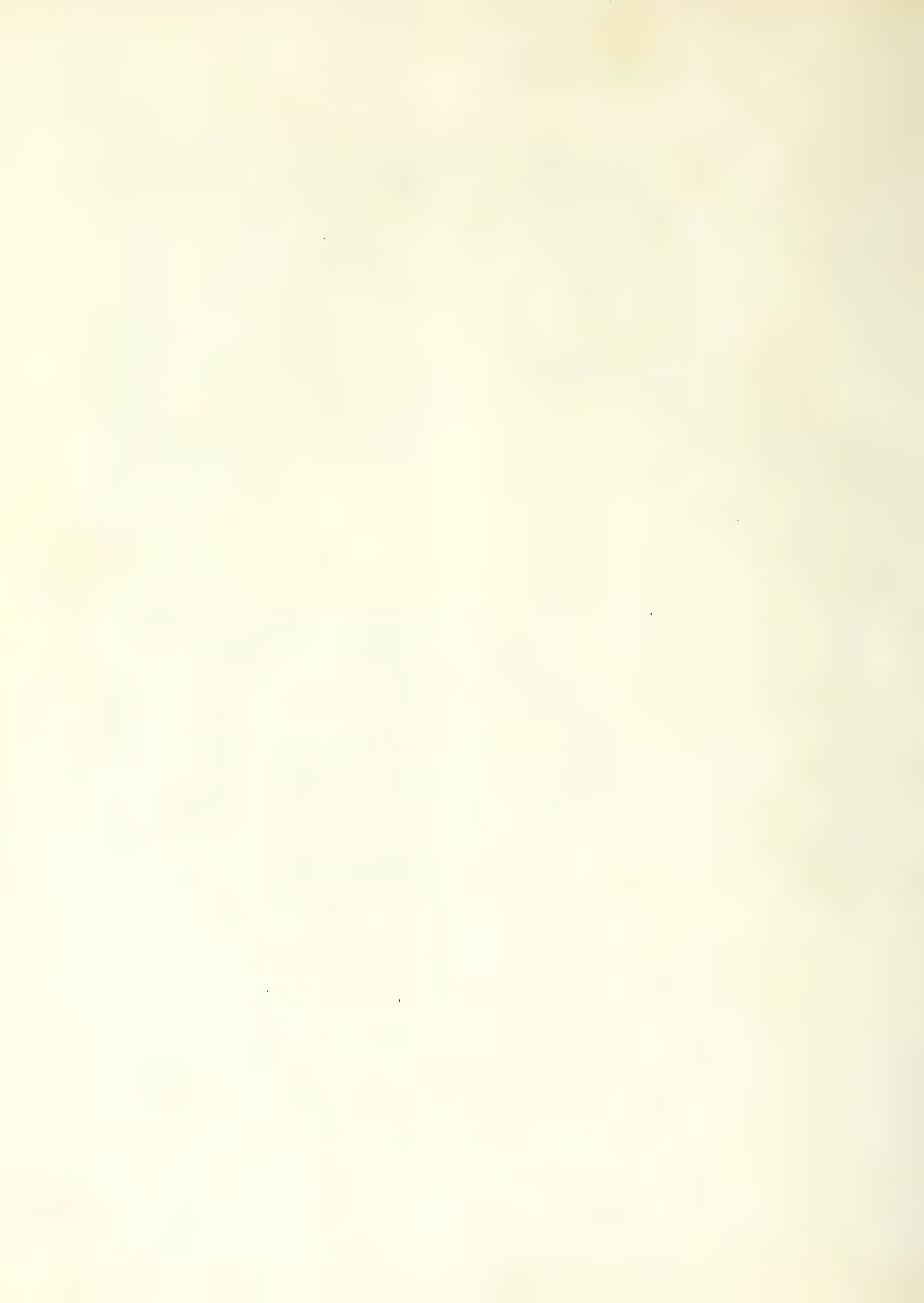
Carte Phisique de la Suisse





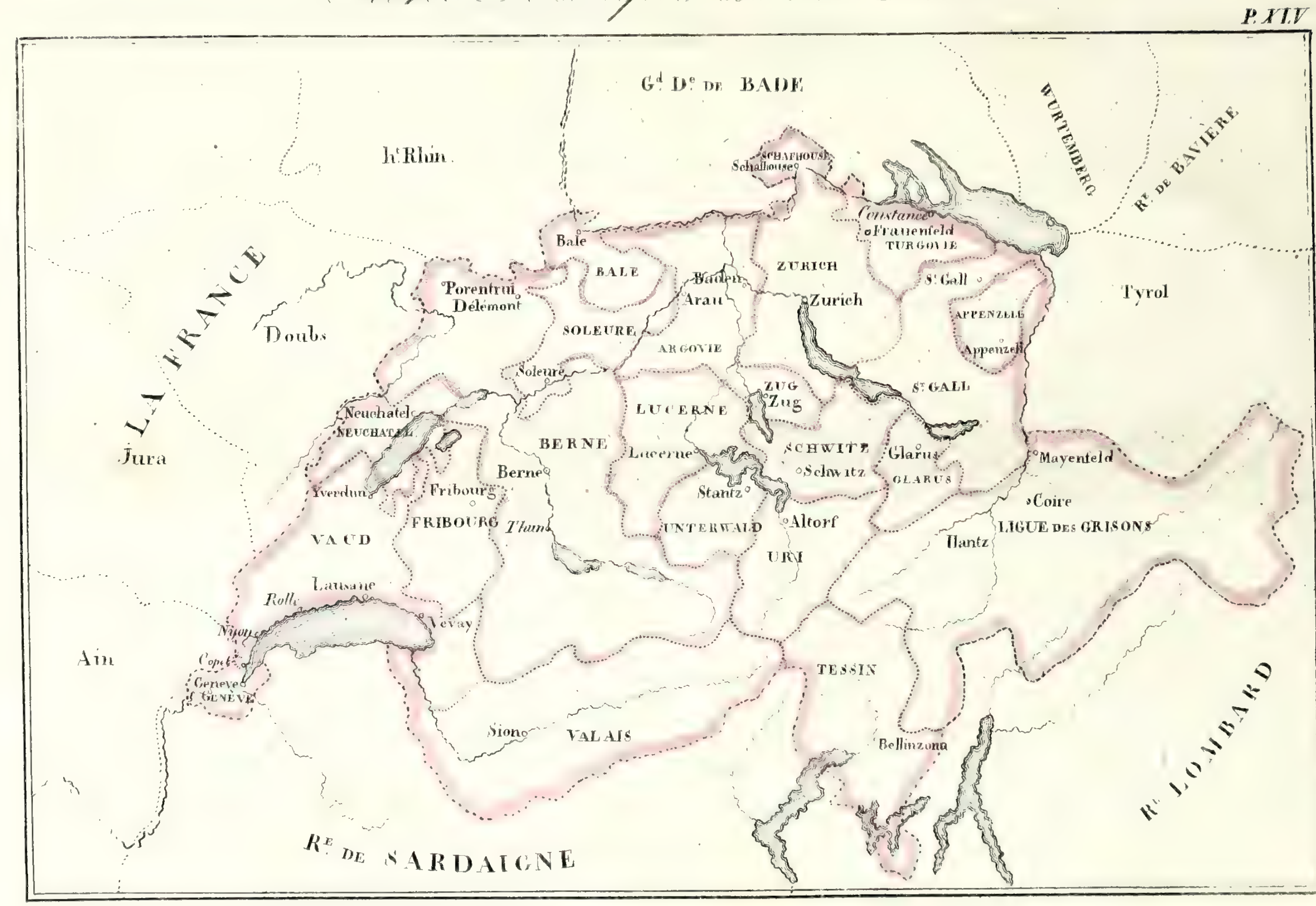


Suisses



Carte Politique de la Suisse

P. XLV





Carte physique de l'Allemagne





Carte Politique de l'Allemagne

P. XLVII.



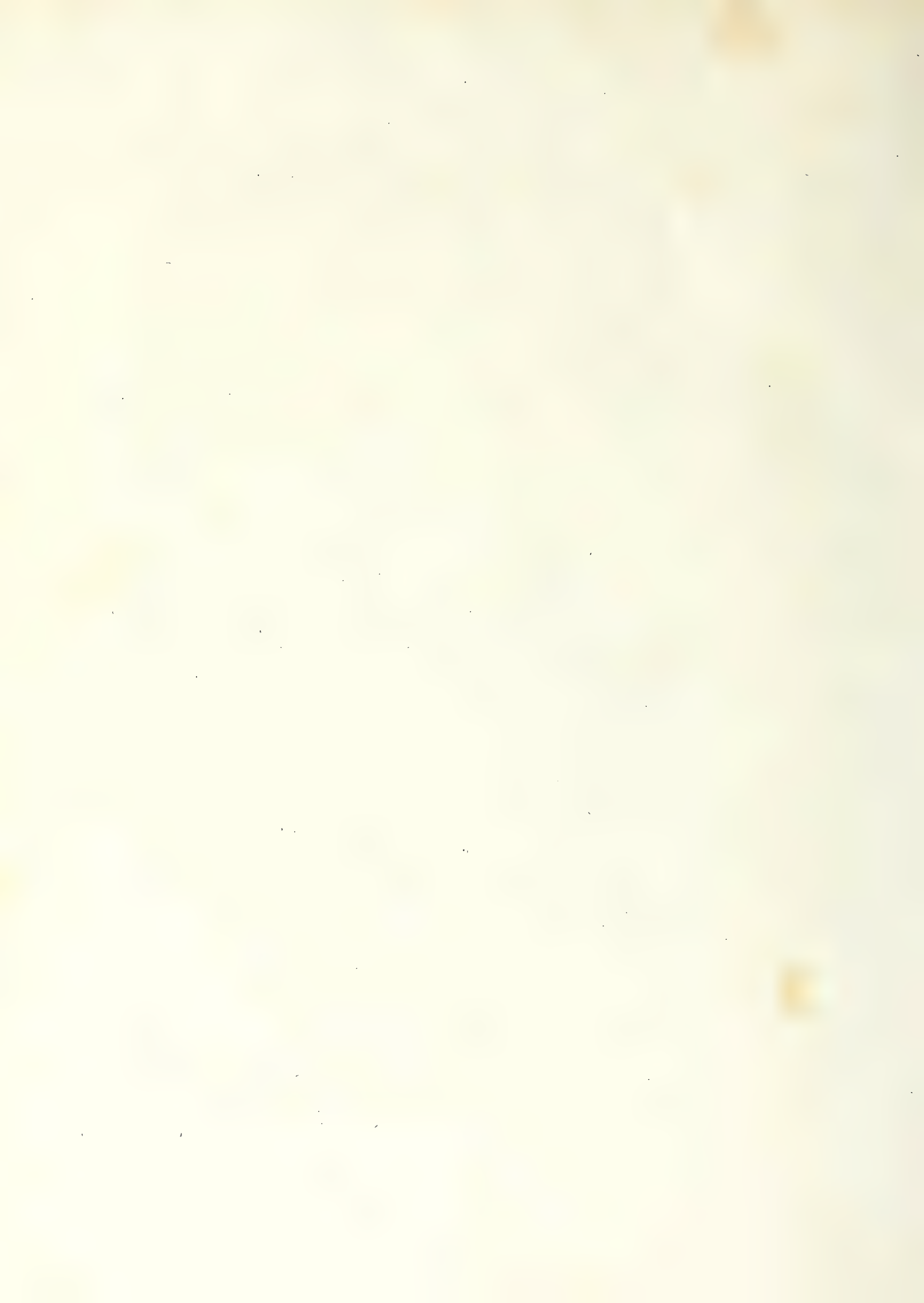
Dessiné par Bernard Maÿr



Carte physique de l'Espagne.

P. XLVIII

Golfe de Biscaye
C. Ortegal
C. de Penas
Pyrénées
C. de Creus
C. Finisterre
Les Cantabres
Minho R.
Sil R.
Douro
Tormes R.
Agueda R.
Coa R.
Ebre
Aragon R.
Ter R.
Lobregat R.
Segre R.
Sierra d'Oca
Vouga R.
Mondego R.
Tage R.
Tage R.
Tietar R.
Alberche
Alagon R.
Zezere R.
Is. Berlingas
Sierra Molina
Guadiana R.
Ardilla R.
Sierra Morena
Guadalquivir R.
Segura
Sangonera
Jucar R.
Guadalaviar
Sierra Nevada
C. S. Vincent
C. de S. Marie
Dét. de Gibraltar
C. de Gate
C. de Palos.
C. Martin
I. Majorque
I. Minorque
I. Ivica
I. Cabrera
I. Formentera
I. Colombretes
MER MEDITERRANNÉE
AFRIQUE
OCÉAN ATLANTIQUE





Combat de Taureaux en Espagne



Carte politique de l'Espagne

P. L.

GOLFE DE BISCAYE
C. de Penas
C. Ortegal
Ferrol
Corogne
Gijon
Oviedo
ASTURIES
Bilbao
BISCAYE
St. Sébastien
Victoria
ROYAUME
DE
FRANCE
Pampelune
NAVARRE
Finisterre
Iago
Compostelle
GALICE
Léon
Rme DE
Burgos
Huesca
Barbastro
CATALOGNE
Bragance
ENTRE MINHO E DOURO
TRALOS MONTES
Miranda
Vianna
Bragues
Oporto
Palencia
Valladolid
VIEILLE
Soria
CASTILLE
LEON
ARAGON
Saragosse
Barcelone
Tarragone
Ségovie
Aveiro
BEIRA
Coimbre
Avila
Guadalaxara
MADRID
C. Tortose
I. Minorque
Rme DE
Leiria
Isles Berlingues
ESTRA MADURE
Castel Branco
ESTRAMADURE
Tolède
NOUVELLE
CASTILLE
Cuenca
I. Columbretes
Palma
I. MAJORQUE
Santarem
LISBONNE
Portalègre
Estremos
Elvas
Evora
Badajos
Olivença
Setubal
Valence
VALENCE
Ilviça
I. Cabrera
I. Formentera
MURCIE
Orihuela
Murcie
Beja
ALENTEJO
Cordoue
Carthagène
Lagos
ALGARVE
Sagres
Faro
Tavira
ANDALOUSIE
Séville
Grenade
Rme DE
GRENADE
Malaga
Ronda
Cadix
Gibraltar
MÉDITERRANÉE
Détroit de Gibraltar
MER
ATLANTIQUE
OCEAN
AFRIQUE



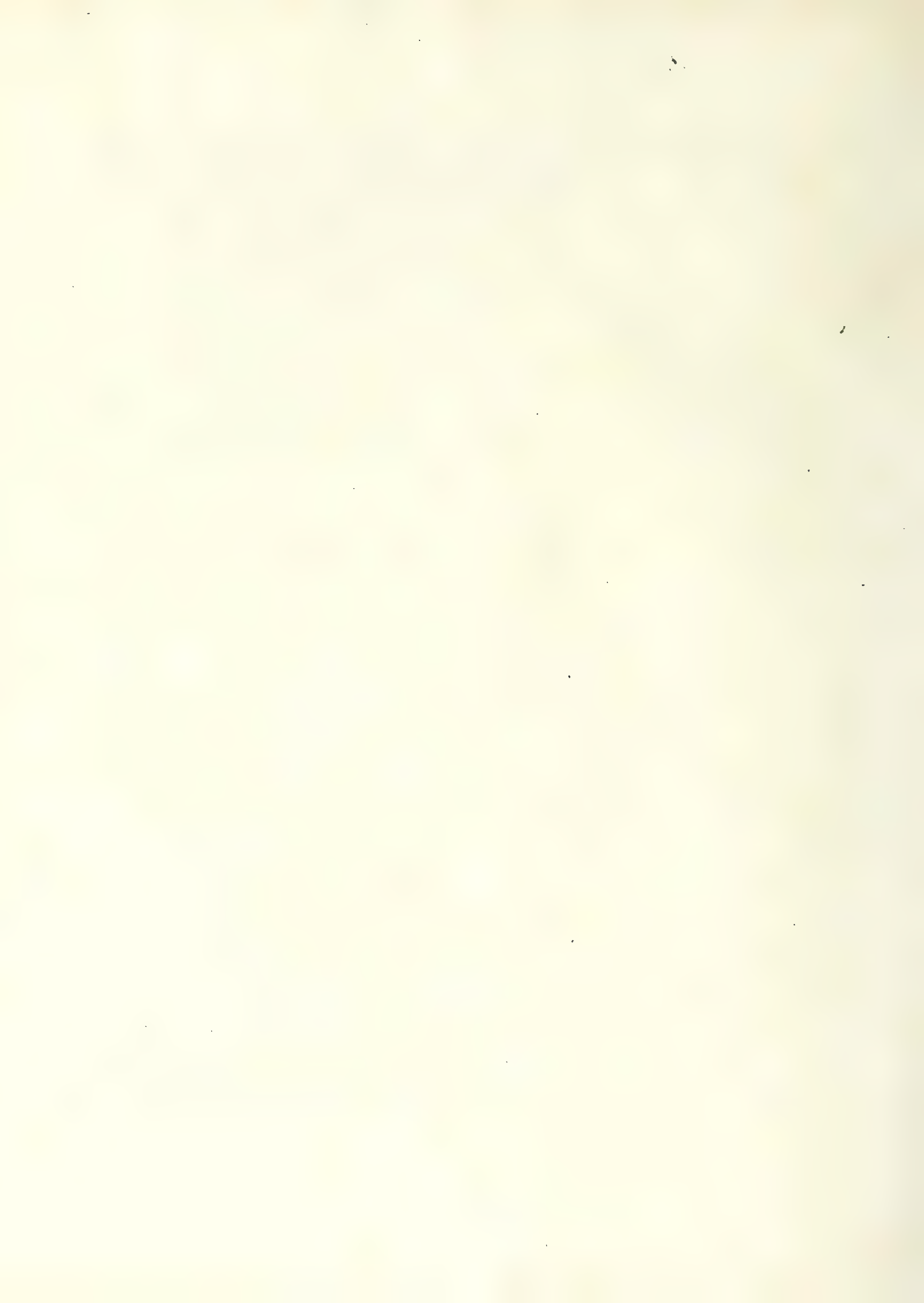
Carte physique de l'Italie.







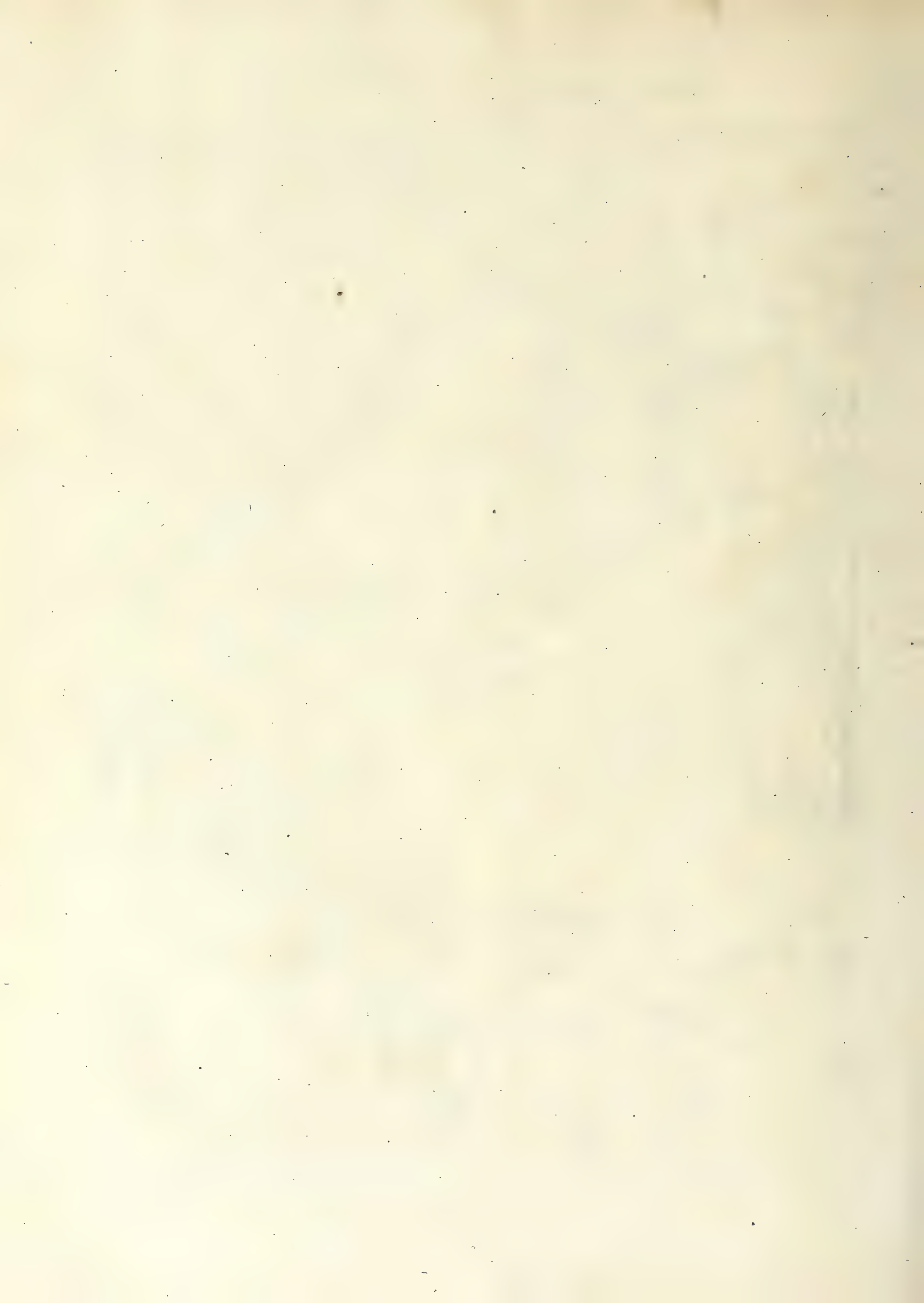
Italiens



Carte politique de l'Italie

P. LIII.





Carte physique de la Turquie

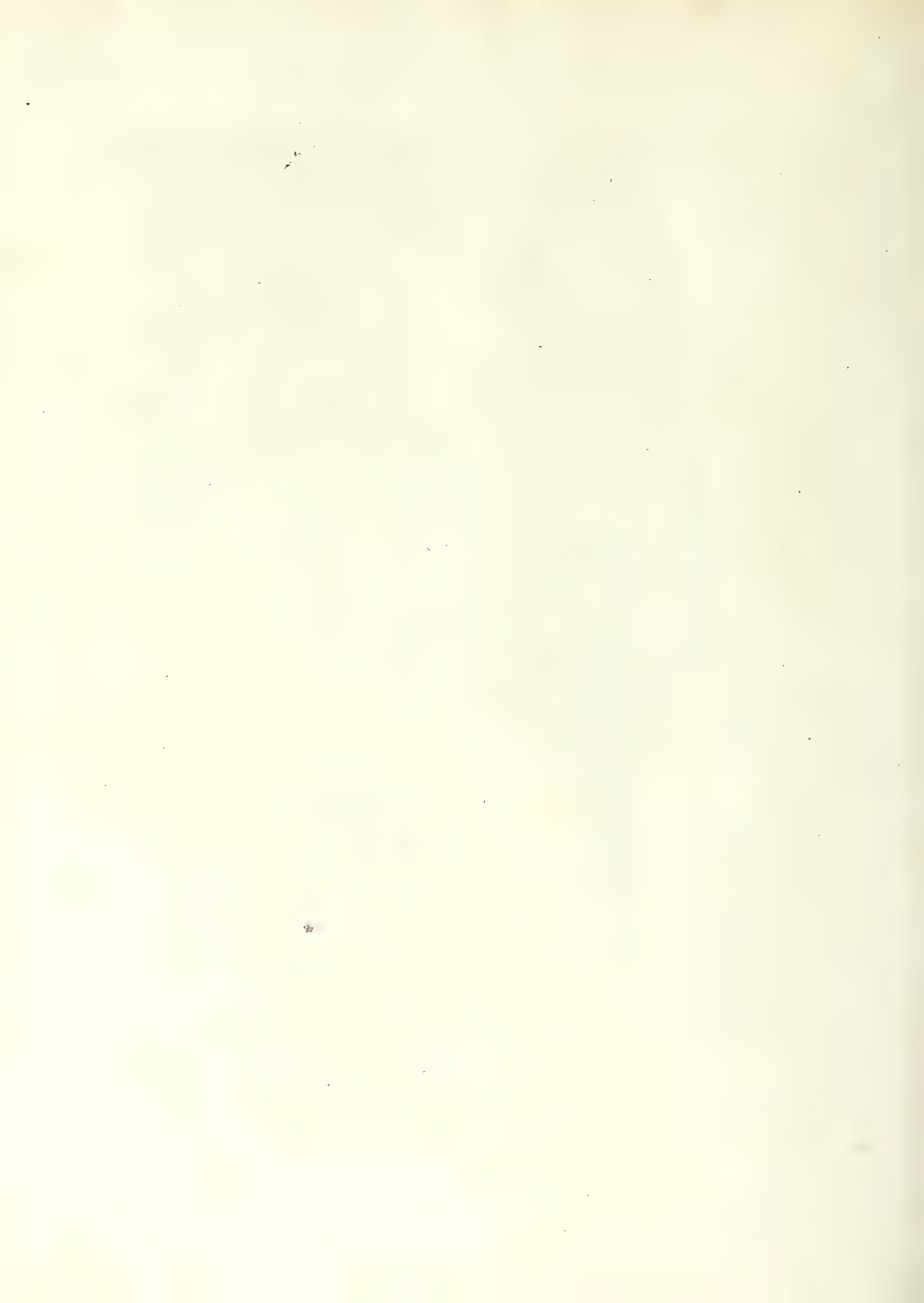
P. LIV





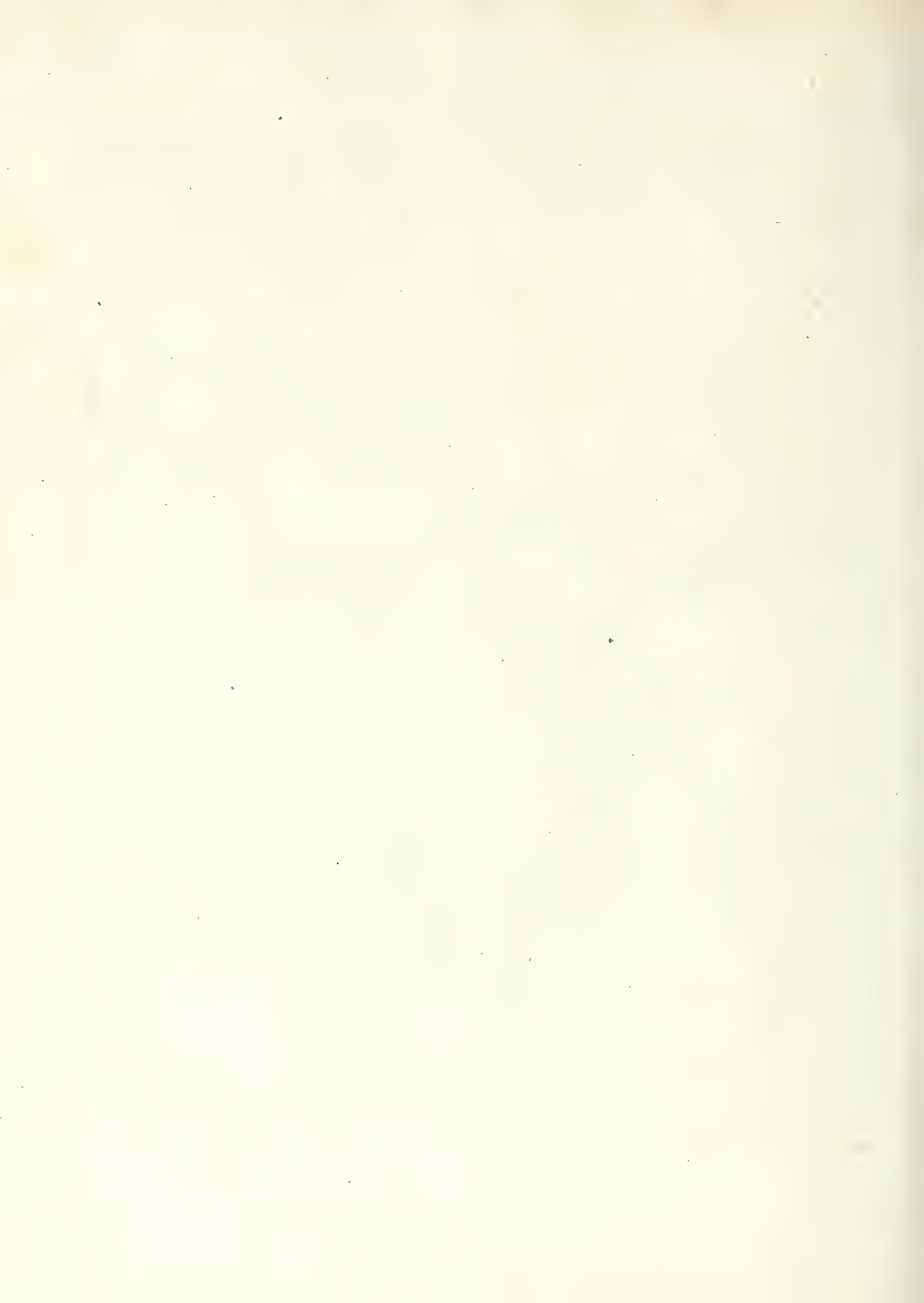


La fontaine de Top-Hané à Constantinople



Carte politique de la Turquie

P. LVI.



Carte physique de l'Asie

P. LVII





Carte politique de l'Asie

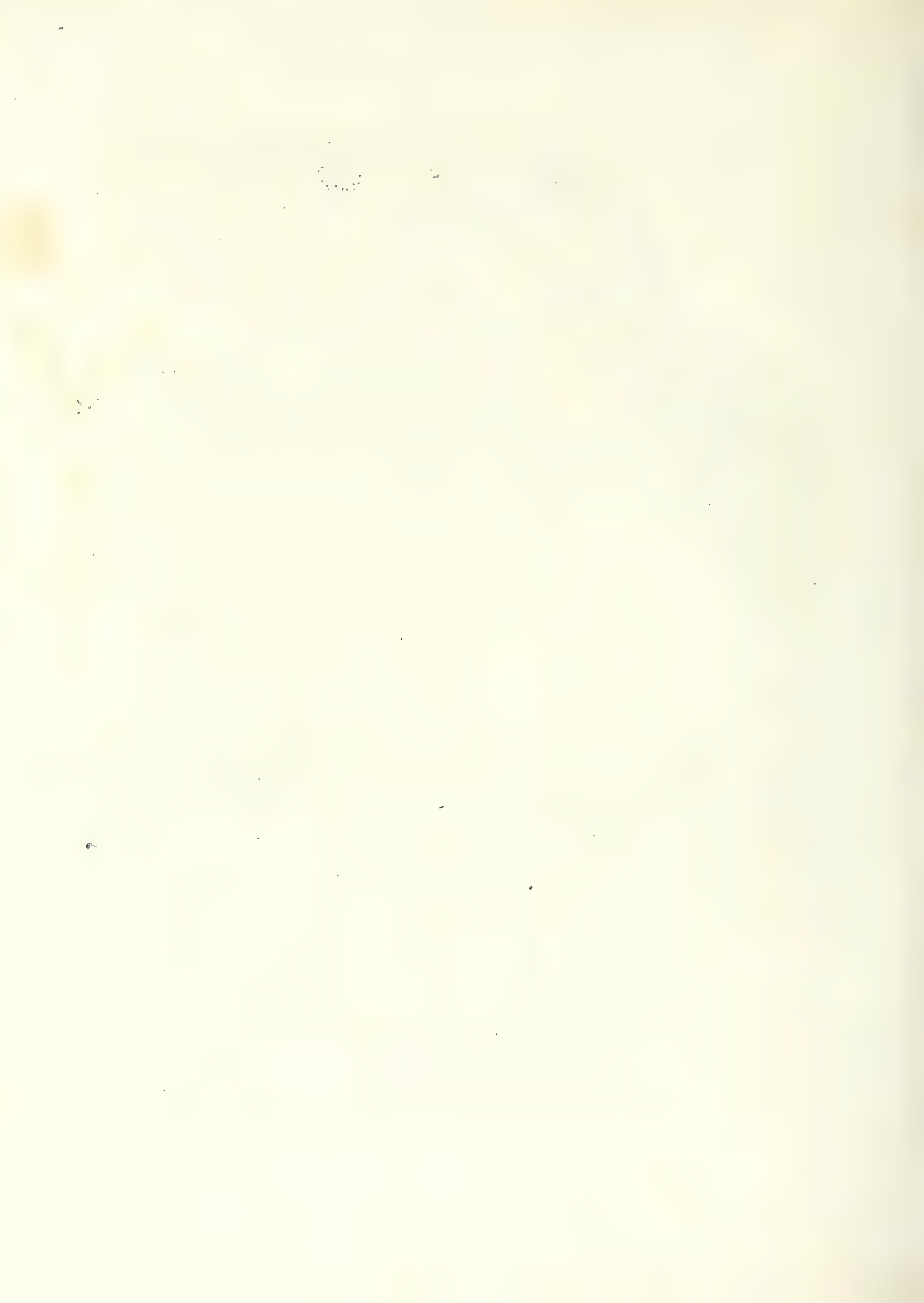
P. LVIII

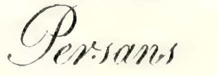




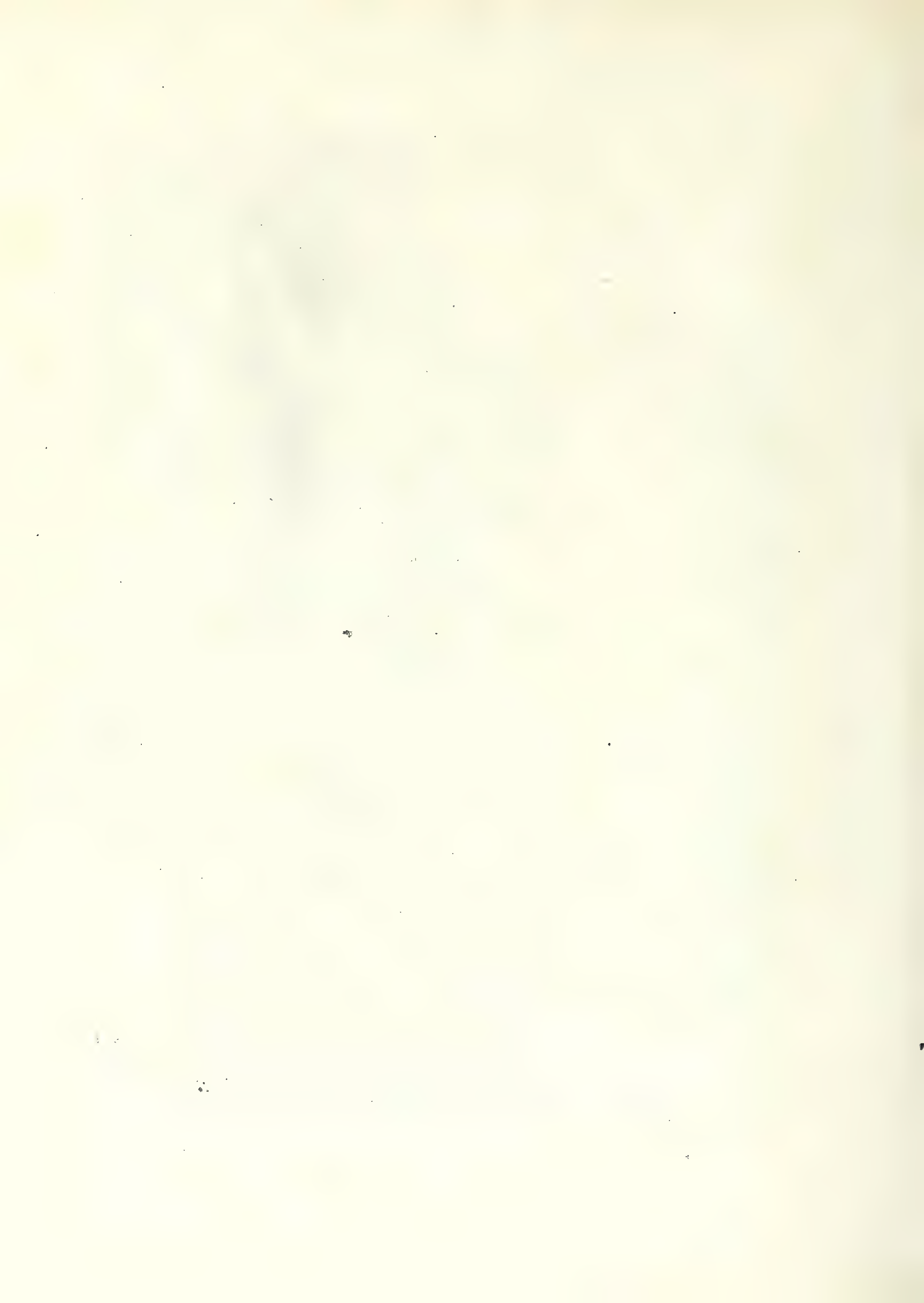


Ruines de Palmyre





Persans



P. LXI

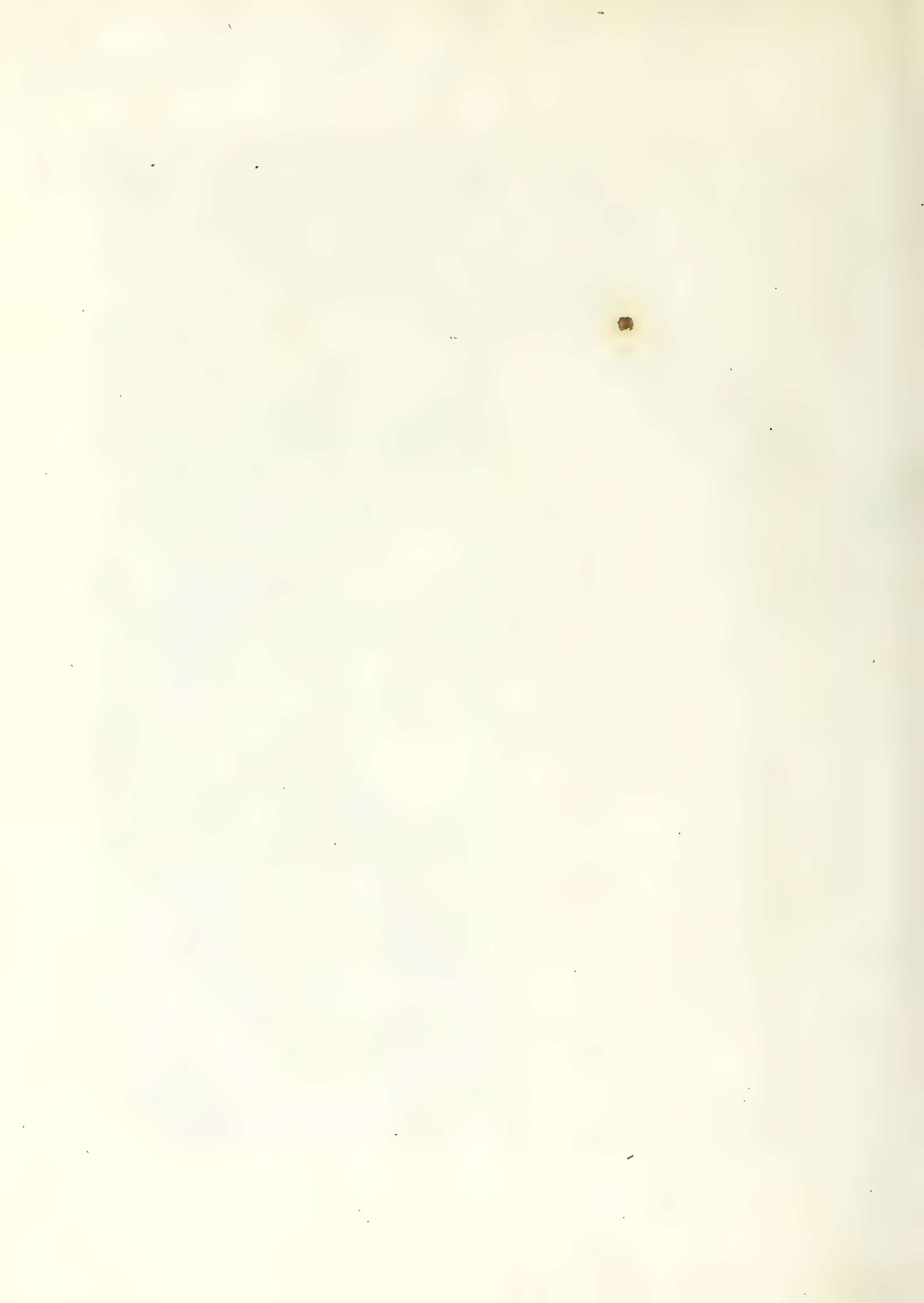


Hindous



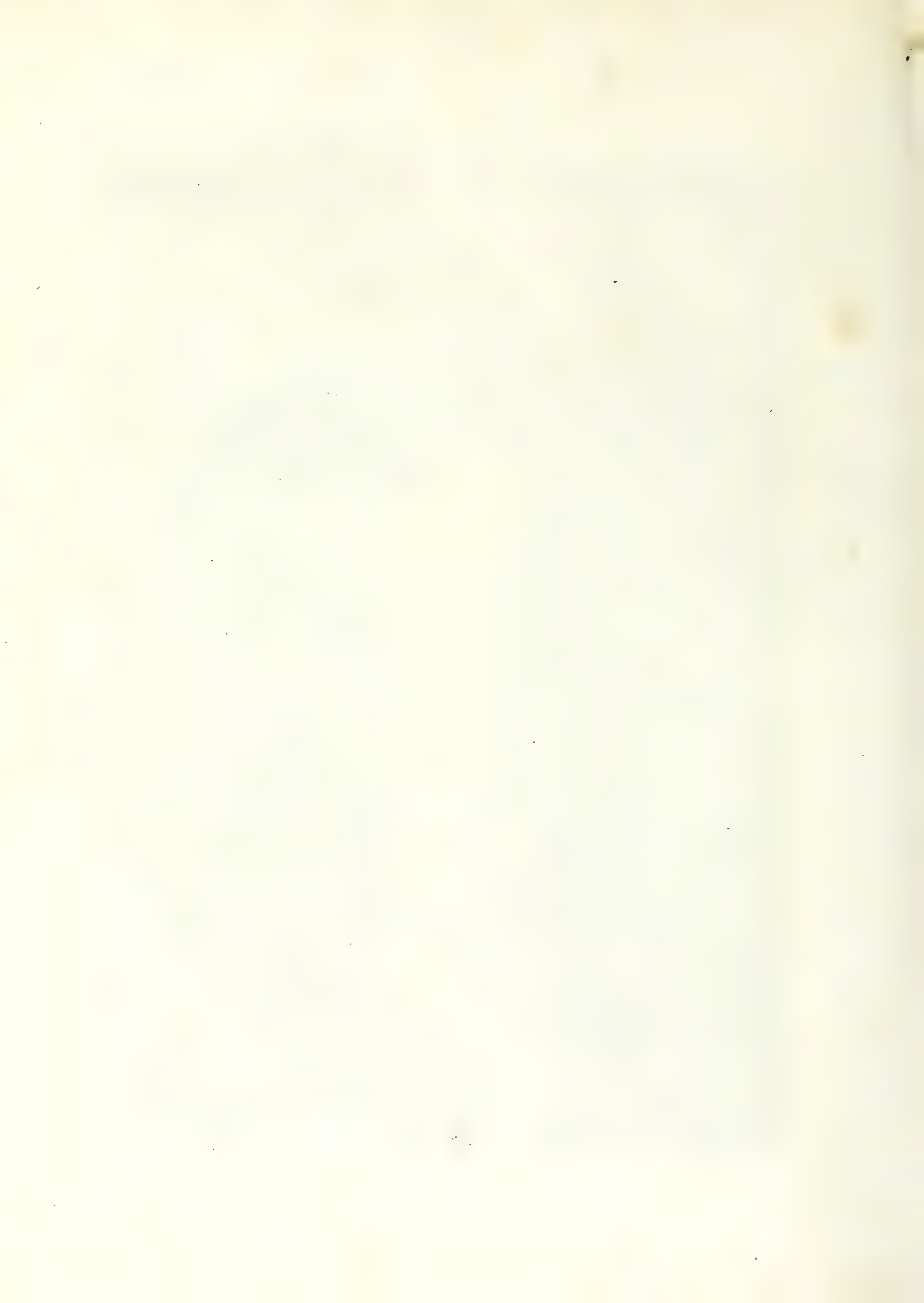


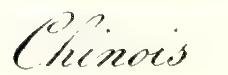
Kalmouks



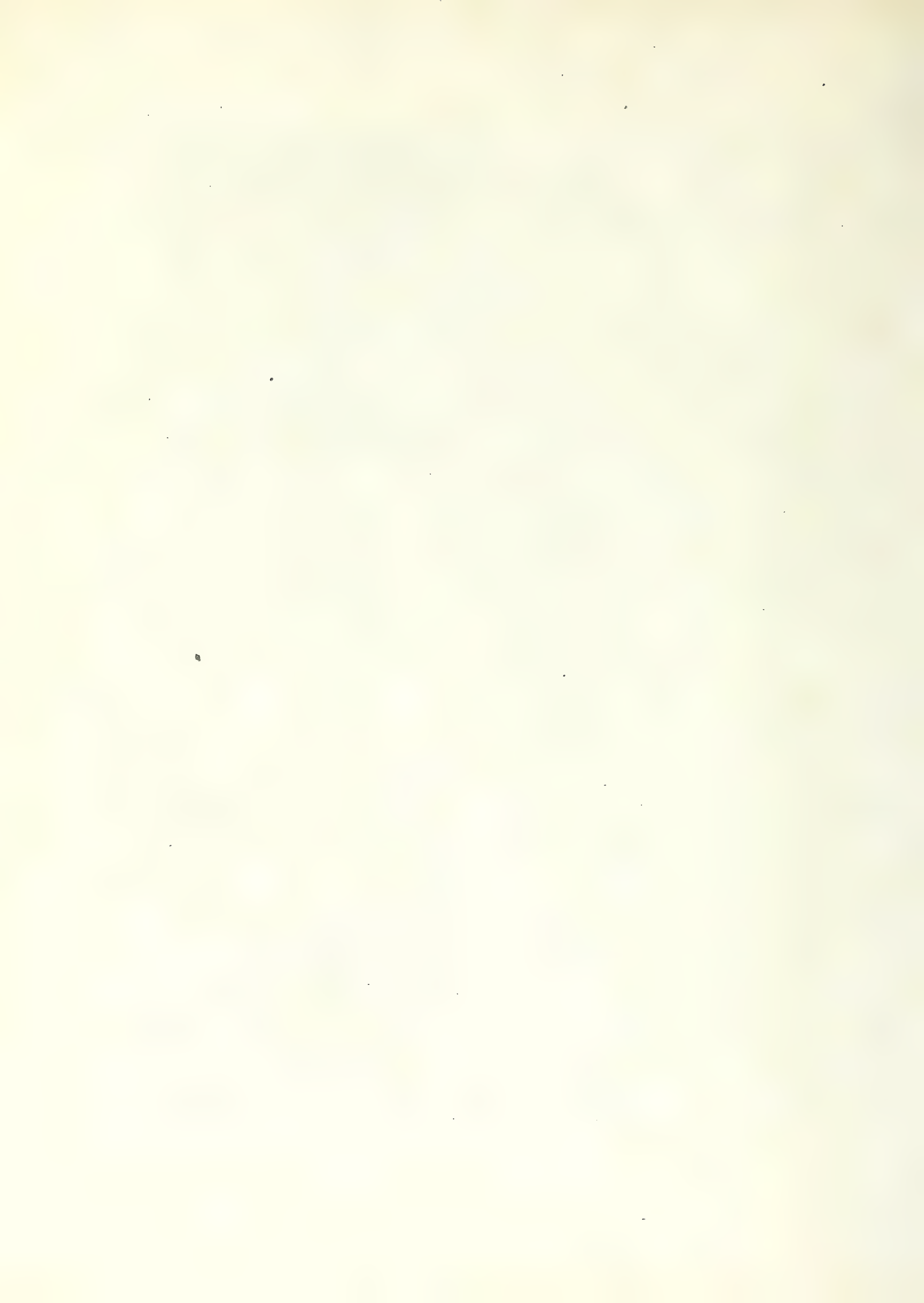


Cochinchinois



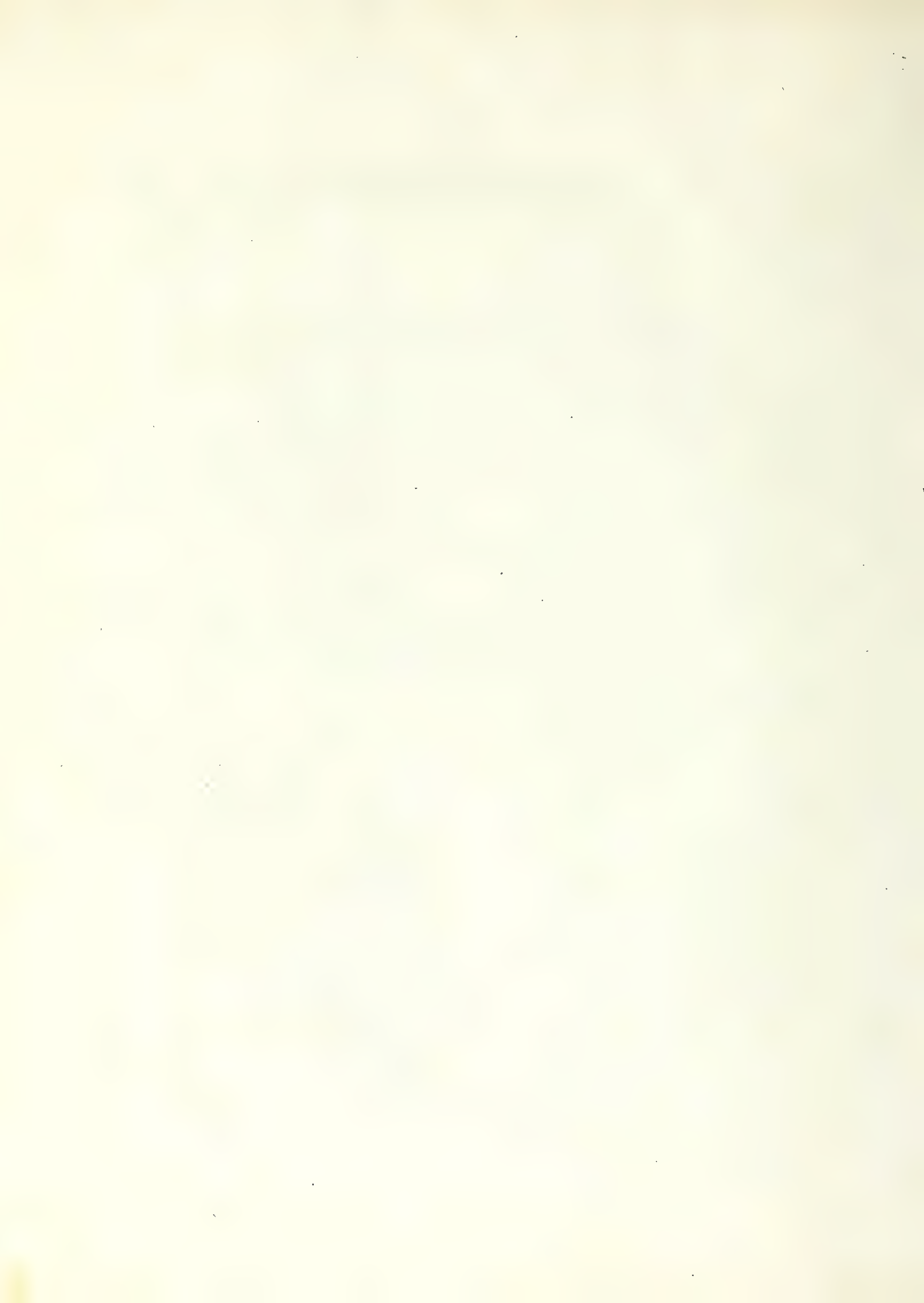


Chinois





Japonais





Kamtchadales



Océanie.

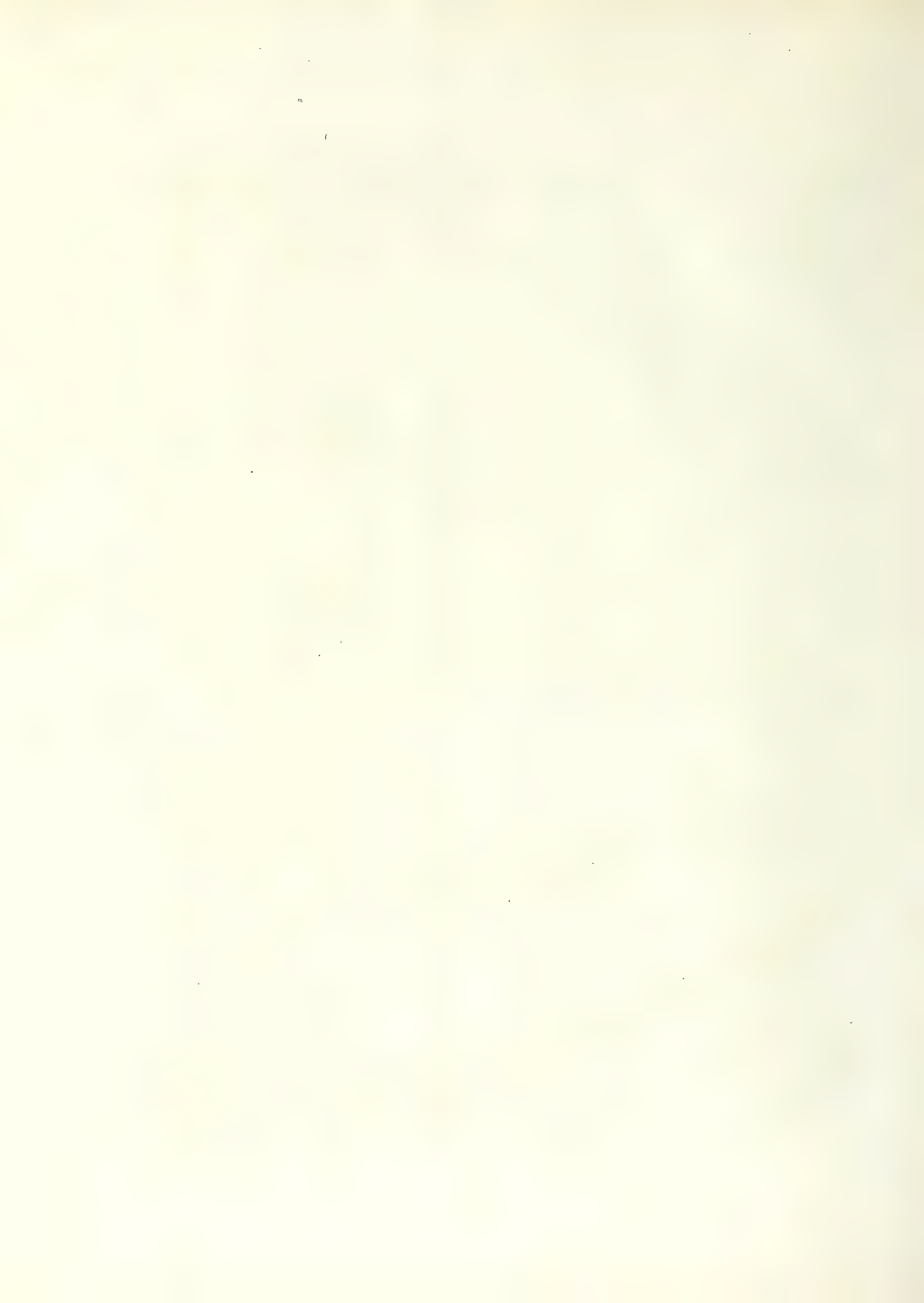
Pl. XVII.







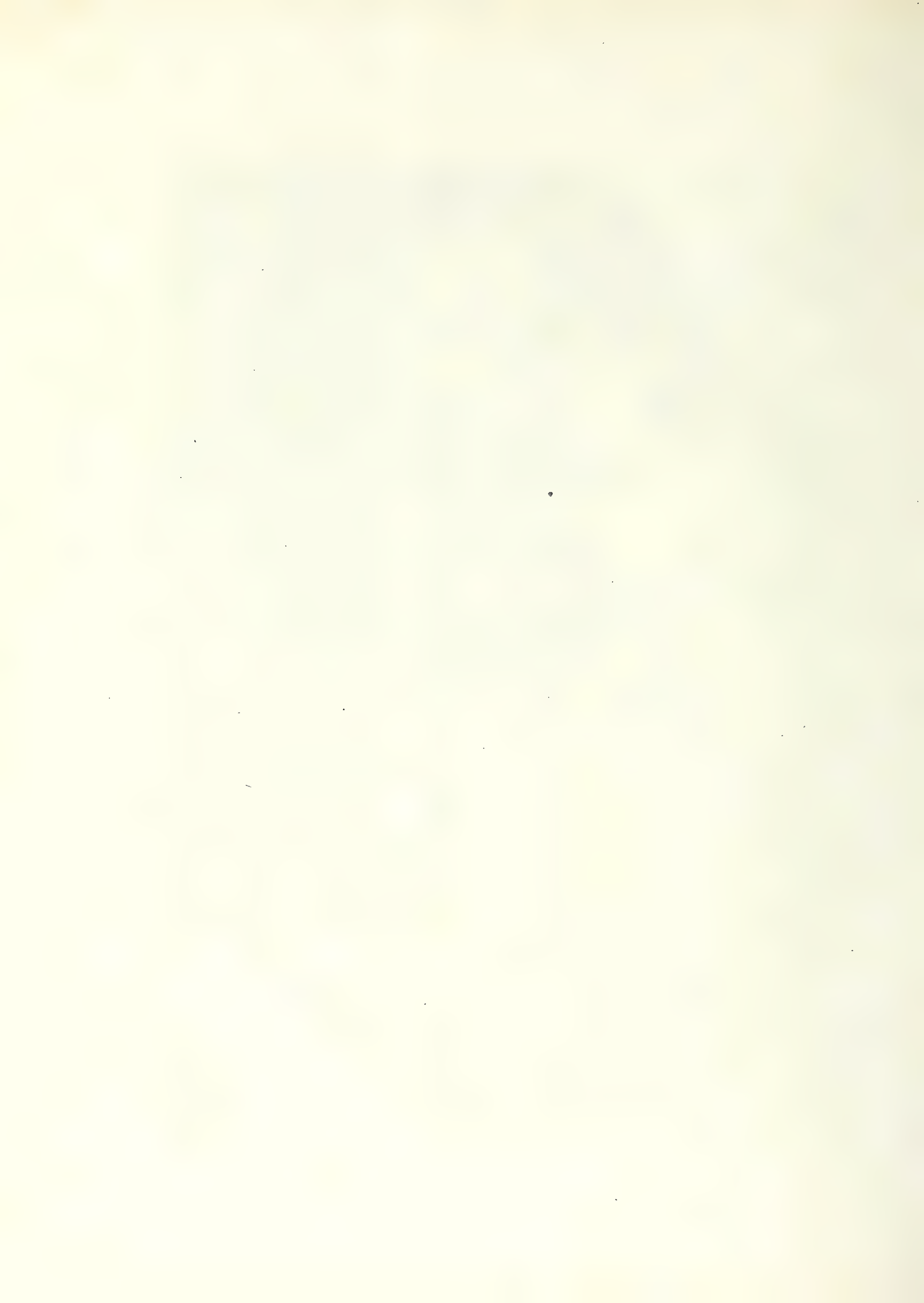
Nouvelle Hollande.



Pl. LXIX.



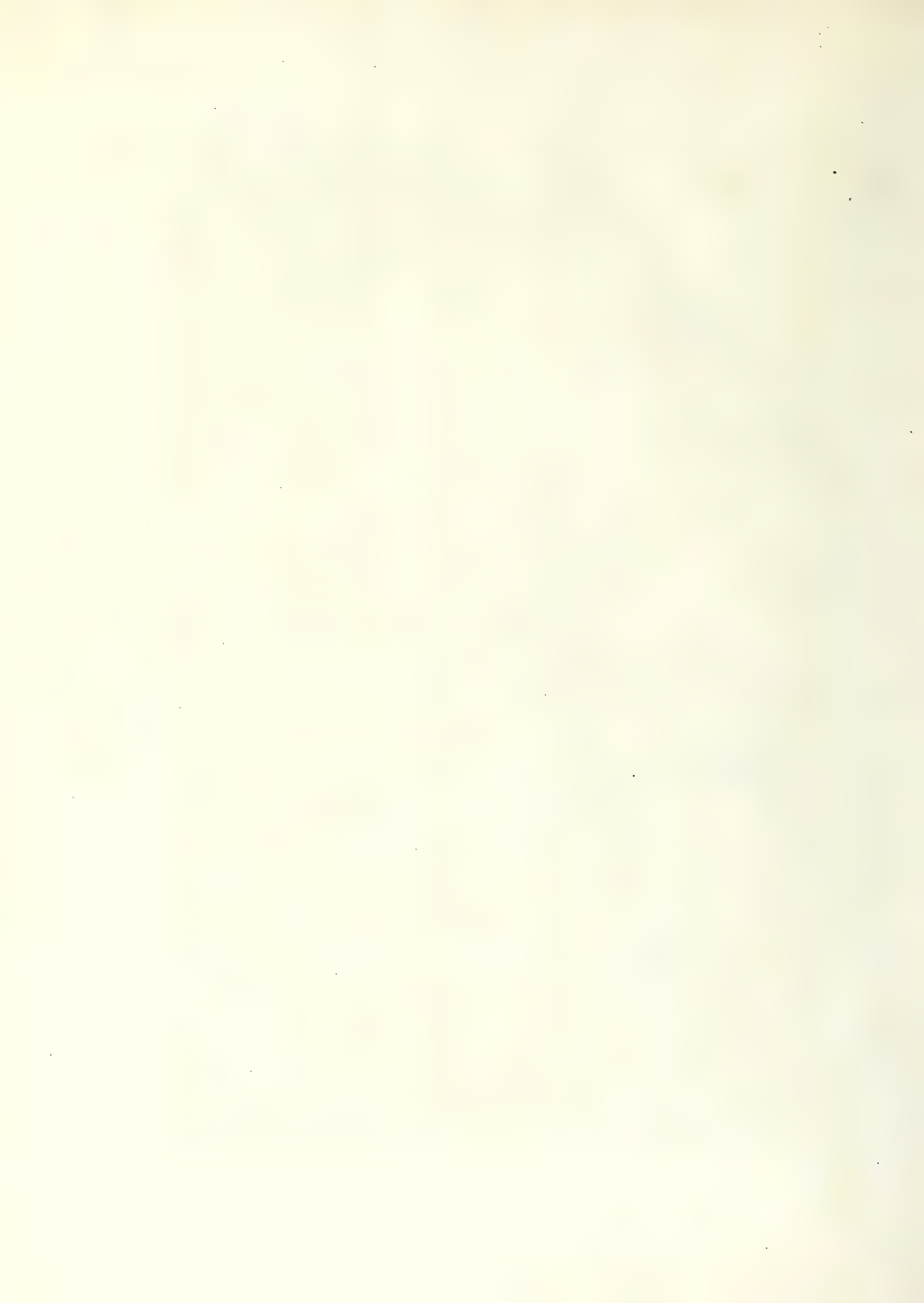
Habitans de la nouvelle Zeelande.



L'ami du monde, hélas! meurt en proie aux sauvages. (Poëme des Jardins) PL. LXX.

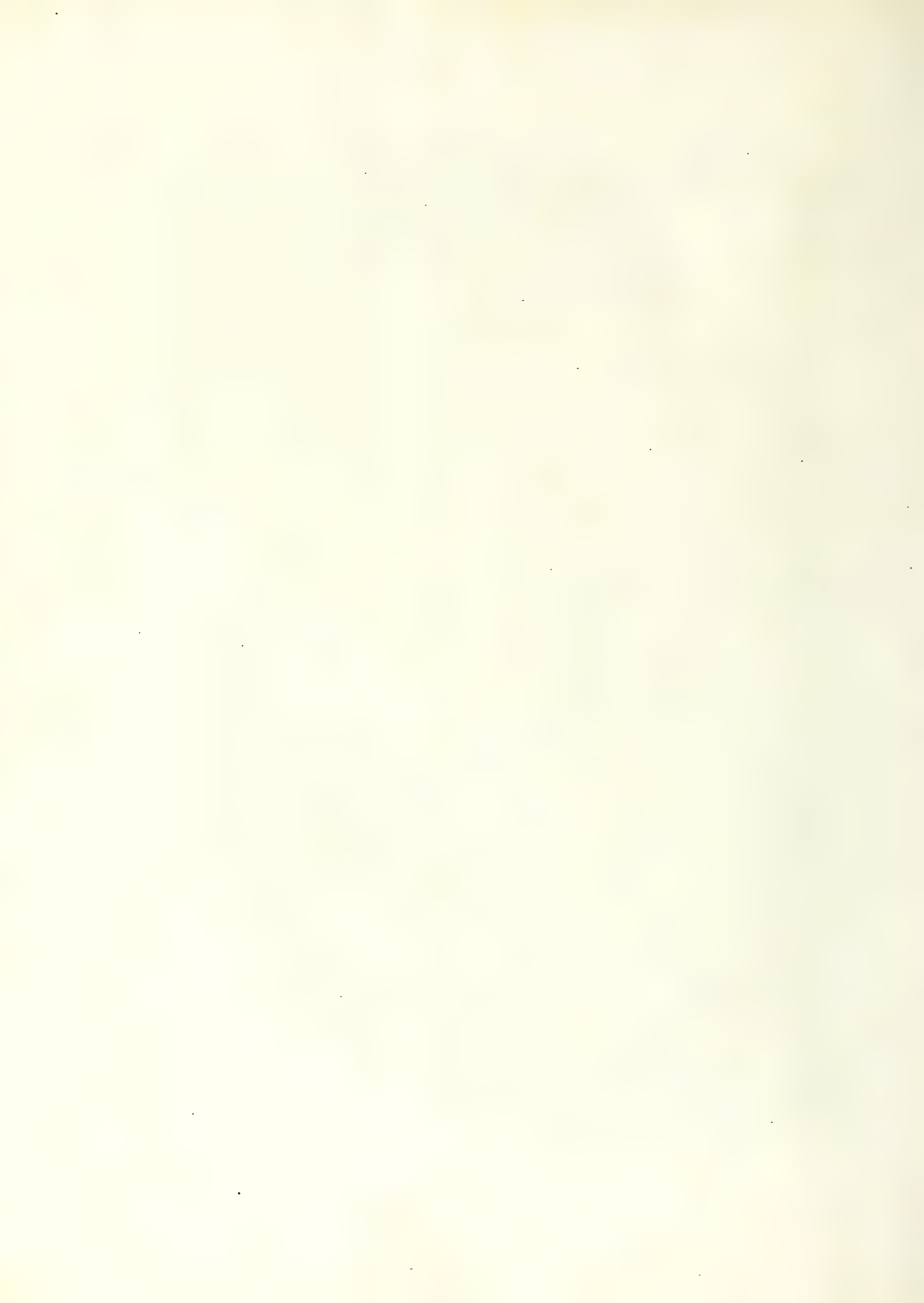


Isles Sandwich
Mort du Capne Cook.





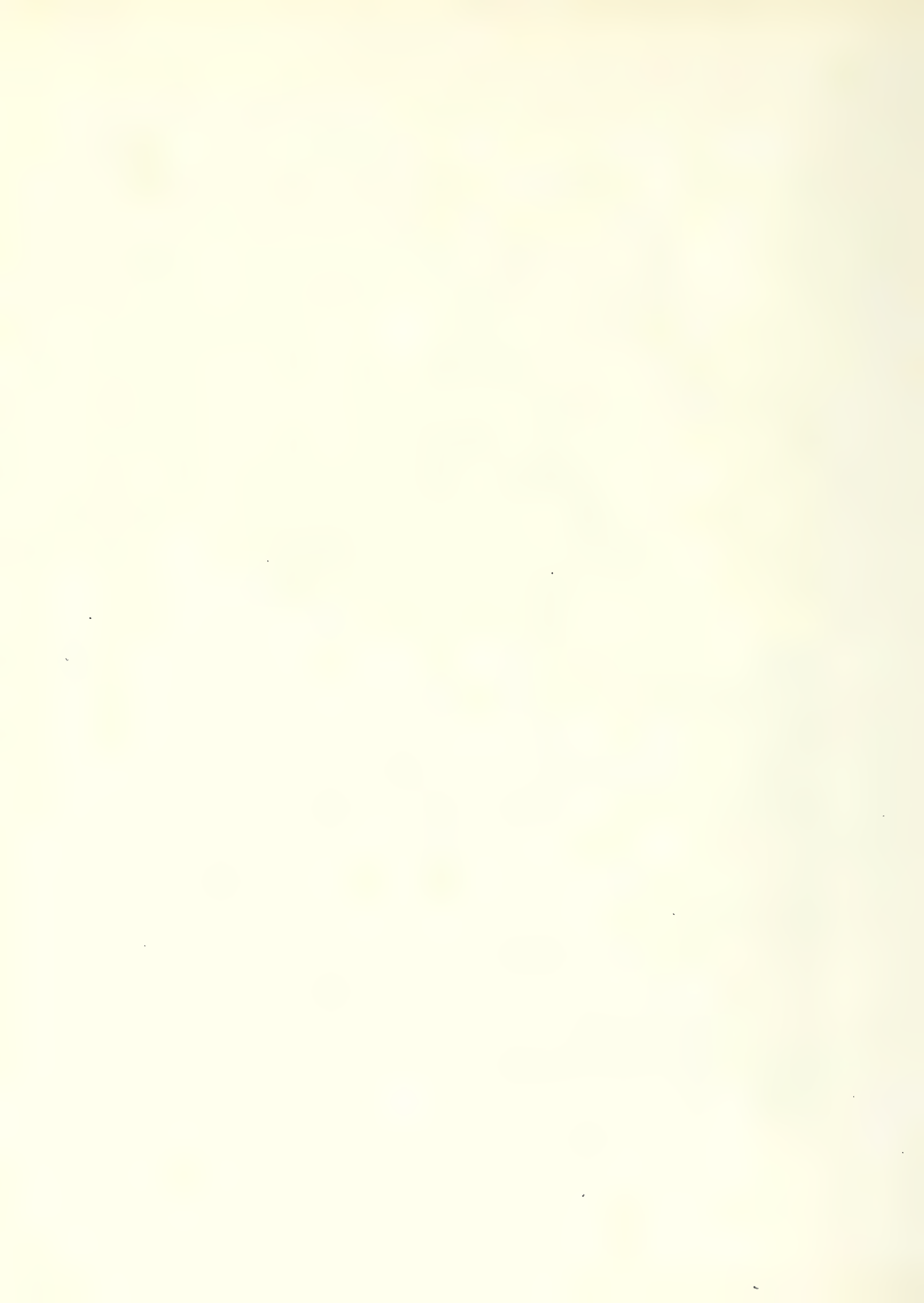
Habitans d'Ulieta.





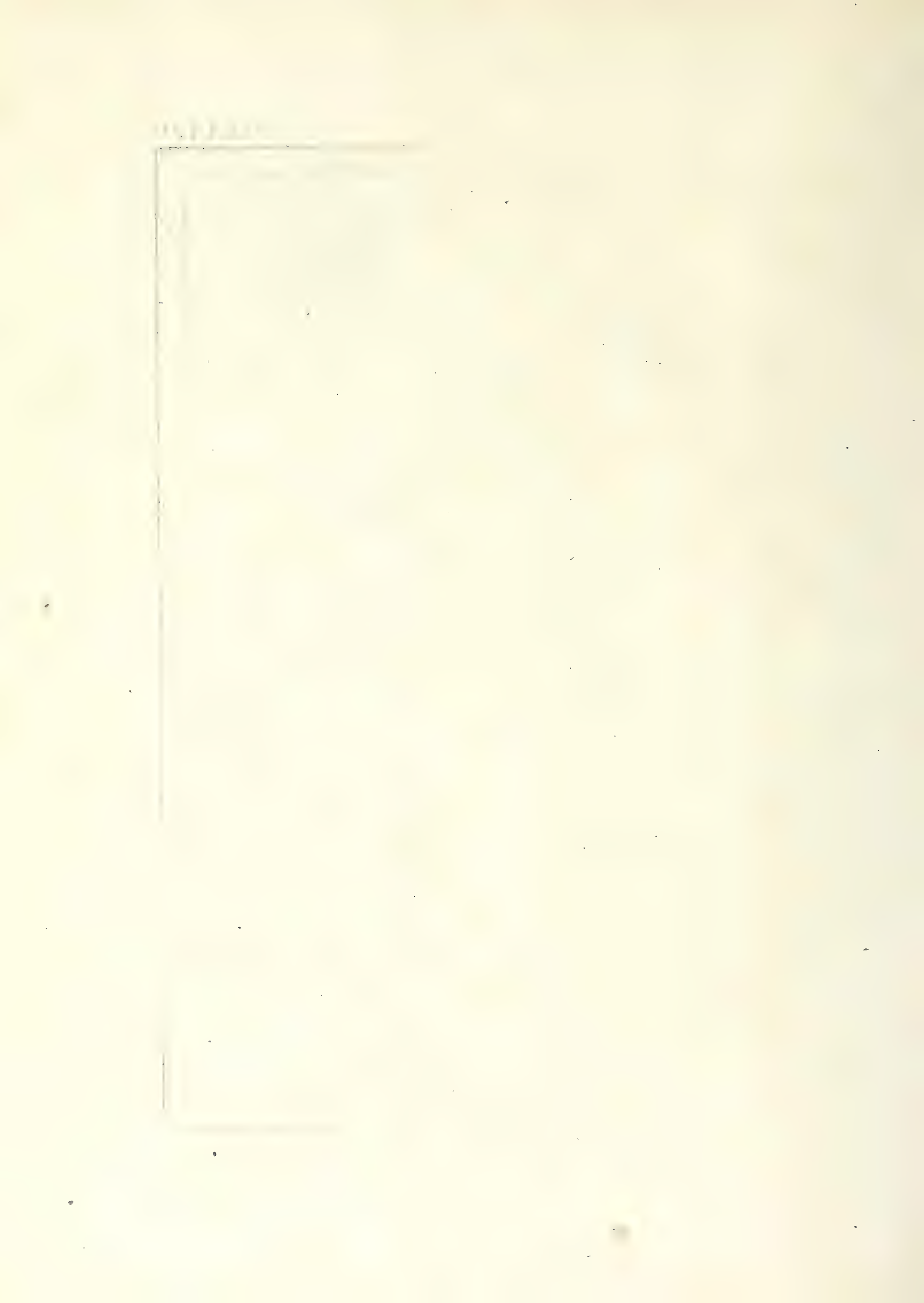
J. Engelmann fec.

Habitans de Nukahiva
l'une des Marquises



Carte Physique de l'Afrique.



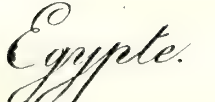


Carte Politique de l'Afrique

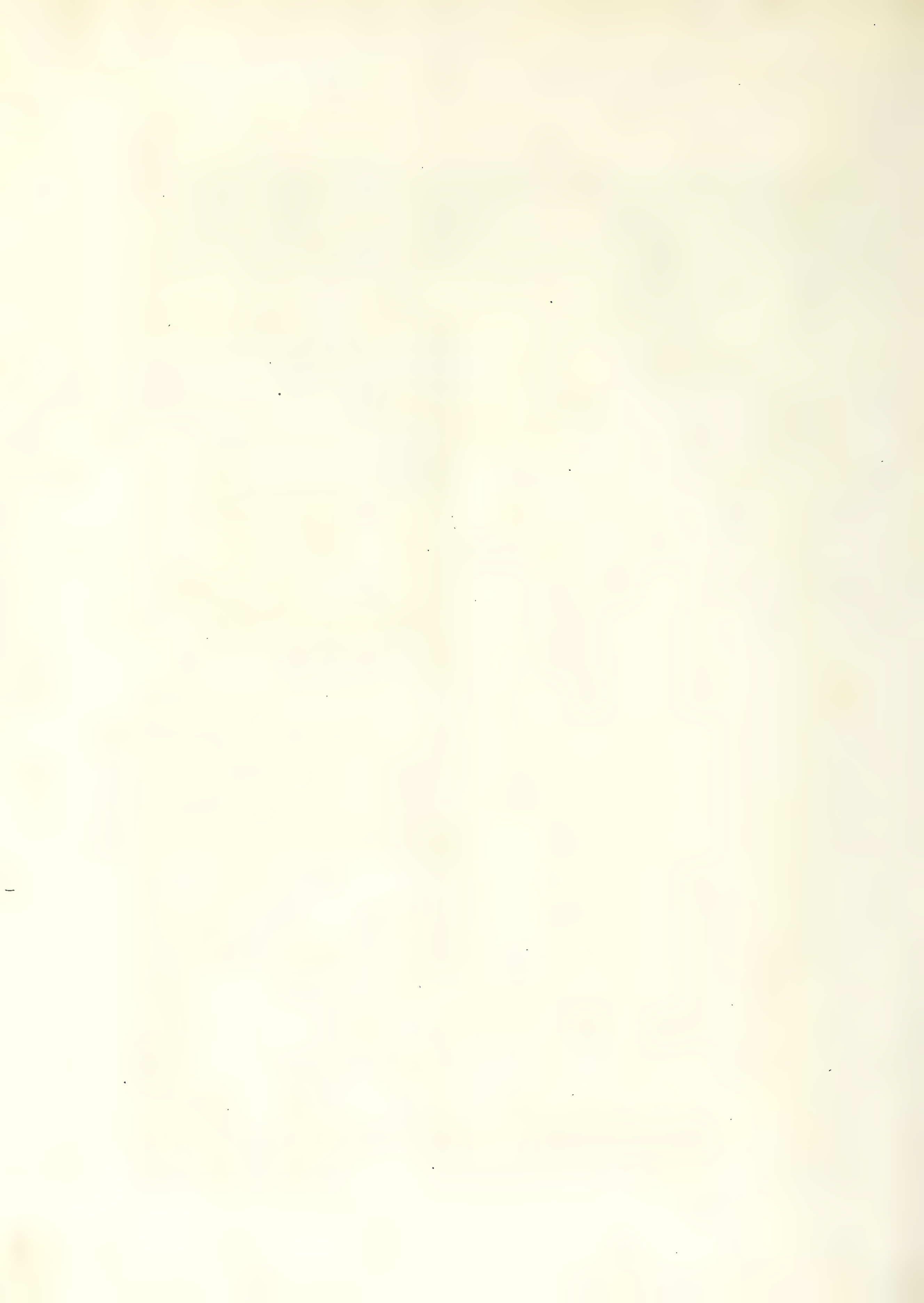
MER MEDITERRANÉE
BARBARIE
ALGER
Tunis
Tripoli
Bileduldgerid
Gadamis
Tafilet
Dahra
Touarick
Moussclimes
Mougeats
Lemta
SAHARA
Touat
Wadehms
Lobdesses
Touarick de Tagama
Tagazza
I. Madere
I. Canaries
I. Palma
C. Blanc
I. du Cap Verd
Barca
Syouah
FEZZAN
Tibbo de Febabo
Tibbo de Bilmah
Tibbo Nomades
ASBEN
BOURNOU
Dar Bergou
DARFOUR
Said
Nubie
Dongola
SENNAAR
ABYSSINIE
Tropique du Cancer
I. Socotora
Adel
Galles
Magadoxo
AJAN
Brava
Mélinde
Monbaze
I. Pemba
I. Zanzibar
INDES
MER
Tombouktou
Tombut
Bambara
Haussa
Kaschna
NIGRITIE
Bambouk
HAUTE GUINÉE
Ayos
Dahomay
Benin
Biafra
Ebboes
Dar Koulla
Calbongos
I. du Prince
I. S. Thomas
ÉQUATEUR OU LIGNE ÉQUINOXIALE
Anzico
I. S. Mathieu
Mayumba
Loango
CONGO
S. Salvador
Matamba
St. Paul de Loanda
St. Philippe de Benguela
Benguela
Cimbebas
Partie intérieure inconnue aux Européens
I. de l'Ascension
I. S. Hélène
OCEAN ATLANTIQUE
Lat. Nord
I. Açores
Tercère
Le Pic
Tropique du Capricorne
Monomotapa
Sabia
Betjouanas
Koraquois
Hottentots
CAFRERIE
Boschimans
Tamboukis
Cap de Bonne Espérance
Ville du Cap
Mozambique
ZANGUEBAR
Quiloa
I. Comore
I. Natal
I. Cosmoledo
Galega
MADAGASCAR
I. de France
I. Bourbon
les Mascareignes
les Amirantes
les Séchelles
I. Gargados



Pl. XXV.



Égypte.

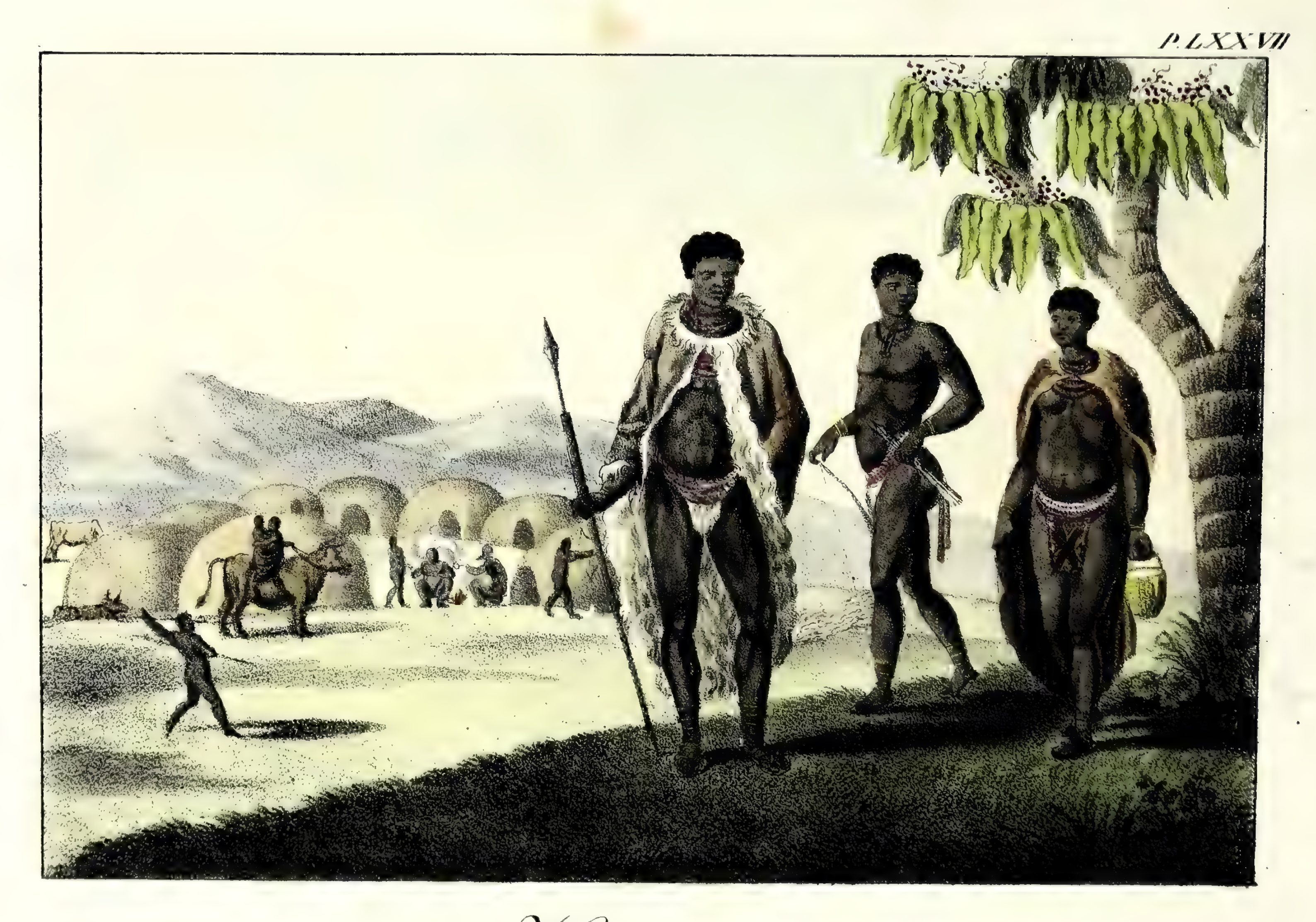


P. LXXVI

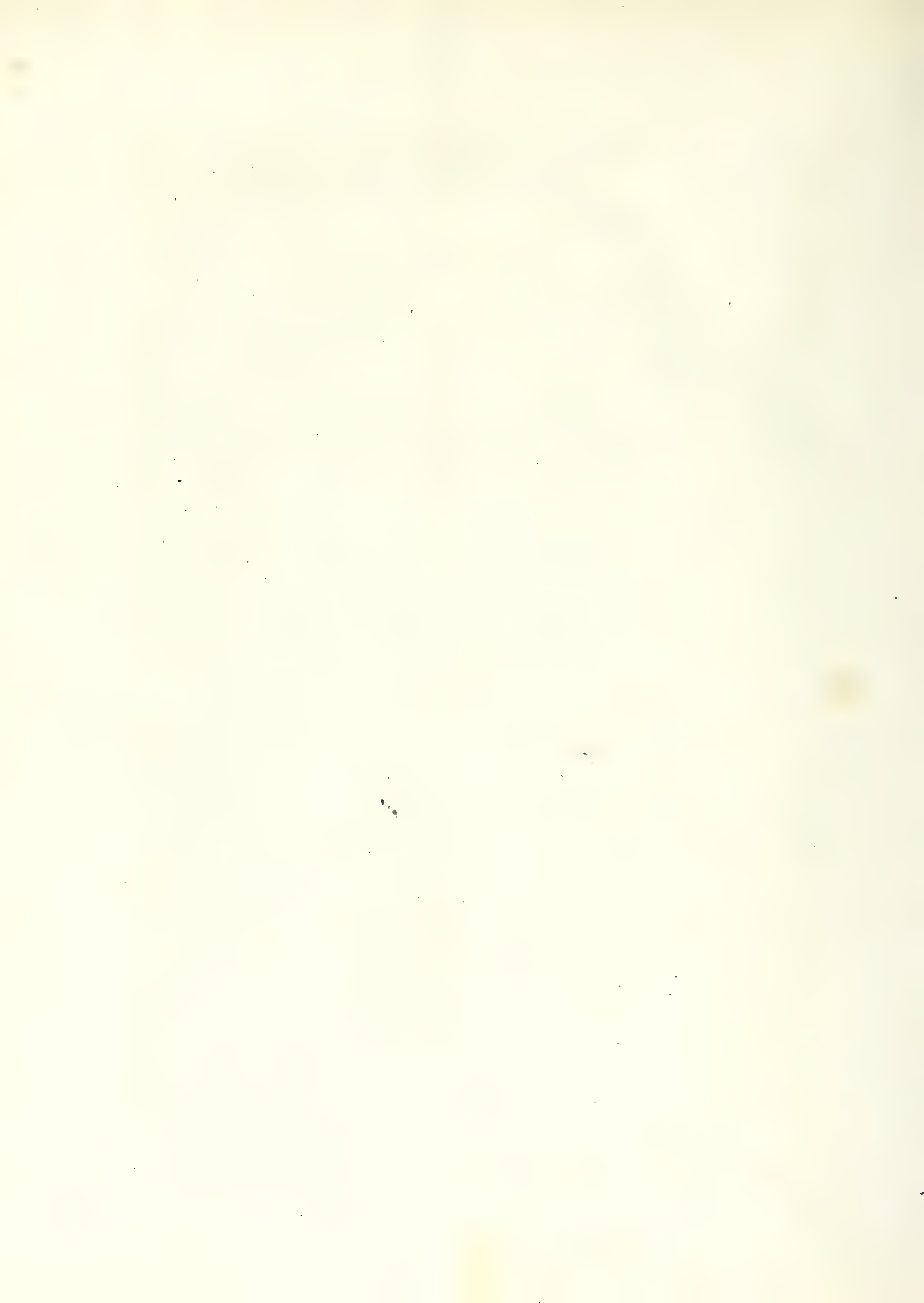
Nègres du Sénégal.



P. LXXVII



Hottentots



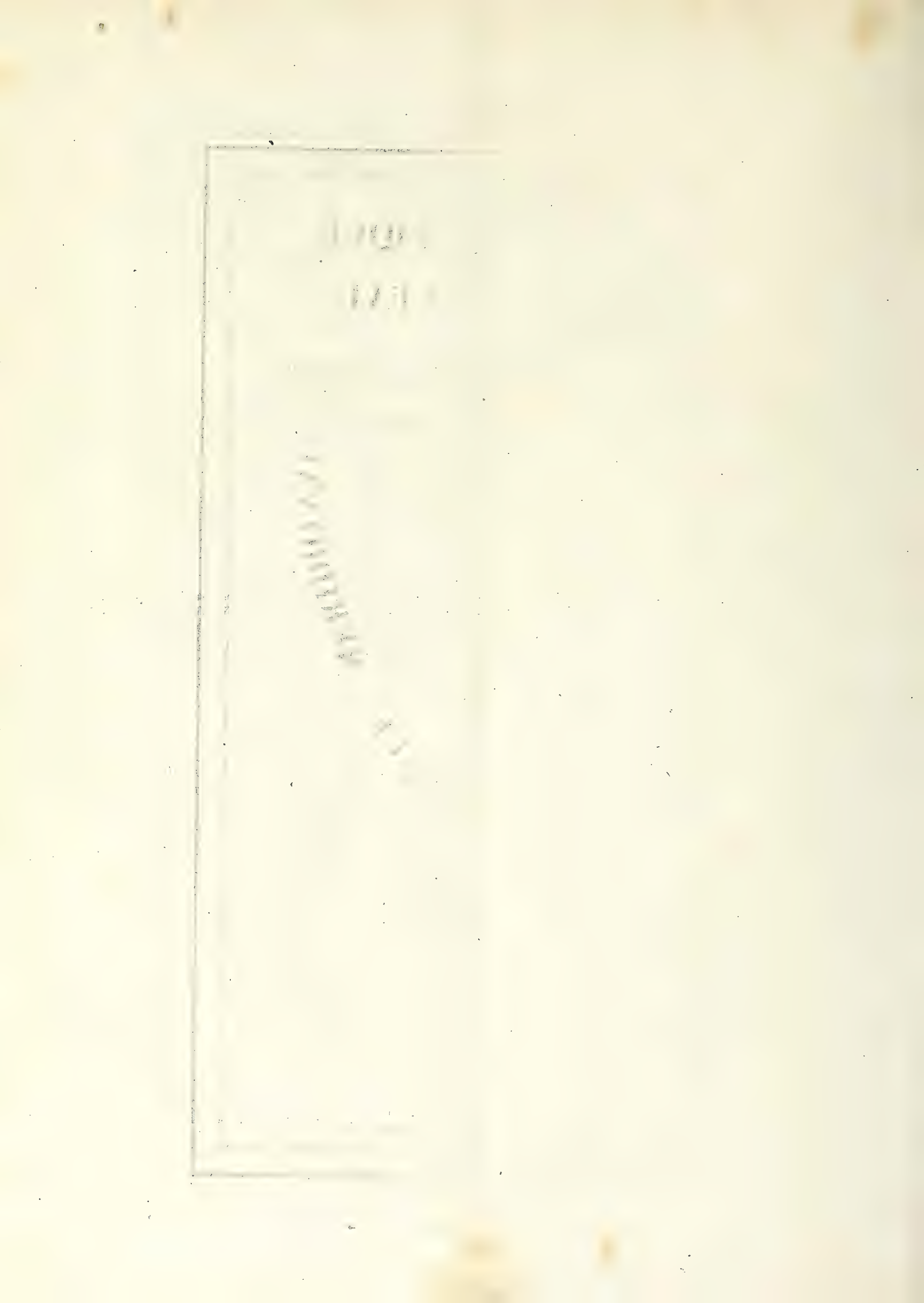
Carte physique de l'Amérique septentrionale.





Carte politique de l'Amérique septentrionale.





Carte physique de l'Amérique méridionale.

MER DES CARAÏBES

OCÉAN ATLANTIQUE
OCCIDENTAL

Equateur ou Ligne Equinoxiale

I. Gallopagos

I. Fernando de Noronha

MER DU SUD

Tropique du Capricorne

OCÉAN ATLANTIQUE MÉRIDIONAL

Cordilliera

I. Juan Fernandez

Archipel de Chonos

D^t. de Magellan

I. Malouines

I. des Etats

I. du Roi Georges

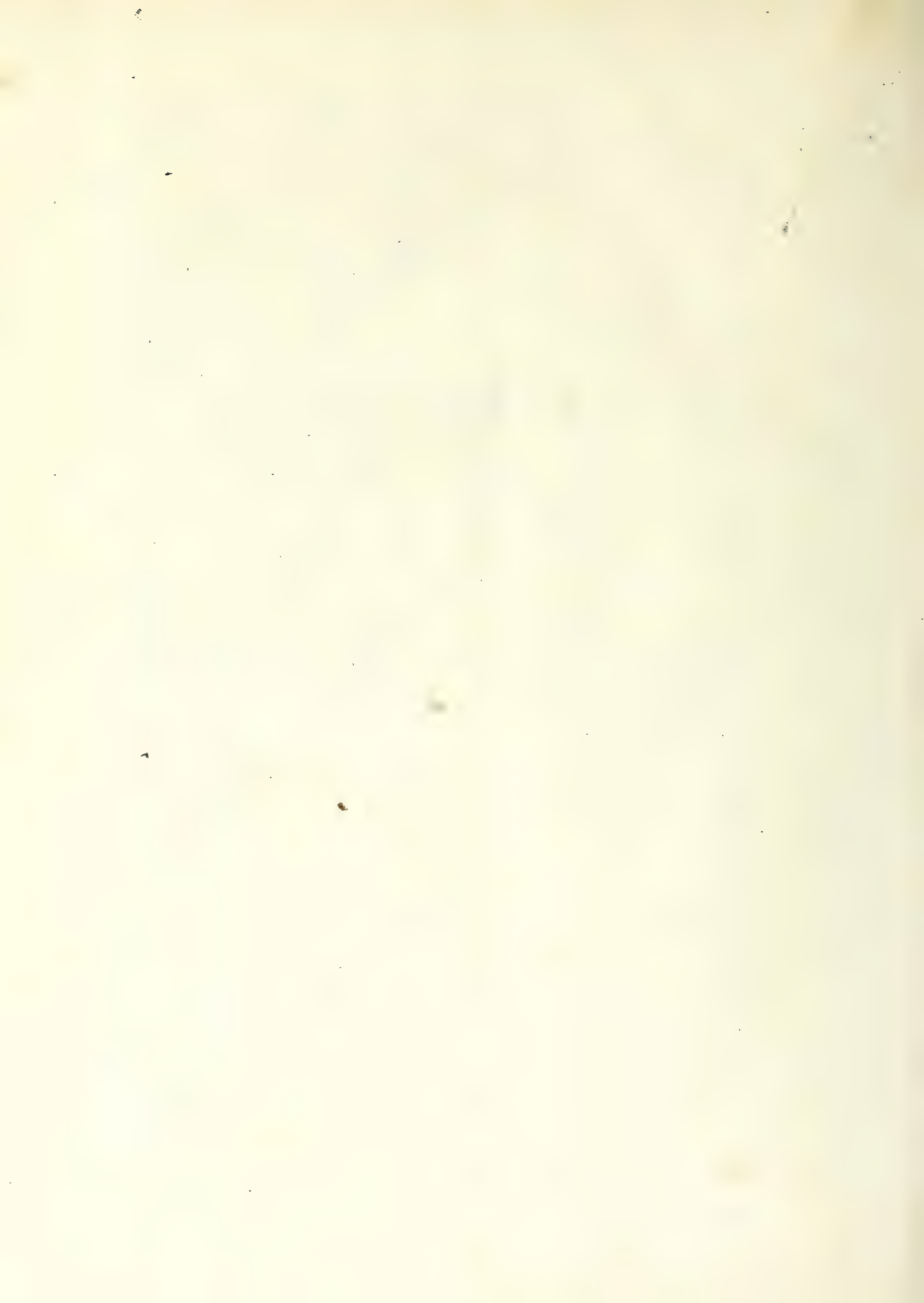
T. de Sandwich



Carte politique de l'Amérique méridionale

Pl. LXXXI







La Ville de Lichtenfels en Groenlande.



P. LXXXIII.



Habitans d'Oonalashka.



P. LXXXIV.



Chute du Niagara.



Habitans de Quito.



CARTE PHYSIQUE

DU MONDE CONNU

des Anciens

Rose de huit Vents

Septentrio Aparctias Boreas

Favonius Zephyrus

Subsolanus Apeliotes Eurus

Auster Notus

Rose de douze Vents

Septentrio Aparctias Boreas

Favonius Zephyrus

Subsolanus Apeliotes

Libs Africus

Auster Notus

MARE ATLANTICUM

OCEANUS GERMANICUS

MARE CASPIUM

ERYTHRÆUM MARE

Sinus Avalites

I. Maldives

I. Bonae Fortunae

I. Maniolae

Ia Barussae et Satyrorum

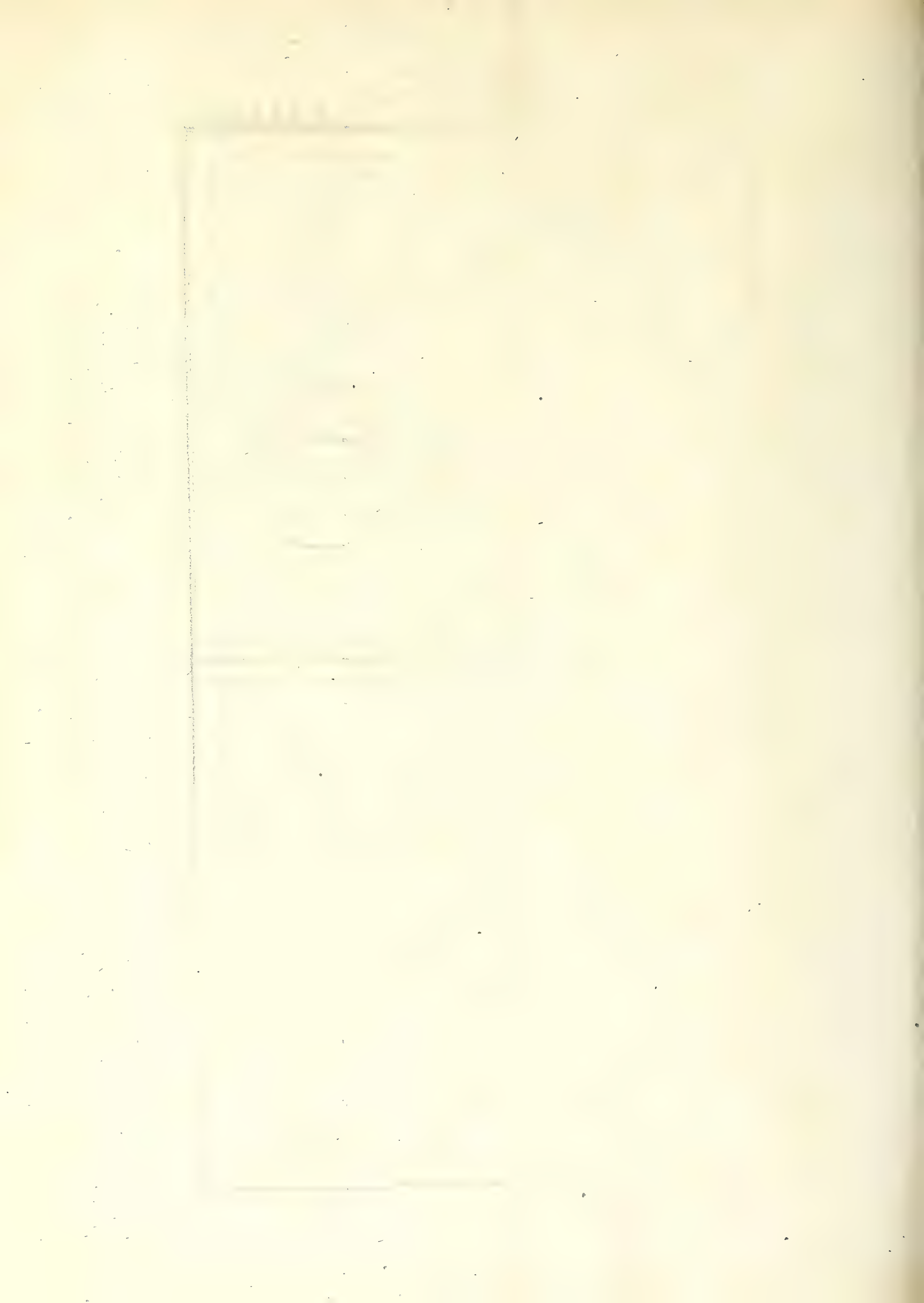
I. Sabadibae



CARTE POLITIQUE

DU MONDE CONNU

des Anciens



Divisions de la Terre de Chanaan ou Terre promise.

LA JUDÉE
sous les
ROMAINS

Royaume
DES ISRAELITES
sous
DAVID et SALOMON

LES DOUZE
TRIBUS









